

博士論文

中期ペルム紀放散虫化石群集と  
化石形態の画像解析

Middle Permian Radiolarian Assemblage  
and Image Analysis of Fossil Morphology

2020 年 3 月

中川 孝典

山口大学大学院創成科学研究科

## 目次

図一覧	i
表一覧	ii
要約	iii
はじめに	1
I. 中期ペルム紀前期放散虫化石群集の詳細解析	4
I-1. 放散虫化石と化石を胚胎する母岩	4
I-1.1. 放散虫について	4
I-1.2. 示準化石としての放散虫化石	6
I-1.3. ペルム紀の放散虫化石	7
I-1.4. マンガン炭酸塩岩から産する放散虫化石	10
I-2. 地質・岩石概要	12
I-2.1. 山口県周南市鹿野地域の錦層群	12
I-2.2. 錦層群のメランジュ	15
I-2.3. マンガン炭酸塩岩の産状	17
I-2.4. マンガン炭酸塩岩の形成場	19
I-3. 放散虫化石群集と地質年代	22
I-3.1. 放散虫化石の抽出処理	22
I-3.2. 最新のデータから導かれる放散虫化石年代	23
I-4. <i>Parafollicuculus</i> の形態	27
I-4.1. 形態用語の定義	27
I-4.2. 多重の外殻	33
I-4.3. pre-pseudoabdomen と pseudoabdomen の境界部	35
I-4.4. wing 基部の円筒形の空洞構造	37
I-4.5. foot に付属する構造-Lingula-	39
I-4.6. wing 上部の pleat 構造	41
I-4.7. 化石記載	42
I-5. 得られた新化石群集の意義	55

I-5.1. 産出した放散虫化石群集の希少性	55
I-5.2. 産出した <i>Parafollicucullus</i> の重要性	57
I-5.3. <i>Parafollicucullus</i> 属の古生物学研究による新たな知見	57
II. 放散虫化石の画像形態解析	60
II-1.1. 全生物における種	60
II-1.2. 化石種における種	61
II-2. 放散虫化石の形態解析と代表的形態の特定	62
II-2.1. 画像比較によるメディアンフォーム特定の方法	65
II-2.2. 画像処理ライブラリ OpenCV	70
II-2.3. OpenCV による特徴点比較からもとめる類似度	71
II-2.4. 類似度の精度向上	75
II-2.4.1. 座標を絞る	76
II-2.4.2. フィルタリング処理（平滑処理）	76
II-2.4.3. フィルタリング処理（二値化）	79
II-2.5. 類似度測定プログラム	81
II-2.6.1. 全化石個体による類似度の解析結果	84
II-2.6.2. 保存の良い化石のみの類似度の解析結果	86
II-3. 放散虫化石の画像解析の意義と問題点	89
II-3.1. 肉眼観察により推察できる中央値的形態	89
II-3.2. 全化石個体による類似度測定結果の考察	89
II-3.3. 保存の良い化石のみの類似度測定結果の考察	91
II-3.4. ホロタイプとメディアンフォーム	93
II-3.5. 生物種の記載項目についての提案	95
まとめ	97
謝辞	98
引用文献	99

## 図一覧

1. 放散虫の産出地点位置図	6
2. 放散虫の種の多様性の時代変遷	9
3. 化石産出地点	13
4. 山口県周南市鹿野地域の地質図	14
5. 珪質泥岩中の泥インジェクションの露頭写真	15
6. 珪質泥岩中の泥インジェクションの岩石写真	16
7. マンガン炭酸塩岩の1露頭写真・2断面写真とスケッチ	18
8. マンガン炭酸塩岩の薄片写真	19
9. マンガン炭酸塩粒子の再堆積のモデル	21
10. 年代の議論に使用した化石種のSEM画像	24
11. 化石年代の根拠となる化石種の生存期間	26
12. <i>Parafollicucullus</i> 属の記載を行う際に用いるデカルト座標系	27
13. <i>Parafollicucullus babelis</i> sp. nov. の SEM 画像とスケッチ	30
14. <i>Parafollicucullus grandis</i> sp. nov. の SEM 画像とスケッチ	31
15. <i>Parafollicucullus babelis</i> と <i>P. grandis</i> の推測される完全な形態	32
16. 多重な殻が観察できる <i>Parafollicucullus</i> の SEM 画像	34
17. 断面が観察できる <i>Parafollicucullus</i> の SEM 画像	36
18. wing 基部の円筒形の空洞構造のイメージ図と SEM 画像	38
19. 様々な角度から撮影した <i>Parafollicucullus babelis</i> sp. nov. の SEM 画像	46
20. 様々な角度から撮影した <i>Parafollicucullus grandis</i> sp. nov. の SEM 画像	51
21. Nestle et al. (2019)による中期ペルム紀の放散虫化石生層序	56
22. 画像解析の手順の概略図	63
23. メディアンフォームを求めるフローチャート	66

24. 類似度から中央値的形態を得る概略図	67
25. 画像解析の対象とした 41 個体の <i>Parafollicucullus globosus</i>	69
26. 画像解析における 3 形態 edge, corner, flat の図	71
27. スケール変化による corner の検出結果の変化のイメージ	73
28. 特徴点の検出のイメージ	73
29. 特徴量記述子の構造	74
30. 画像処理無しの放散虫化石の SEM 画像同志によるマッチング	75
31. フィルタリングの種類と回数を変えた結果得られた SEM 画像	78
32. さまざまな二値化処理を施した放散虫化石の画像	80
33. 処理無しと二値化処理の SEM 画像のマッチング比較	80
34. 画像解析による類似度を算出するプログラムコード	83
35. 全個体を対象とし、得られた標準化変量が -1~1 に収まる個体数 を化石毎に表したグラフ	85
36. 保存の良い個体のみを対象とし、得られた標準化変量が -1~1 に 収まる個体数を化石毎に表したグラフ	86
37. 肉眼による化石形態の観察結果	87
38. 解析の結果得られた代表的な個体と代表的でない個体の比較	91
39. <i>Parafollicucullus globosus</i> のホロタイプと代表的形態との比較	92

### 表一覧

1. 放散虫化石の産出表	23
--------------	----

## 要旨

本研究では、放散虫化石の進化系列の解明を目的として、放散虫化石の「古生物学的研究」と、「化石形態の画像解析」の2種類の研究を実施した。

「古生物学的研究」では、中期ペルム紀前期の放散虫化石、特に *Albaillella* 目の *Parafollicucullus* 属を対象にしている。山口県周南市鹿野地域の錦層群のメランジュ中に挟在されるマンガン炭酸塩岩から抽出された放散虫化石群集は、これまで世界で報告された同時代の放散虫化石の中で、群を抜いて優れた保存状態を示している。この放散虫化石群集は、その保存の良さから、先行研究では確認できていなかったペルム紀放散虫化石 *Parafollicucullus* 属の形態的特徴を詳細に残している。具体的には、殻の多重構造や wing の下に外部とつながる空洞状の開口部が存在することを新たに発見した。また、化石の胴体部分で *Pseudoabdomen* において、構造的ギャップを発見し、“Pre-pseudoabdominal junction”と命名・定義した。本研究で対象とした放散虫化石群集の中に、従来世界のいずれの地域でも報告がなかった、2種の化石個体を発見し、これらの新種記載を実施した。そして、新たに2つの種が認定された。*Parafollicucullus babelis* sp. nov. と *Parafollicucullus grandis* sp. nov.である。*Parafollicucullus babelis* sp. nov. は、全長が 1 mm 程もあり放散虫としては巨大であり、本研究で *lingura* と名付けた構造を有している。*Parafollicucullus grandis* sp. nov. は、最大幅が 180~190  $\mu\text{m}$  もあり、その巨大な殻と wing に pleat という本研究で名付けた構造を有している。これら 2 種の化石は、*Parafollicucullus* 属の放散虫化石の進化系列の今後の研究の発展に重要な鍵となる可能性がある。また、これらの記載をおこなう上で、保存状態が良い個体をもとにして、化石の部位の名称を明確に示すことができた。

「化石形態の画像解析」では、コンピュータによる画像解析手法を

用い、ペルム紀の放散虫化石を対象にした化石の形態解析を実施した。形態解析手法は、OpenCV（画像・動画解析ライブラリ）による特徴点マッチングであり、開発環境はPythonである。本研究の化石形態の画像解析によって求めるものは“化石の代表的な形態”である。化石を定義する際には国際動物命名規約に基づいてホロタイプをはじめに設定し（新種記載）、それに近しいものを同種としてきた（同定作業）。本研究における化石形態の画像解析研究は、このホロタイプに基づく化石研究のあり方を見直すために、同一種集団の中の形態バリエーションの関係を、コンピュータによる画像解析で検討し、ホロタイプとは別にその種の中で形態的に代表的な個体を求めることを目指した。同種の個体群中で多くの個体と類似している個体は中央値的形態であろうと考え、それを代表的な形態として求める。本研究では、中央値的形態をメディアンフォームと定義し、その形態を持つ個体をスタンダードスペシメンと定義した。解析方法は、OpenCVを用いて特徴点のマッチングを行い、個体ごとに、総当たりで同じ種とされている他の個体との類似度を求めそれらを標準化変量に変換し、-1~1に収まる個体の数が多い個体ほどよりメディアンフォームにふさわしいとし、メディアンフォームを求めた。解析から、ホロタイプとは別の個体がメディアンフォームを持つスタンダードスペシメンであるとの結果が得られた。ホロタイプの形態とメディアンフォームを比べると、同一の形状をしている部位と異なる形状をしている部位が観察できた。また、肉眼による観察から化石の部位の形状をタイプ分けし、それぞれのパートに対して多数をとる形状が中央値的な形態であるとし、推察できる中央値的形態を求めた。肉眼観察により推察した中央値的形態は、画像解析によって求められたメディアンフォームと一致している。このように本研究のメディアンフォームを求めるプロセスが人間の観察に調和的である。

本研究では、これまで解明が遅れていた中期ペルム紀前期の放散

虫化石 *Parafollicucullus* 属の構造の詳細観察を通じて、構造要素の定義・命名を行い、前述の 2 つの新種を記載した。また、放散虫化石の形態の画像解析によりメディアンフォームを求めるなどを、世界に先駆けて成功した。この画像解析により、これまでホロタイプに基づいてなされていった化石種の定義に、新たにメディアンフォームという概念を導入し、化石種の同定に新しい可能性を示した。

## はじめに

本研究は、ペルム紀放散虫化石の記載を通した「古生物学的研究」と、化石の形態解析をプログラムによっておこなう「化石形態の画像解析」から構成されている。

「古生物学的研究」では、中期ペルム紀の放散虫化石を対象にしている。放散虫は約5億年前から現在の海洋にまで生息している海洋性のプランクトン(単細胞動物)である(鈴木ほか, 2012)。長い地質年代をカバーする放散虫化石であるがそれだけではなく、化石の進化速度が早いことがあり、年代ごとに様々な形態を示すため細かい地質年代を知る手がかりとなる(鈴木ほか, 2012)。

化石の研究というのは、その研究対象が偶然の結果もたらされることがしばしばある。例えば、偶然掘り当てた恐竜化石が羽毛を持っていて、恐竜には羽毛が生えていた証拠となることがある(Zhao et al., 1999)。本研究の研究対象もそのような偶然によってもたらされた(中川・脇田, 2016a)。

山口県には、秋吉帯に属する古生代の付加体が広く分布している。秋吉帯には、前期石炭紀から中期ペルム紀に及ぶ石灰岩層があり、この石灰岩に含まれる紡錘虫化石などにより、詳しい研究がなされてきた(Sano, 1988)。一方、本研究の研究対象である錦層群は、石灰岩を含まず、長年研究対象としては、省みられて来なかった。しかし、中ほか(1986)によって、島根県六日市町の錦層群の泥岩や珪質泥岩などから放散虫化石が報告され、典型的付加体であることが明らかになってきた。そのような中、著者は山口大学の卒業論文で、山口県周南市の錦層群中のメランジュを研究し、その中に炭酸塩岩を発見した。秋吉帯では、初めての発見であった(中川・脇田, 2016a)。

1970年代末から始まった日本の放散虫化石研究において、マンガン炭酸塩岩は特別な岩石として注目されていた。放散虫化石は、泥岩やチャートなどから多数産出するが、多くの場合保存が良いとは言え

ない。しかし、マンガン炭酸塩岩に含まれる放散虫化石は、表面の装飾や内部構造まで、非常に良く保存されていることが知られている（Yao, 1972; 服部, 1987, 1989; Matsuoka, 1991）。ジュラ紀の付加体が分布する美濃-丹波帯、秩父帯などでは、その保存の良い化石群集によって、非常に詳細な研究が進展してきた（Yao, 1972）。著者が錦層群で発見したマンガン炭酸塩は、中期ペルム紀で初めて、そのような詳細化石群集の解析を行うチャンスを与えてくれることになった。実際、化学薬品で処理したマンガン炭酸塩岩からは、非常に保存のよい中期ペルム紀前期の放散虫化石が多数産出した（中川・脇田, 2016b）。

「化石形態の画像解析」では、ペルム紀の放散虫化石を対象にした化石の形態解析を行った。化石形態の画像解析研究を始めるきっかけになったのは、1部で実施した、中期ペルム紀前期の放散虫化石の形態記載や種の同定である。一般に、化石を定義する際にはホロタイプをはじめに設定し（新種記載）、それに近しいものを同種とする（同定作業）。国際動物命名規約上では、ホロタイプとされた化石個体を基準として、化石種は定義されてきた（速水, 2009）。Linné(1753)は二名法（属と種を併記する命名法）と分類階級制を確立し、その後の化石の分類研究にも取り入れられた。実際、第1部の古生物学的研究の過程では、ホロタイプを基準に化石種の同定を行い、新種を記載する際、二名法によってホロタイプを定め記載を行った。ホロタイプは最初に記載した研究者が、手持ちの化石試料の中で最も保存の良い化石個体をもって、ホロタイプとして定義する。その後の研究者は、ホロタイプとの比較において、化石種を同定し、同じ種として記述される（速水, 2009）。こうして集まった同じ化石種のグループは、ホロタイプベースに集められるが、その同じ化石種のグループの最も典型的な形態を保持しているか？というとその保証はない。あくまで、最初に発見された形態種なのである。

生物の形態について、定量的に記述する画像情報解析手法を Kimori et al. (2016)は開発したが、差異を算出するにとどまっている。

本研究における化石形態の画像解析研究は、ホロタイプのあり方と、同一種集団の中の形態バリエーションの関係を、コンピュータによる画像解析で検討しようと思いつきから始められた。本研究では、OpenCV を用いて特徴点のマッチングを行い、各個体ごとに、同じ種とされている他の個体との形態差を検討し、他の個体との形態差が最も少ない個体の形態をメディアンフォームとし、ホロタイプとの違いを検討した。放散虫の画像解析は、AI を利用し化石種の同定をおこなうシステムが確立されている（産総研、2018）。しかし、化石の形態の差異を求める本研究のものとは異なる。

本研究で新たに定義したメディアンフォームは化石種にとどまらず様々な種の基本項目として、今後生物種認定にとって必要な項目の 1 つになると期待している。

## I. 中期ペルム紀前期放散虫化石群集の詳細解析

第 I 部では、本研究の前半部分である放散虫化石、特に *Parafollicuculus* の詳細解析について記述する。まず、放散虫化石の概要から始まり、検討対象の地質背景、化石群集の全体像、*Parafollicuculus* の新種記載、考察の順に述べる。ペルム紀の放散虫でも年代指標として用いられる *Parafollicuculus* 属の種は、保存状態が悪い個体によって記載されることが多く、種を記載する際の用語の定義が曖昧である。また、詳細な構造についても明らかになっていない。本研究では、保存状態が極めて良い *Parafollicuculus* 属の新種記載を通じて、保存の良い個体のスケッチをもとにして用語の定義について明らかにした。これにより今後の研究で *Parafollicuculus* 属の種記載を画一的におこなうことを可能にした。また、今回新種記載した放散虫化石は *Parafollicuculus* 属の化石帶の中でも、これまで情報が少ない年代であるため、貴重なサンプルである。

### I-1. 放散虫化石と化石を胚胎する母岩

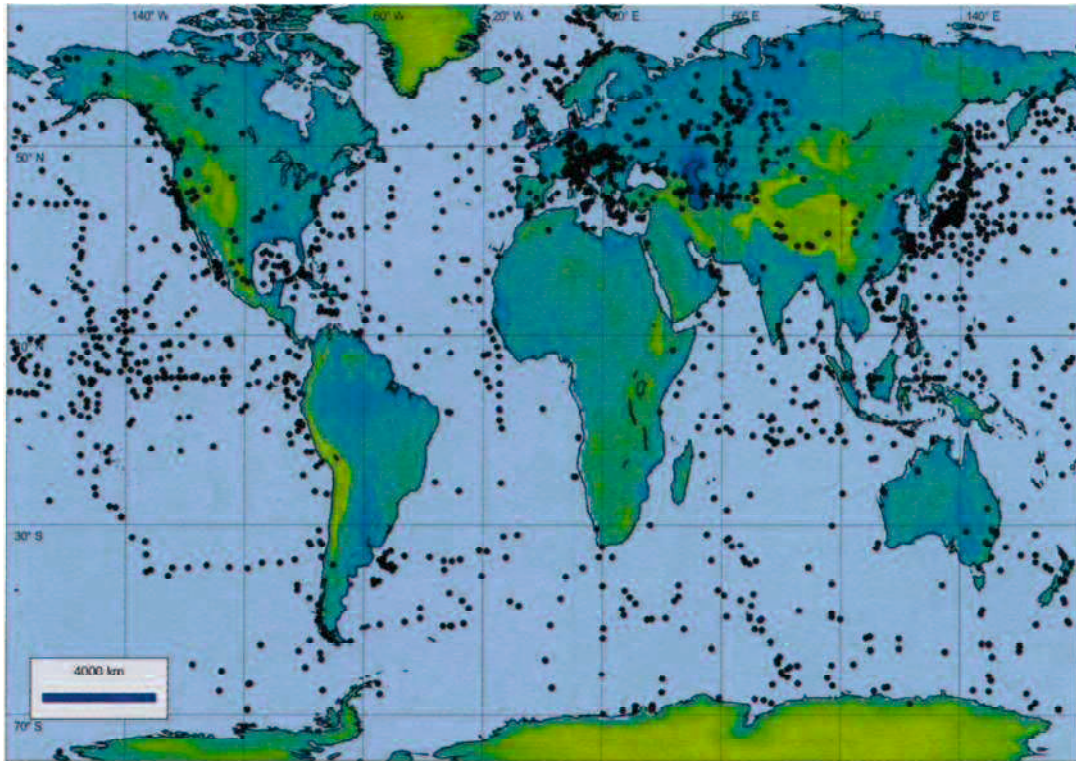
本研究は、放散虫という単細胞動物の化石を対象としている。本章では、この単細胞生物の概要や意義を説明し、さらに、研究対象としている、ペルム紀の放散虫化石とそれを胚胎する母岩である炭酸マングン塩岩と放散虫化石について解説する。

#### I-1.1. 放散虫について

放散虫とは、オパールや硫酸ストロンチウムの結晶を内骨格にもつ、海洋性プランクトンの単細胞原生生物である（鈴木・相田, 2011; Suzuki and Aita, 2011）。化石記録はカンブリア紀から報告され、現世の海洋にも存在している。外洋に広く分布し、海水温が高い低緯度から海水温が低い高緯度の南極周辺や北極海にも生息している。それらが生息する水深も様々で、表層から水深数千メートルの深海まで

分布する。これだけ広く分布する放散虫の多様性は高く、現生種は、オパール質の骨格を持つ放散虫は約 600 種、硫酸ストロンチウムの骨格をもつ放散虫は 200 種ほどが報告されている（鈴木ほか, 2012）。オパール質の骨格を持つ放散虫をポリキスティナ亜門（*Polycystina*）、硫酸ストロンチウムの骨格をもつ放散虫をアカンタリア（*Acantharia*）という。

ポリキスティナは、世界中で化石が報告されている（第 1 図）。最古の化石記録として確実なものは、オーストラリア、クイーンズランド州のジョージア盆地から見つかった、カンブリア紀後期のポリキスティナである。これは球状骨格タイプと針状骨格タイプである（Maletz, 2011）。これまでに記載されたポリキスティナの数はカンブリア紀から現世まで合わせて約 2,700 属、15,000 種である（鈴木ほか, 2012）。国際動物命名規約（ICZN）に従ってこれらを分類学的に整理すると、シノニムなどを除いた実在する放散虫は 1,400 属、11,000 種ほどである（鈴木ほか, 2012, p76）。しかし、命名されていない種が多く残っており、ジュラ紀では 7 割が未命名種のままであるとされている（八尾, 1997）。



第1図 放散虫の産出地点位置図

1834年から1990年にかけて公表された論文のうち、標本写真を図示した約1,400編の論文から産地をプロットした図(鈴木ほか[2012]で作成された)。

### I-1.2.示準化石としての放散虫化石

放散虫は、約5億4千万年前から現在まで、進化を続け、形態を変化しつづけた単細胞動物で、その化石は地層の年代を決定するのに役立つ示準化石として活用してきた。

示準化石は、地層の年代を決定することが可能な化石で、アンモナイト化石やコノドント化石などがその代表となっている。示準化石となるために必要な化石種の条件は、一般的には進化速度が速く、生息分布域が広いことである。実際には、生息分布域が広がるまでにタイムラグがあるため、短期間に広い範囲に分布が広がる化石種が望ましい。また、地質年代を決定するためには化石が産出しやすく、化

石種の識別が容易であることが示準化石として用いられるための条件として求められる。これらの条件を満たす化石として、微化石は広範囲に分布すること、また少量の堆積物や堆積岩から数百から数万個体が産出することなどから優れた選択肢となる。近年の研究では、石灰質ナノ化石、珪藻、浮遊性有孔虫、放散虫が精度の高い示準化石として選ばれており、とくに古生代では放散虫が重要な示準化石となる。

日本では、1970年代末期に、安価な走査型電子顕微鏡の普及により、放散虫化石を示準化石として利用が可能になり、現在の付加体とされる地域で、放散虫化石による詳細な地質年代の解明がなされはじめた。その先駆けとなった放散虫化石の研究が、岐阜県と愛知県の境界に位置する犬山地域と和歌山県紀伊由良地域の研究である（Yao et al, 1980；Yao, 1984）。これらの地域の基盤岩が海洋プレート層序が断層による繰り返し構造を持つ付加体であることが、放散虫化石による詳細な年代解析によって明らかとなり、陸上地質とプレートテクトニクスの関係が詳しく研究されるようになってきた。

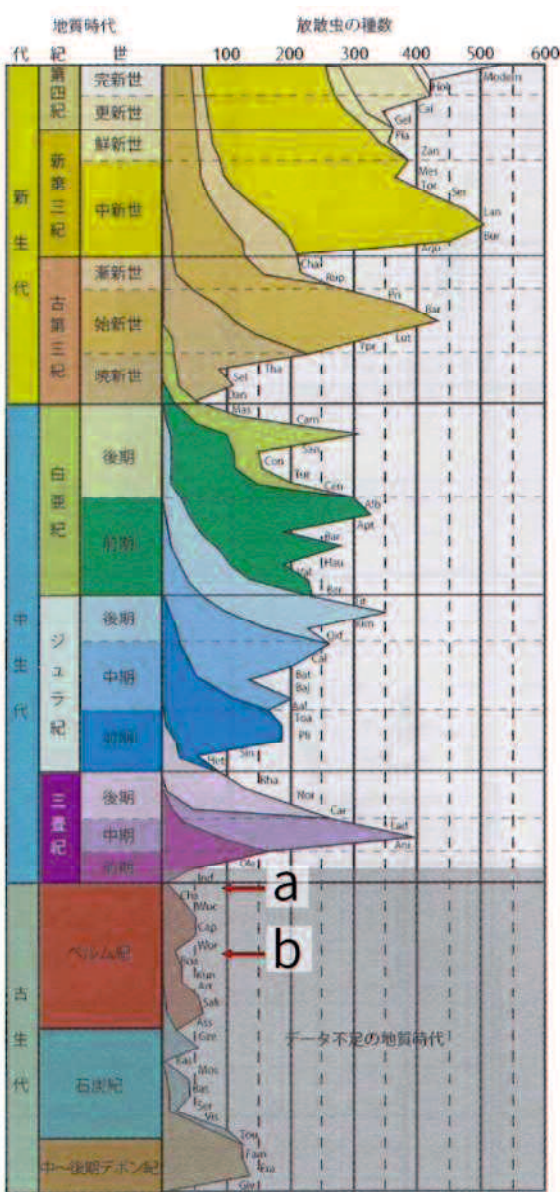
### I-1.3.ペルム紀の放散虫化石

本研究の対象は、中期ペルム紀前期の放散虫化石である。放散虫は、約5.4億年も生息していたため、形態変化が激しく、それぞれの地質年代で、個別の専門家が詳細な研究を進めている。この節では、ペルム紀の放散虫化石に絞って解説する。

ペルム紀の最後に当たるローピンギアン（Lopingian）の時期には、多くの生物が大量絶滅事変で絶滅し、放散虫もその影響を目レベルで受けている（鈴木ほか, 2012）。古生代後期の放散虫はアルバイレラ目、ラテンティフィストラリア目、エンタクチナリア目が繁栄しており若干のスプメラリア目がいた（鈴木ほか, 2012）。古生代型放散虫ともいわれるアルバイレラ目とラテンティフィストラリア目は、

中生代以降の放散虫化石とは見かけが大きく異なっている。放散虫の語源は、放射状に伸びる軸足仮足からきている。この古生代型放散虫は古生代ペルム紀末にほとんどが絶滅したと考えられていたが、その生き残りがニュージーランドのオルアテマヌ層の三畳系で発見された (Takemura et al., 2007)。古生代型放散虫は三畳紀最初期まで生き残り、前期三畳紀のインドゥアン (2億5100万年前–2億4900万年前) で中生代・新生代型放散虫に入れ替わると考えられている (Hori et al., 2007)。

古生代の放散虫化石は保存が悪く、目レベルですら識別できない場合があり未記載種も多く、結果的に古生代の放散虫化石の多様性は断片的にしか解明されていない (第2図) (鈴木ほか, 2012)。そのような背景から、ペルム紀の放散虫化石の進化系列も未解明な部分が多く残っている。本研究で記載・報告した放散虫化石は古生代の中期ペルム紀前期にあたるローディアン (Roadian) を示すと考えられている。ローディアンは第2図の b で示した中期ペルム紀の最初期にあたる年代であり、ペルム紀の放散虫化石の記載された種数でみると、大量絶滅事変の起きた第2図の a の年代のチャンシンギアン (Changhsingian) の次に少ない地質年代に該当する。そのため、本研究で扱う放散虫化石群集は前期ペルム紀と中期ペルム紀の化石の進化系列を新たに補完するミッシングリンクとしての貴重な試料である。



第2図 放散虫の多種様性の時代  
変遷.

1834年から1990年代前半までに記載された全種（約11,000種）を分類学的に整理し、それらが見つかった試料の地質年代を期ごとに集計し、作成した図。図では地質時代の世（epoch）ごとに同じ色で一括して示している。（鈴木ほか[2012]で作成された）。黒い線で区切った山は、ある時代に出現した種がどの時代にいたかを表現している。山の色は左の年代区分の世（Epoch）と対応している。

#### I-1.4. マンガン炭酸塩岩から産する放散虫化石

本研究で記載・報告する放散虫化石はマンガン炭酸塩岩から抽出したものである。その特殊性について、以下に記述する。

放散虫化石は一般的には、泥岩や珪質泥岩、チャートから産する。これら珪質な堆積岩は、数千万年から数億年オーダーの地質的イベントによって強い変形や変質を受けていることがほとんどであり、特に日本列島のような付加体ではそれは顕著である。そのため珪質な堆積岩から産する放散虫化石もまた、変形や変質を受けおり保存状態が良くないことがほとんどである。

一方、付加体中にまれに存在するマンガン炭酸塩岩からは極めて保存状態がよい放散虫化石が産出する。珪質岩とマンガン炭酸塩岩から産出する放散虫化石の保存状態の違いの要因として、胚胎する岩石の種類と化石の抽出方法が挙げられると著者は考えている。マンガン炭酸塩岩内の放散虫化石は、マンガン炭酸塩岩をなす炭酸マンガン鉱の結晶内に存在する。付加する前からマンガン炭酸塩岩として固結しているため変形を受けにくかったと考えられる。また、放散虫化石を抽出するために使用する薬品が珪質岩とマンガン炭酸塩岩とは異なる。珪質岩から化石を抽出するには5%以下のフッ化水素酸を使用するため、化石表面もフッ化水素酸と反応してしまうことがある。マンガン炭酸塩岩から化石を抽出する際には、塩酸や酢酸を使用するため、化石表面とは反応を起こさず化石の殻本来の形態を残す（鈴木, 2013）。Yao (1972) が世界で初めて美濃帯のマンガン炭酸塩岩からジュラ紀中期の放散虫化石を報告してから世界中の研究者に知られることとなった。その後、日本各地から保存が良好なジュラ紀の放散虫化石がマンガン炭酸塩岩から報告されている（服部, 1987, 1989; Matsuoka, 1991, 2004; Hori, 2000; 荒川, 1998; 鈴木ほか, 2007; 山北・堀, 2009など）。

マンガン炭酸塩岩とは、直径数百マイクロメートルから数ミリメ

一トルの微小な球状の炭酸マンガン鉱 (rhodochrosite) からなるマイクロのジュールの集合体からなるものを指す (箕浦・中谷, 1984a, b; 竹村ほか, 2001; 西原・八尾, 2005; 藤原, 2009). マンガン炭酸塩岩は数センチメートルから数十センチメートルの厚さで、層状あるいはレンズ状に珪質泥岩中に産出することが多い。このような層状のマンガン炭酸塩岩は世界的に見ても日本の上部から下部のジュラ系に限られて産出すると考えられてきた (箕浦・池田, 2011). しかし、さらに古い年代を示す三畳紀中期のマンガン炭酸塩岩が、ニュージーランドのワイパパパ帯アローロックスの栗色珪質泥岩中から産出することが報告されており (竹村ほか, 2001; 相田ほか, 2009), マンガン炭酸塩岩の報告例はジュラ紀に限ったものではない。

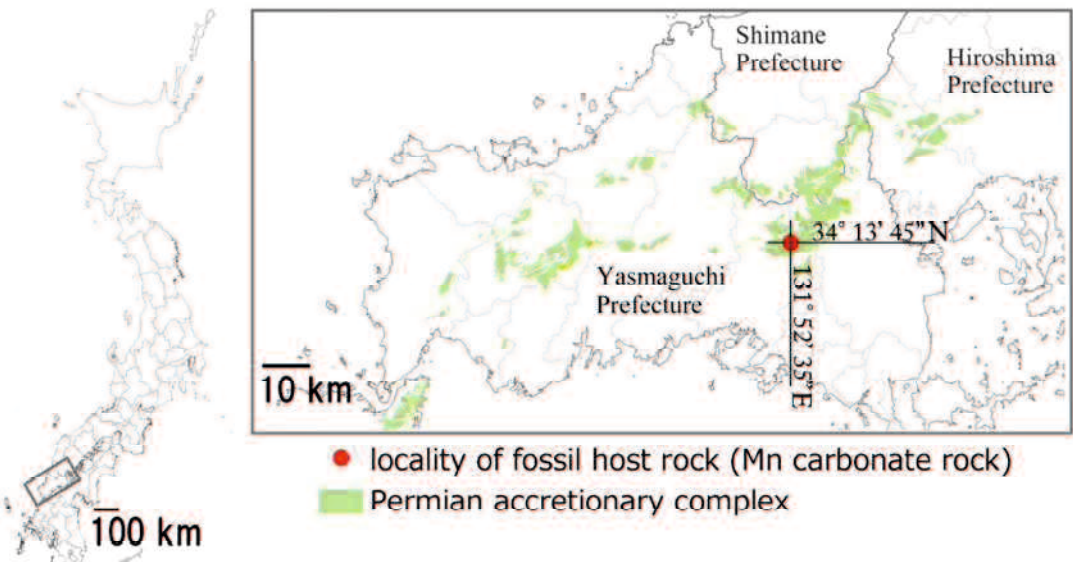
本研究で扱うマンガン炭酸塩岩は保存状態が極めて良好な放散虫化石を含んでいる。この化石群集は年代決定に有効なアルバイレラ目の個体を 100 以上産出し、アルバイレラ目の種を 6 つ含んでいる (pl. 4 の no. 11 を除く, pl. 1-4 の化石個体)。それらの放散虫化石が示す年代は中期ペルム紀前期頃である (中川・脇田, 2016a, b)。この年代の放散虫化石を含むマンガン炭酸塩岩は初の報告であり、極めて珍しい。マンガン炭酸塩岩が露出している近傍の珪質泥岩からもわずかに放散虫化石を抽出することができたが (pl. 4, no. 11; pl. 8, no. 8; pl. 8, no. 14-16; pl. 9, no. 6), 保存状態は悪く、また年代決定に有効な *Parafollicucullus* 属の個体は 1 個体だけしか産出せず、保存状態が悪く明確な種の同定は不可能であった。上記のことから、珪質泥岩といった珪質岩から産する放散虫化石と比べて、マンガン炭酸塩岩から産する放散虫化石は保存状態が良く個体数が多いことから、より多くの情報をもたらすことが分かる。

## I-2. 地質・岩石概要

本節では、研究対象とした放散虫化石が産出した地質背景について解説する。産出層である「錦層群」、その産出岩相である「メランジュ」、産出岩石である「炭酸マンガン塩岩」の順に記述していく。

### I-2.1. 山口県周南市鹿野地域の錦層群

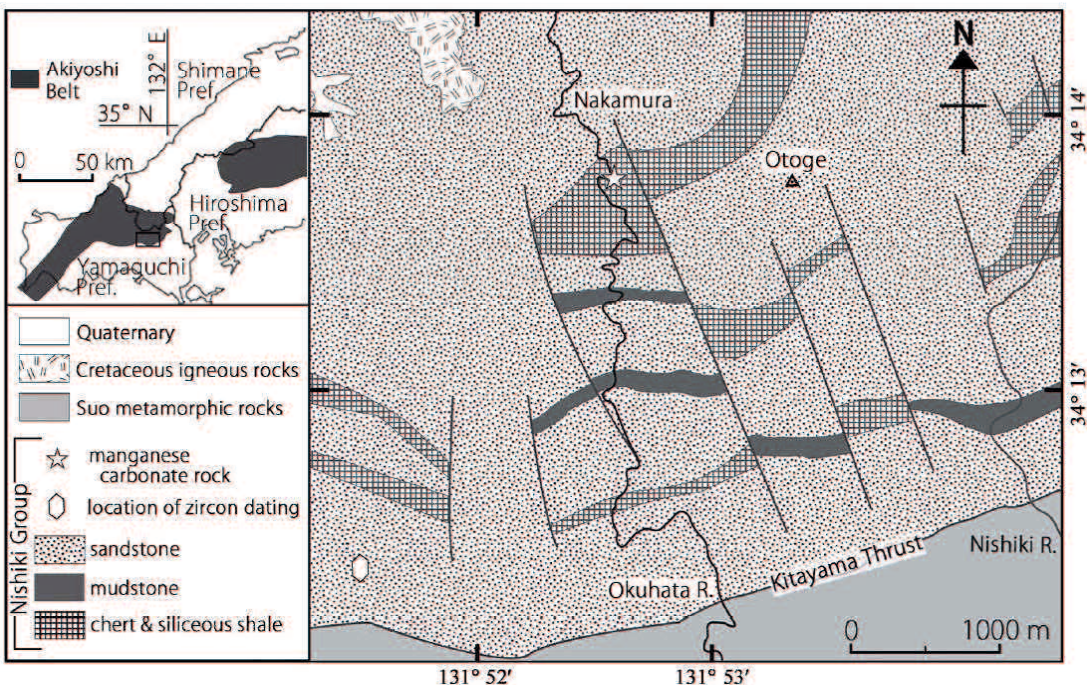
本研究で対象とした放散虫化石は、山口県周南市鹿野地域の秋吉帯錦層群に含まれるマンガン炭酸塩岩から産出した。錦層群を含む地質帯である秋吉帯は、山口県から福岡県北部にかけて分布する西半部と、広島県から岡山県にかけて分布する東半部に分かれて分布する（西村ほか, 2012）。本地域は秋吉帯の東半部の東端に位置する（第3図）。つまり秋吉帯のほぼ中央の位置を占める。秋吉帯は、秋吉石灰岩に代表される石灰岩を主体とする地域と大田層群（佐野ほか, 1983）や錦層群（西村・濡木, 1966）のように、砂岩・泥岩を主体とする地域に区分される。本研究対象地域は、後者の砂岩・泥岩を主体とする地域に当たる。



第3図 化石産出地点.

赤い○がマンガン炭酸塩岩の産出位置 (Nakagawa and Wakita, 2020). 色が塗られている箇所は化石を含む地層と同年代のペルム紀の付加体. 地図は地質調査総合センターのシームレス地質図の 1:200,000 をもとに作成 (Geological Survey of Japan, 2018) .

錦層群は、山口県と島根県の県境にまたがり（第4図），山口県側の錦-鹿野地域および島根県側の六日市地域に分布するペルム系である (Ishiga et al. 1986). 分布域は北東-南西方向に約 40 km, 北西-南東方向に数 km-10 km である. 本層群はその南東縁で北傾斜の低角な断層（北山スラスト）を介して周防帯の変成岩（都濃層群）の構造的上位に重なり（西村・濡木, 1966），北西側で白亜紀の関門層群，周南層群および阿武層群によって不整合におおわれる（西村ほか, 2012). また地域によっては後期白亜紀の花崗岩類に貫かれる. 本層群は，砂岩，泥岩および酸性凝灰岩からおもに構成され，少量のチャート，珪質泥岩，礫岩および石灰岩を伴う.



第4図 山口県周南市鹿野地域の地質図。

マンガン炭酸塩岩の露頭周辺の地質図 (Hara and Kiminami [1989])

を一部修正). マンガン炭酸塩岩は☆の位置に露出している.

錦層群は、1960年代から1980年代にかけて層序や地質構造が検討されており、山口県東部の錦層群については、西村・瀧木（1966）および西村ほか（1989）が、岩相の特徴に基づき下部層、中部層および上部層に区分した。その後、田中ほか（1987）や Hara and Kiminami (1989) は、錦川支流の木谷川から奥畠川にかけて調査を行い、新たな地質図と層序を示した。一方、島根県側の錦層群、鹿野地域の放散虫化石については、中ほか（1986）が層序を検討し地質図を作成するとともに、放散虫化石による堆積年代を明らかにした。

### I-2.2.錦層群のメランジュ

放散虫化石を産出したマンガン炭酸塩岩は、Hara and Kiminami (1989)がメランジュとした地域に含まれているが Hara and Kiminami (1989) では報告されたおらず、中川・脇田（2016b）によって初めて報告された。チャートと珪質頁岩が分布する地域の一部に、Hara and Kiminami (1989) がメランジュ帶とした箇所が分布している。この箇所では、チャートや珪質泥岩に泥が注入している泥インジェクション構造（第 5 図）がいたるところに見られ、泥インジェクション帶の様相を呈している。露頭では泥の注入部に  $10\text{cm} \times 3\text{cm}$  ほどの砂岩の礫がみられ、泥の注入過程で破壊された母岩の破片も注入部に見られる（第 6 図 a, b）。



第 5 図 珪質泥岩中に泥インジェクションがみられる露頭写真。

砂岩礫を伴う泥（暗色部）が周りの珪質泥岩を取り込みながら、灰白色の珪質泥岩中に注入している。

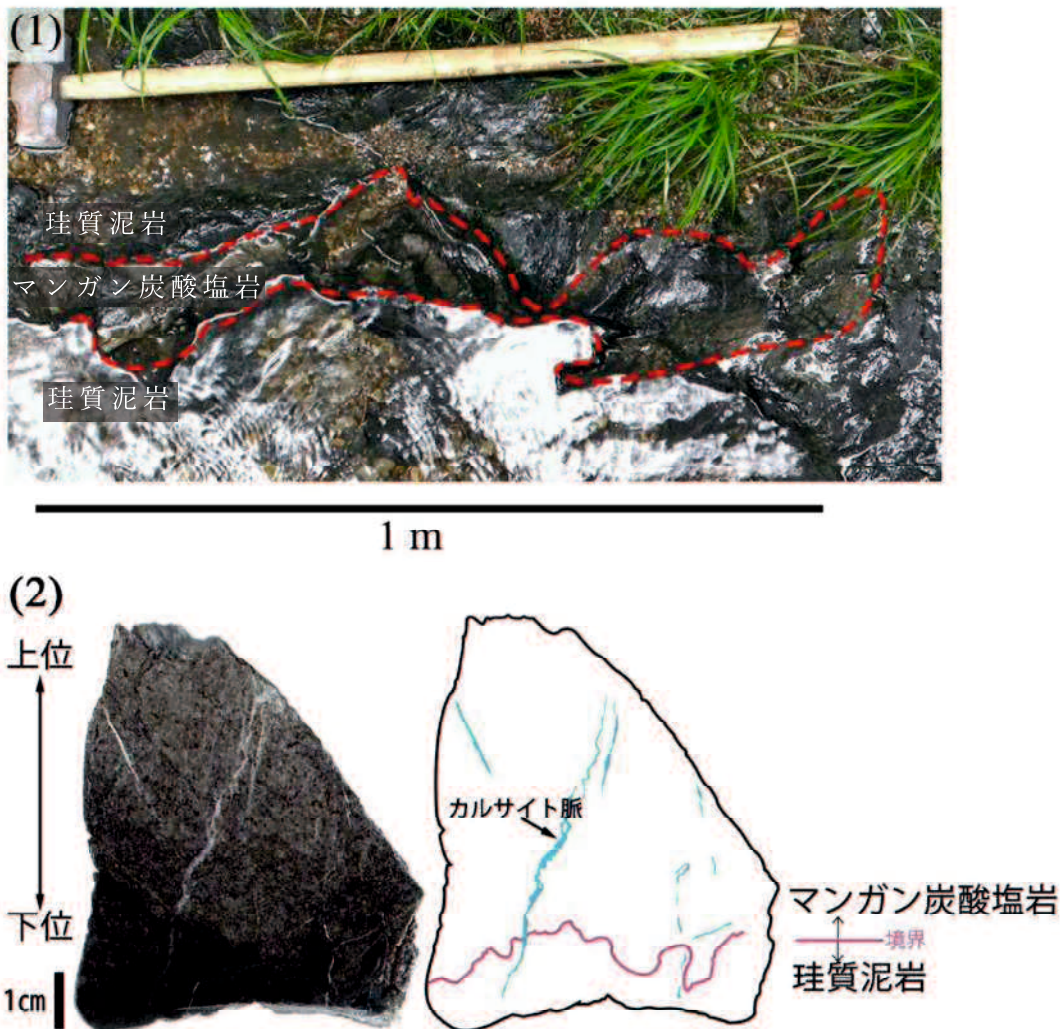


第 6 図 珪質泥岩中の泥インジェクションの岩石写真.

- a: 灰白色の珪質泥岩と泥（暗色部）が明瞭な面で接している.
- b: 下半分では剪断面に沿った礫の回転が認められる.

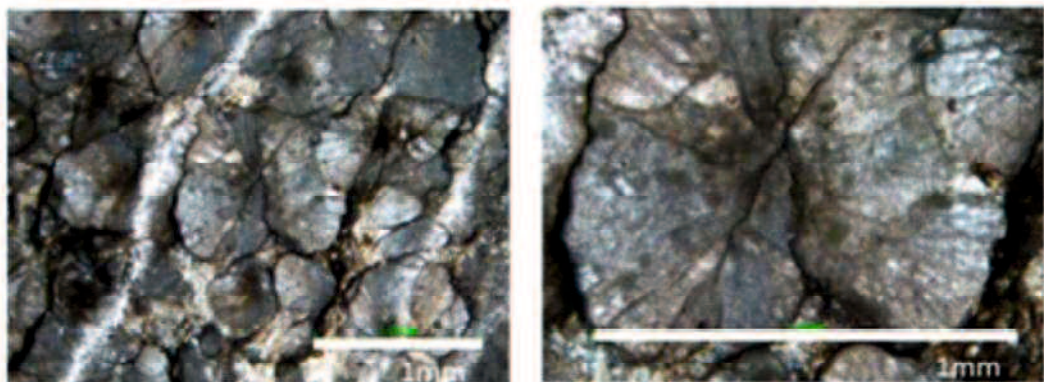
### I-2.3. マンガン炭酸塩岩の産状

マンガン炭酸塩岩の産出位置は奥畠川沿いの Hara and Kiminami (1989)がメランジュとした範囲に相当する(第4図). この地点には珪質泥岩が広く分布しており, しばしば泥の注入が認められる. マンガン炭酸塩岩はこの珪質泥岩中に挟在している. マンガン炭酸塩岩は層状を呈し, 層長約1m・層厚約20cmである(第7.1図). 層の両端は断層で区切られており, 上下の珪質泥岩との境界部は堆積面で接している. 表面は黒色を呈しているが内部は乳白色を示す. 岩石断面では境界部に重力痕が確認できる. また, 粒径1mm程度のマンガン炭酸塩の粒子が観察できる. 粒子の密度は上方ほど高く, 下方ほど低くなり基質の珪質泥岩が多くなる. 鏡下観察では放射状の消光が確認でき, 炭酸塩の球顆が欠けた様子が観察できる(第8図).



第7図 マンガン炭酸塩岩の1露頭写真・2断面写真とスケッチ

- 1: 珪質泥岩中に層状にマンガン炭酸塩岩が存在している。
- 2: マンガン炭酸塩岩の岩石断面とスケッチから、底面の珪質泥岩と堆積面で接していることが観察できる (Nakagawa and Wakita, 2020).



第 8 図 マンガン炭酸塩岩の薄片写真

白いバーは 1 mm である。マンガン炭酸塩粒子は全体として球形をしているが、表面は摩耗している。本来球形に成長したのち、堆積時に表面が削剥された可能性がある。

#### I-2.4. マンガン炭酸塩岩の形成場

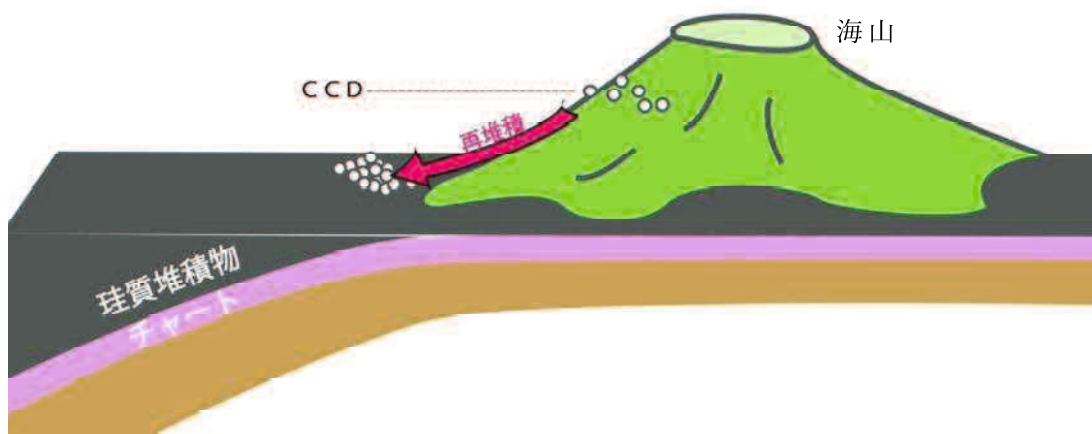
マンガン炭酸塩岩の形成場について以下にレビューし、その形成場について推察をする。

今回発見したマンガン炭酸塩岩は、前節で述べたようにマンガン炭酸塩の粒子の集合体である（第 8 図）。本岩石のように球顆状のマンガン炭酸塩の粒子が、基質の珪質泥岩中に層状、もしくは塊状に密集したものは岐阜県各務原市鵜沼の木曽川河床にも見られる。そして、鵜沼地域のマンガン炭酸塩岩の成因や形成環境についてこれまで多くの研究がなされてきた。箕浦（1983）は球顆に含まれる放散虫殻の溶解がほとんど認められないことから形成時の環境水の水酸化度はほぼ中立状態であったと考えた。本研究で扱ったマンガン炭酸塩岩中の放散虫殻も溶解がほとんど見られず、また炭酸塩岩であることから、CCD 限界深度より浅所で環境水はの水酸化度は中立状態であったと考えられる。

マンガン炭酸塩岩は珪質泥岩との境界部で堆積面を形成していること（第 7.2 図）と、放射状の消光を示す炭酸塩粒子の球顆が欠けて

いる様子が鏡下で観察できること（第 8 図）から、マンガン炭酸塩の粒子は放散虫殻などを核として放射状に成長した後、マンガン炭酸塩岩の堆積痕から推察するに再堆積をしたと考えられる。

マンガン炭酸塩粒子が再堆積したとすると、それら粒子は珪質泥岩よりも地形的上位に位置していたことを示しており、マンガン炭酸塩の個々の粒子はこのような地形的な高まりで形成されたと考えられる。このような海山周辺の海底の高まりにおける海底堆積物表層付近で粒子が形成された後にアウターライズ型の巨大地震などによって起きた揺れで、炭酸塩粒子が再堆積をして珪質泥岩との境界に第 7 図のスケッチから分かる炭酸塩粒子と珪質泥岩との堆積面を形成したと推察した（第 9 図）(Waktia et al., 2018)。野崎ほか (2018) は、日本の付加体中の鉱床についてまとめた。その中で層状マンガン鉱床の地球化学的特徴からその成因を求めた研究があげられており、鉱床の母岩の緑色岩がコンドライトで規格化した REE パターンが軽希土上がりのパターンを示し、WPA (Within Plate Alkaline basalt) あるいは WPT (Within Plate Tholeiitic basalt) の範囲にプロットされることから海山や海台で噴出した玄武岩起源であるとされている (Fujinaga et al., 2006)。Fujinaga et al. (2006) の研究結果は、本研究の第 9 図で示したモデルの形成場と調和的である。



第9図 マンガン炭酸塩粒子の再堆積のモデル.

海山周辺の地形的な高まりにマンガン炭酸塩粒子が形成されたモデル. 白く丸い図形で示されたものがマンガン炭酸塩の粒子. マンガン炭酸塩粒子がアウターライズ型の地震などによる揺れで再堆積したモデル.

### I-3. 放散虫化石群集と地質年代

本節では、研究対象とした放散虫化石の処理方法、産出した化石群集の構成、この化石群集の構成化石から明らかになる地質年代について述べる。

#### I-3.1. 放散虫化石の抽出処理

放散虫化石処理の方法は、以下の通りである。

炭酸マンガン岩を破碎し、1 cm~2 cm 程の破片にする。岩石片の全體が浸るほどの 10%~15% 塩酸の水溶液に 1 日浸す。1 日後に残渣となったものと、溶けないで残った未溶解の残留物ができる。見固結の残留物は、放散虫の殻の破損を避けるために、255 ゲージのテトロニックメッシュ（開口部 37 $\mu\text{m}$ ）に穩やかに受け止める。洗浄も放散虫の殻の破損を避けるために行わない。得られた残渣を 60°C の電気乾燥機で約 24 時間乾燥させた。その後、放散虫標本を顕微鏡下で細いブラシで収集した。

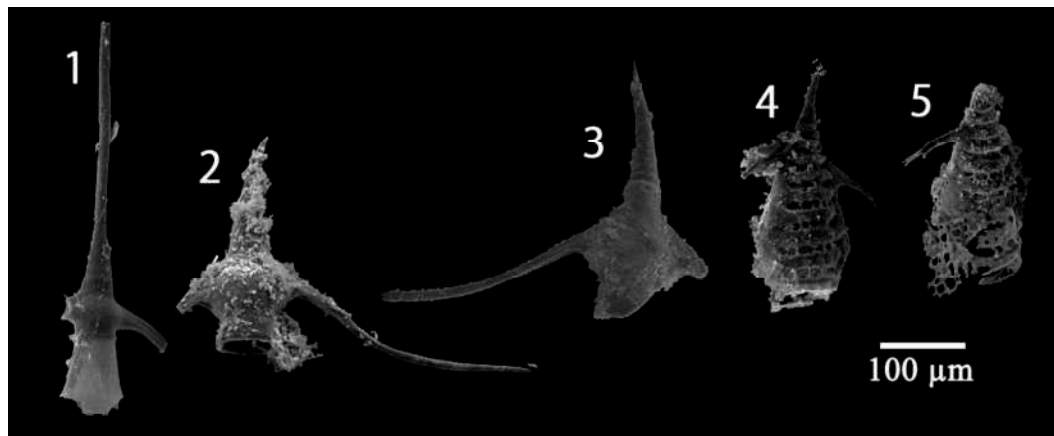
### I-3.2. 最新のデータから導かれる放散虫化石年代

マンガン炭酸塩岩からの放散虫群集は、中川・脇田（2016a）で報告されている。第1表のリストで化石群集を示す。

第1表 放散虫化石の産出表 (*P.* は *Parafolliculus*)

種名	Plate	No.
<i>P. babelis</i> sp. nov.	1	1-4
<i>P. grandis</i> sp. nov.	2	1-8
<i>P. cf. ishigai</i>	3	1-17
<i>P. aff. fusiformis</i>	3	18
<i>P. yanaharensis</i>	4	1, 2
<i>P. lanceolatus</i>	4	3
<i>P. spp.</i>	5	1-15
<i>Albaillella foremanae</i>	6	1-4
<i>Entactinosphaera strangulata</i>	6	5-9
<i>Entactinia densissima?</i>	7	1-9
<i>Kashiwara?</i> sp.	8	1-3
<i>Cenosphaera?</i> sp. A	8	4-8
<i>Cenosphaera?</i> sp. B	8	9
<i>Hegleria mammilla</i>	8	10-13
<i>Hegleria</i> sp. aff. <i>H. mammilla</i>	8	14-16
<i>Latentifistula texana</i>	9	1-7
<i>Quadricaulis</i> sp. cf. <i>Q. femoris</i>	9	8, 9
<i>Foremanhelena circula</i>	9	10, 11
<i>Ishigaum trifustis</i>	9	12-17
<i>Pseudotormentus kamigoriensis</i>	9	18-20
<i>Ormistonella robusta</i>	9	21-22
<i>Quadricaulis adhaerens?</i>	10	1-4
Arm of <i>Pseudotormentus</i> sp.	10	5
Arm of <i>Quadricaulis inflata</i>	10	6-10
<i>Pseudotormentus</i> sp.	10	11-16

中川・脇田（2016a）では、命名されていない種を含む、6つの*Parafollicucullus* 属の種がカウントされ、その後博士課程の研究で、*Parafollicucullus* 属の *P. babelis* sp. nov. (= *Parafollicucullus* sp. A of 中川・脇田, 2016a) (pl. 1, no. 1-4), *Parafollicucullus grandis* sp. nov. (= *Parafollicucullus* sp. B, 中川・脇田, 2016a) (pl. 2, no. 1-8), *P. lanceolatus* (Ishiga and Imoto) (第 10.1 図, pl. 4, no. 3), *P. yanaharensis* (Nishimura and Ishiga) (第 10.2, 10.3 図, pl. 4, no. 1, 2) と *Albaillella* 属の *A. foremanae* Cornell and Simpson (第 10.4, 10.5 図, pl. 6, no. 1-4) が存在することが明らかとなった。中川・脇田（2016a）はこの化石群集を最上位のカングリアンに割り当てたが、その後に該当する放散虫化石の新たな生層序スキームが公開され (Aitchison et al., 2017; Xiao et al., 2018; and Zhang et al., 2018)，さらにその後、北アメリカのペルム紀盆地地域の研究 (Nestell et al., 2019) でグアダルピアの放散虫の相関問題が詳述されて修正された。Nestell et al. (2019) では放散虫化石の同定間違いが指摘され、すべての以前の研究のカングリアンからウォーディアンの放散虫生層序が間違っていたことが証明された。

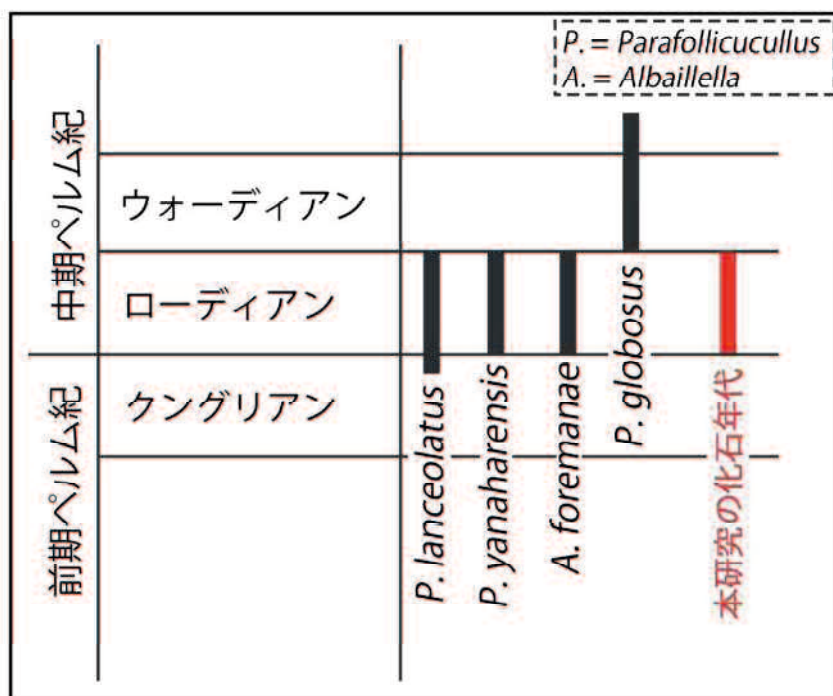


第 10 図 年代の議論に使用した化石種の SEM 画像。

1: *Parafollicucullus lanceolatus* (Ishiga and Imoto), 2, 3: *Parafollicucullus yanaharensis* (Nishimura and Ishiga), 4, 5: *Albaillella foremanae* Cornell and Simpson.

本研究では、まずデータを上記の生層序スキームに関連付け、次に Nestell et al. (2019) で割り当て可能な地質年代を検討する (第 11 図)。Aitchison et al. (2017) に示されているゾーンはいくつかの出版物から編集されているため、代わりに元の論文を参照する。Zhang et al. (2010) によると *A. foremanae* (第 10.4, 10.5 図, pl. 6, no. 1-4) は、カングリアン全体から初期のローディアンまでおよぶ。ただし、Nestell et al. (2019) は、Zhang et al. (2010, p. 284) の *A. foremanae* (第 10.4, 10.5 図, pl. 6, no. 1-4) は別の種であると考えたため、この種の範囲は Roadian のみに限定されていると考えられる。また、Zhang et al. (2010) は、本研究の対象となる他の *Parafollicucullus* の種が含まれていないため、我々の群集に関するその他の裏付ける情報はない。さらに、Xiao et al. (2018) によって確立された Unitary Association Zones (UAZ) は、インデックスと主要な種が不足しているため、適用されない。代わりに、Xiao et al. (2018) の統計的に可能性のある 165 種の範囲を参考し、*P. lanceolatus* (第 10.1 図, pl. 4, no. 3) のレンジであろうと考えられる範囲は、UAZ 7–8 であり、*A. foremanae* (第 10.4, 10.5 図, pl. 6, no. 1-4) のレンジと重複する (Xiao et al., 2018 の pp. 191, 192 を参照)。これらの種の可能性が最も高いのは UAZ 7 に共通しており、これはローディアンの終わりから最上部のカングリアンを示している。Zhang et al. (2018) による生層序図は、*P. yanaharensis* (第 10.2, 10.3 図, pl. 4, no. 1, 2) とのみ相關しており、ローディアンを示している。*P. globosus* (Ishiga and Imoto) は、本研究であつかった試料からは産出せず、上記の 3 つの論文のいずれでも共産しない。Nestell et al. (2019) によれば、*P. globosus* 帯と *P. monacantha* 帯の両方は、ウォーディアンの下部と相關する必要がある (Nestell et al., 2019, p.283)。著者による錦層群の砂岩の U-Pb 年代測定は  $268.7 \pm 2.1$  Ma を示しており、Davydov et al. (2018) による放射性同位体キャリブレーションのウォーディアンと対応する。ただし、*P. globosus* 帯の新しいデータ

は、著者の群集がウォーディアンに到達しないことを支持する。これらの相関関係を考慮して、本群集は *P. globosus* が出現する前のローディアンであると推察される（第 11 図）。



第 11 図 化石年代の根拠となる化石種の生存期間。

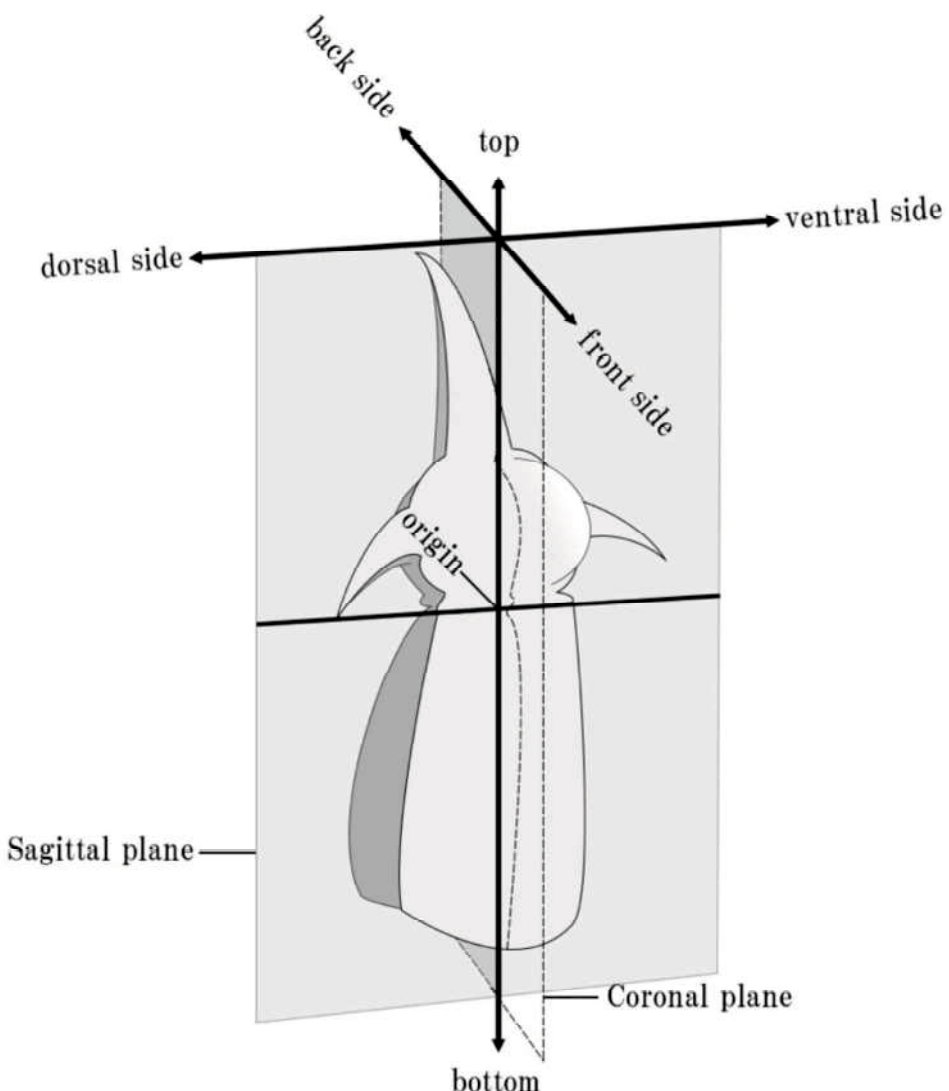
黒色のバーの範囲はそれぞれの化石種の生存期間を示している。それぞれの化石種の生存期間の根拠としている論文は、*P. lanceolatus* は Xiao et al. (2018), *P. yanaharensis* は Zhang et al. (2018), *A. foremanae* と *P. globosus* は Nestell et al. (2019) である。赤いバーは本研究の化石年代を示す

## I-4.*Parafollicucullus* の形態

### I-4.1. 形態用語の定義

この研究で使用される *Parafollicucullus* の形態学的用語を簡潔かつ詳細に説明するための用語を定義する。

**定義系:** 両方の wing と apical cone の先端を通る平面が sagittal plane である。Sagittal plane に直交し、pre-pseudoabdominal junction の中心を通る面が coronal plane である（第 12 図）。



第 12 図 *Parafollicucullus* 属の記載をおこなう際に用いるデカルト座標系 (Nakagawa and Wakita [2020]).

**Dorsal and ventral side (cf. Holdsworth, 1969):** sagittal plane で屈曲した殻の側面を dorsal side と定義する。その反対側は ventral side である（第 12 図）。

**Culmen (複数形: culmina) (Cheng, 1986):** pseudoabdomen と apical cone で観察される。Nassellaria の膨張したセグメンテーションに似ているが、セパレーションのような区切る構造を欠いているため、culmen はくびれた部分の境界によって認識されるセグメント状の膨張した部分として定義される（第 13, 14 図）。

**Crenella (複数形: crenellae) (Cheng, 1986):** pseudoabdomen や apical cone のくびれた部分、および culmina 間の仕切りを形成する境界部（”neck”や”pre-pseudoabdominal junction”など）（第 13, 14 図）。

**Apical cone (cf. Holdsworth and Jonse, 1980):** 殻の円錐形の部分。Pseudothorax の上に apical cone は存在する。Apical cone と pseudothorax は密接に接している（第 13, 14 図）。

**Pseudothorax (cf. Holdsworth and Jonse, 1980):** The apical cone の下の構造。これは、ナセラリアの thorax, すなわち、頂端部からの 2 番目のセグメントに類似している。それは、pseudothoracic bulb, margins of the pseudothoracic bulb, dorsal と ventral の wing から成る（第 13, 14 図）。

**Pseudothoracic bulb. (新語):** pseudothorax の膨らんだ部分（図 6, 7）。

**Neck (cf. Cheng, 1986; 再定義):** pseudothoracic bulb と pre-pseudoabdomen の間の crenella (第 13.1, 14.1 図)。

**Pre-pseudoabdomen (cf. Cornell and Simpson, 1985); Apseudothorax の下の部分の culmen.** Pre-pseudoabdomen は pseudothorax 下の skirt に似ていることがある。これは、Ito et al. (2015) の”short form”的最も低い部分を構成する（第 13, 14 図）。

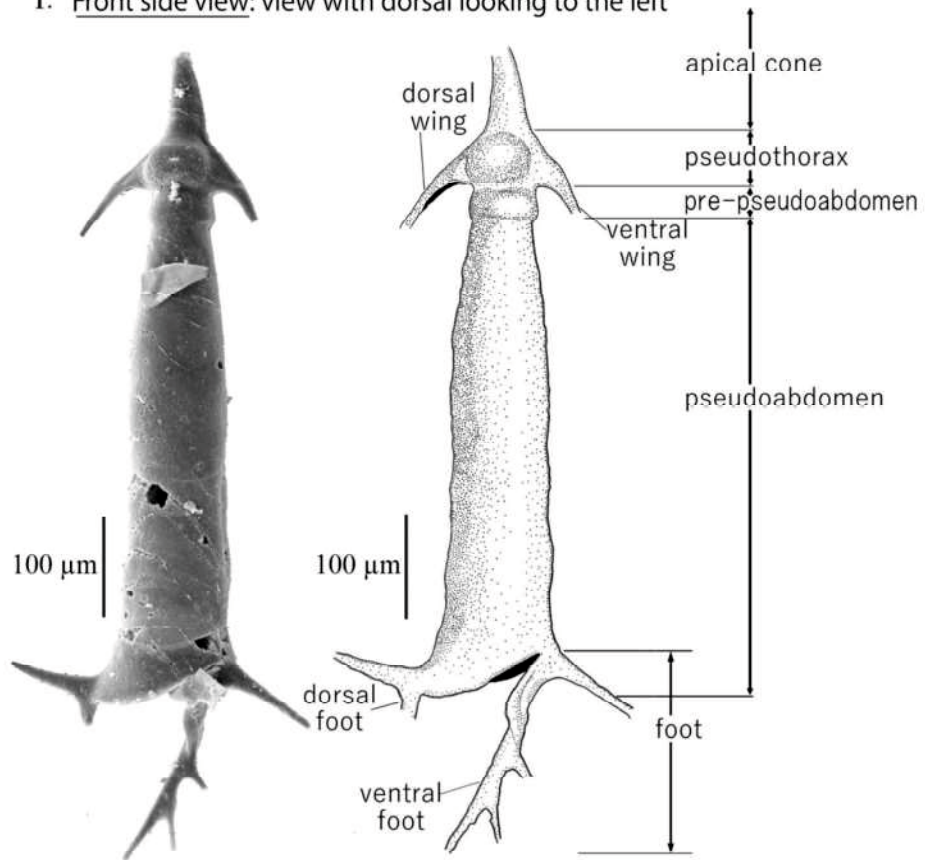
**Pre-pseudoabdominal junction. (新語):** pre-pseudoabdomen と pseudoabdomen の境界。Pre-pseudoabdominal junction は Ito et al.

(2015) によって示されているように short form の開口部でもある（第 13, 14 図）。

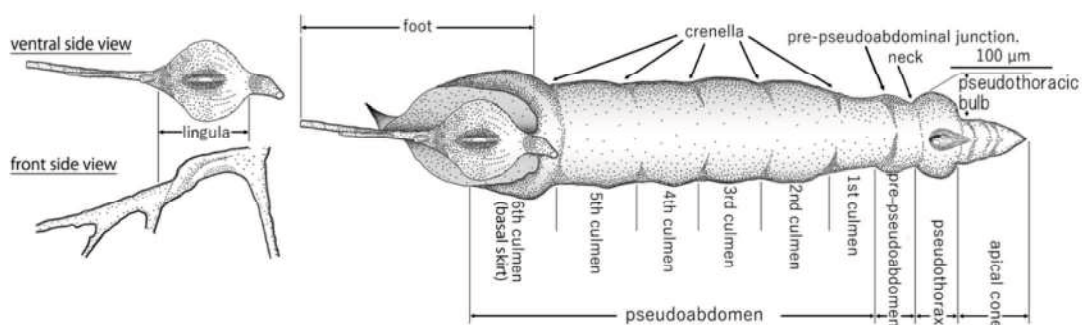
**Pseudoabdomen** (*cf. Holdsworth and Jones, 1980*): pre-pseudoabdomen の下の円錐形もしくは円筒形が膨らんだ部分。Pseudoabdomen は crenellae と culmina のセットによって構成されており、場合によつては basal skirt を伴う。Pseudoabdomen は foot や flap, basal skirt と関連する傾向にある（第 13, 14 図）。

**Basal skirt** (*Maldonado and Noble, 2010*): 形状が他の culmina と異なる、末端の culmen. Basal skirt を他の culmina と区別できる場合、多くの種で foot が basal skirt の側面から生じる（第 13, 14 図）。

1. Front side view: view with dorsal looking to the left



2. Ventral side view

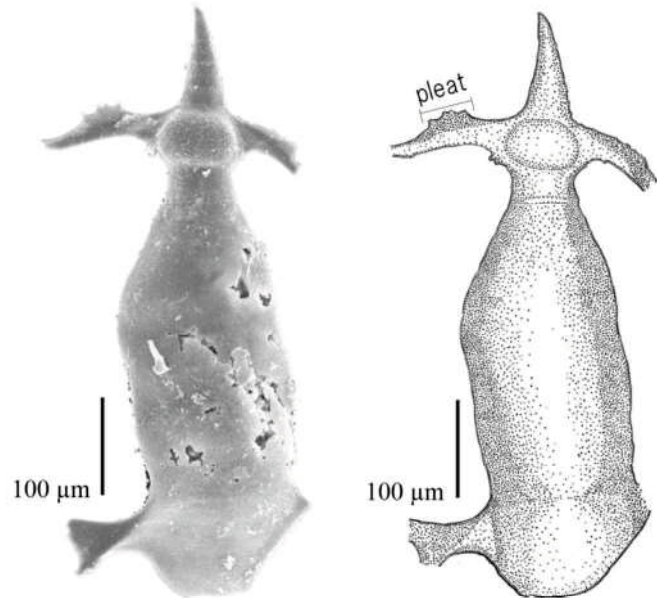


第 13 図 *Parafollicucullus babelis* sp. nov. の SEM 画像とスケッチ

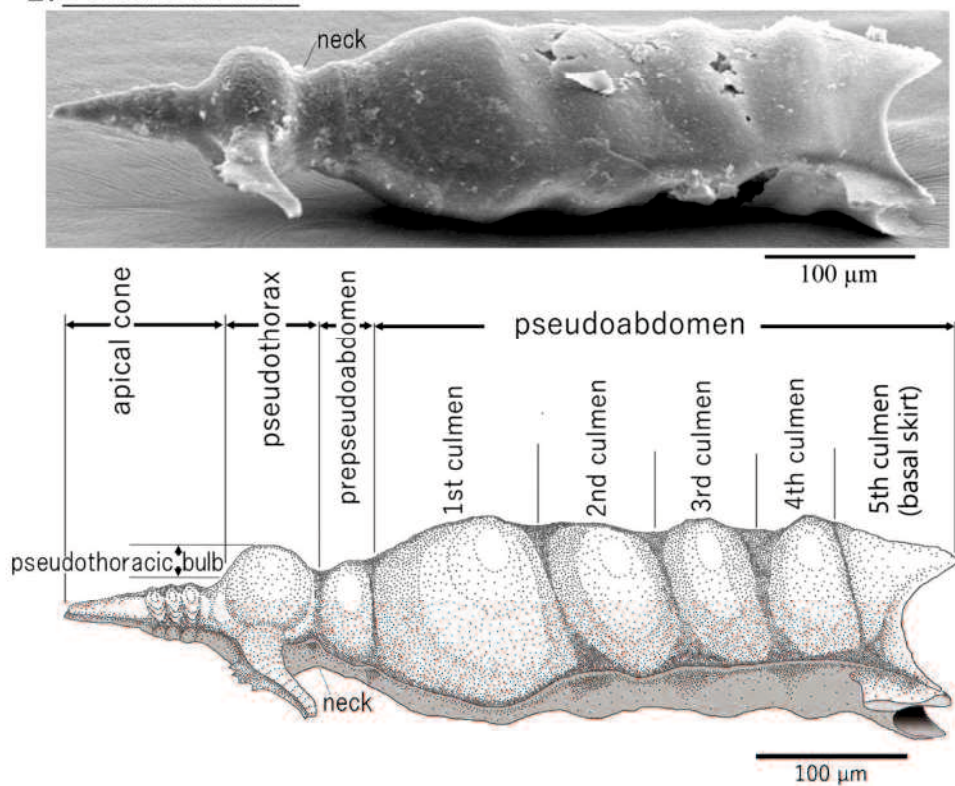
(Nakagawa and Wakita [2020]).

1. 正面から見た図 ; 2. ventral side から見た図

1. Front side view: view with dorsal looking to the left



2. Dorsal side view

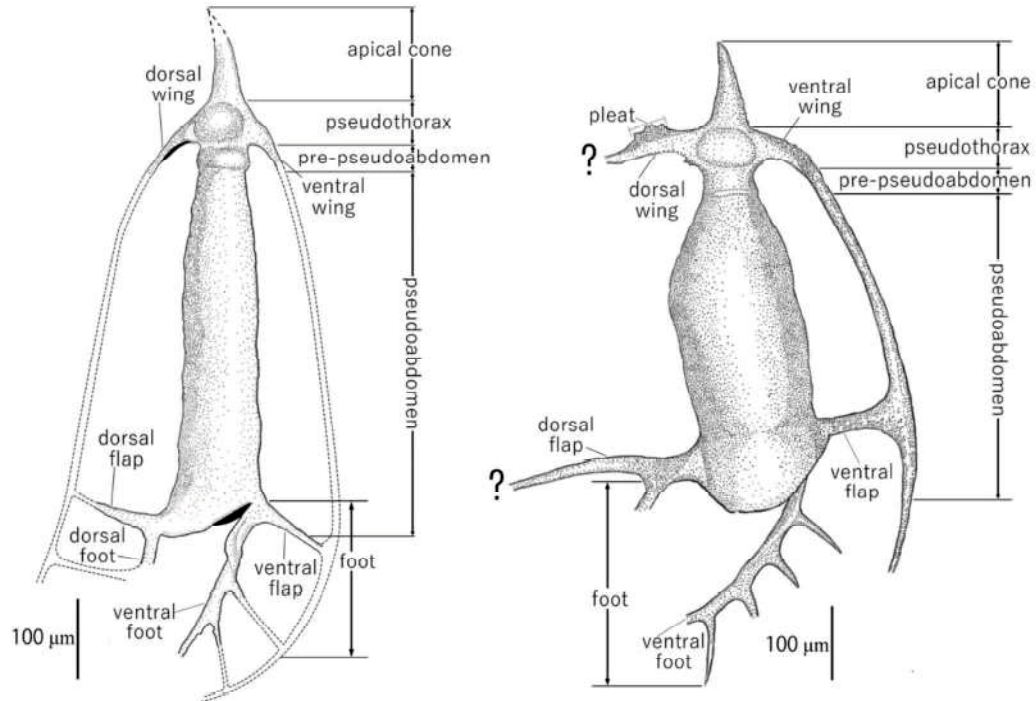


第 14 図 *Parafollicucullus grandis* sp. nov. の SEM 画像とスケッチ。

(Nakagawa and Wakita [2020])

1. 正面から見た図；2. dorsal side から見た図

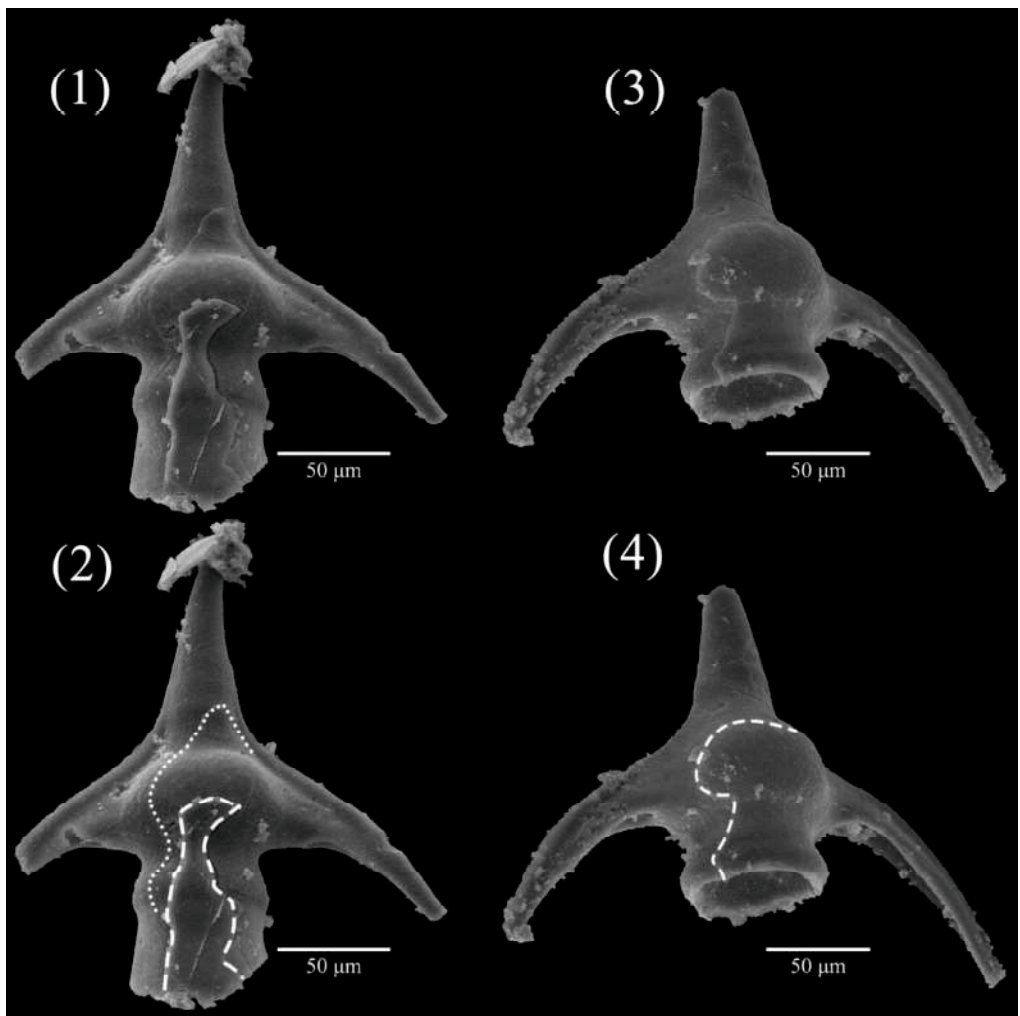
**Inferred complete form (新語):** いくつかの標本の観察から推測された完全な形態（第 15 図）。



第 15 図 *Parafollicucullus babelis* と *P. grandis* の推測される完全な形態  
(Nakagawa and Wakita [2020])

#### I-4.2. 多重の外殻

2つの *Parafollicucullus* の標本（第 16 図）は、タマネギに似た表面の破片を示している。図 16.1 は 3 層の殻を示し、図 15.2 は 2 層の殻を示している。これらの層は、Nishimura (1990) が示す“ラメラ構造”に似ており、放散虫の骨格の断面軸上で同心円状または年輪状の構造として観察できる。Ogane et al. (2010) では、放散虫の基本的な殻の成長は、一次成長、二次成長、および骨格肥厚成長に分類される。Ogane et al (2010) が主張したように、”ラメラ構造”は STG で形成される可能性が高いため、これらの *Parafollicucullus* の複数の層も STG の名残と見なされる可能性がある。これは、*Parafollicucullu* および関連する属が、Rudenko and Panaseko (1990) が仮定した SG プロセスで殻の新しい部分を形成するだけでなく、STG プロセスによって殻を厚くすることを示唆している（少なくとも、Ito et al. [2015] により示されている short form の部分）。



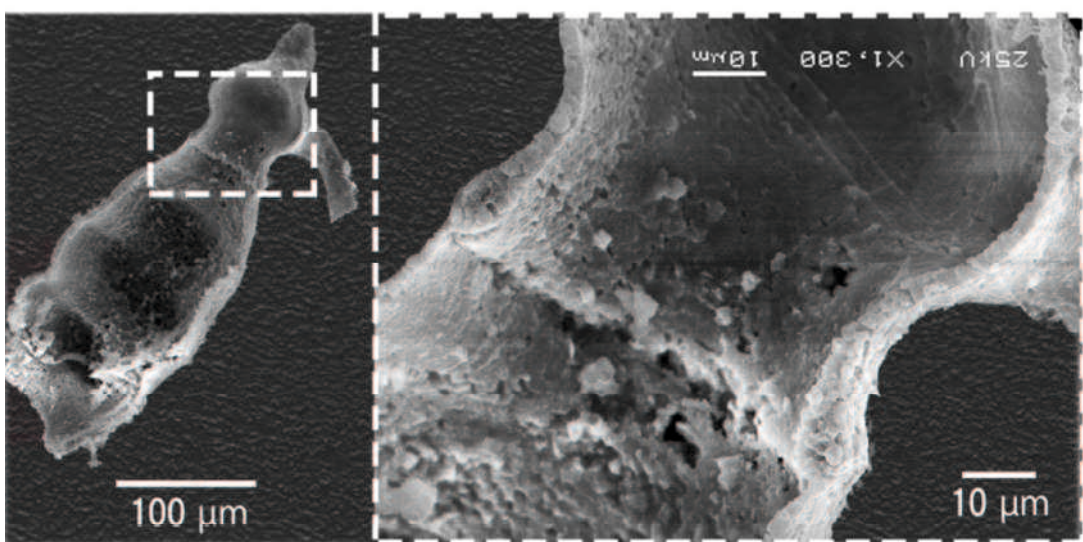
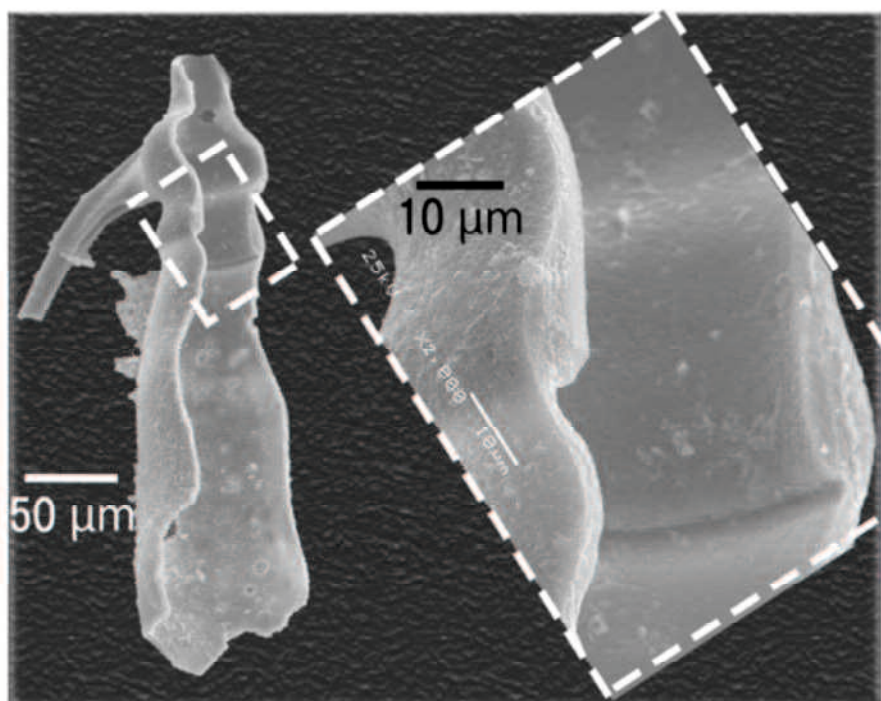
第 16 図 多重な殻が観察できる *Parafollicucullus* の SEM 画像

(Nakagawa and Wakita [2020]).

1, 2: 3 重の殻, 3, 4: 2 重の殻

#### I-4.3. pre-pseudoabdomen と pseudoabdomen の境界部

*Parafollicucullus* 属を含む Follicucullidae 科では、胴体の部分を pseudoabdomen とよぶ。これは、眞の胴体 (abdomen) ではないという意味である。過去の研究において“pseudoabdomen”という用語が示す部分は、本研究で pre-pseudoabdomen と pseudoabdomen を合わせた部分であった。しかし、pre-pseudoabdomen と pseudoabdomen の境界部には本研究で新たに定義した pre-pseudoabdominal junction という構造的なギャップがあり容易に分裂する。そのため、過去の研究における“pseudoabdomen”的用語の使用には問題がある。もともと“pre-pseudoabdomen”という用語は、pseudothorax の下の連続する 1 つまたは 2 つの culmina に対して Cornell and Simpson (1985) によって提案された。構造的なギャップが存在しそのギャップが他の部分と比べて大きいことが第 17 図から観察でき、pre-pseudoabdomen の用語の解剖学的重要性は明らかである。pre-pseudoabdomen の殻は、neck から離れるほどに徐々に厚くなり、新定義した pre-pseudoabdominal junction で最大幅に達する (第 17 図)。pre-pseudoabdomen の末端部分 (約 6–10 μm) とは対象的に、境界付近の pseudoabdomen の殻は薄い (約 2 μm)。この“pre-pseudoabdominal junction”(本論文の pre-pseudoabdomen と pseudoabdomen の境界) が観察できたことは、Ito et al. (2015) による構造的に脆弱な部分が存在するであろうという推定に対して、明確な証拠となる。分類学的に独立した種として記述される short forms と呼ばれる pseudoabdomen を持たないいくつかの種には *Parafollicucullus eurasiacus* (Koaur and Mostler), *P. lanceolatus* (Ishiga and Imoto), *P. longicornis* (Ishiga and Imoto), *P. simplex* (Ishiga and Imoto)などがあるが、これらの種は pre-pseudoabdominal junction から下の pseudoabdomen が無い状態で記載され、種が定義されている可能性が推察される。

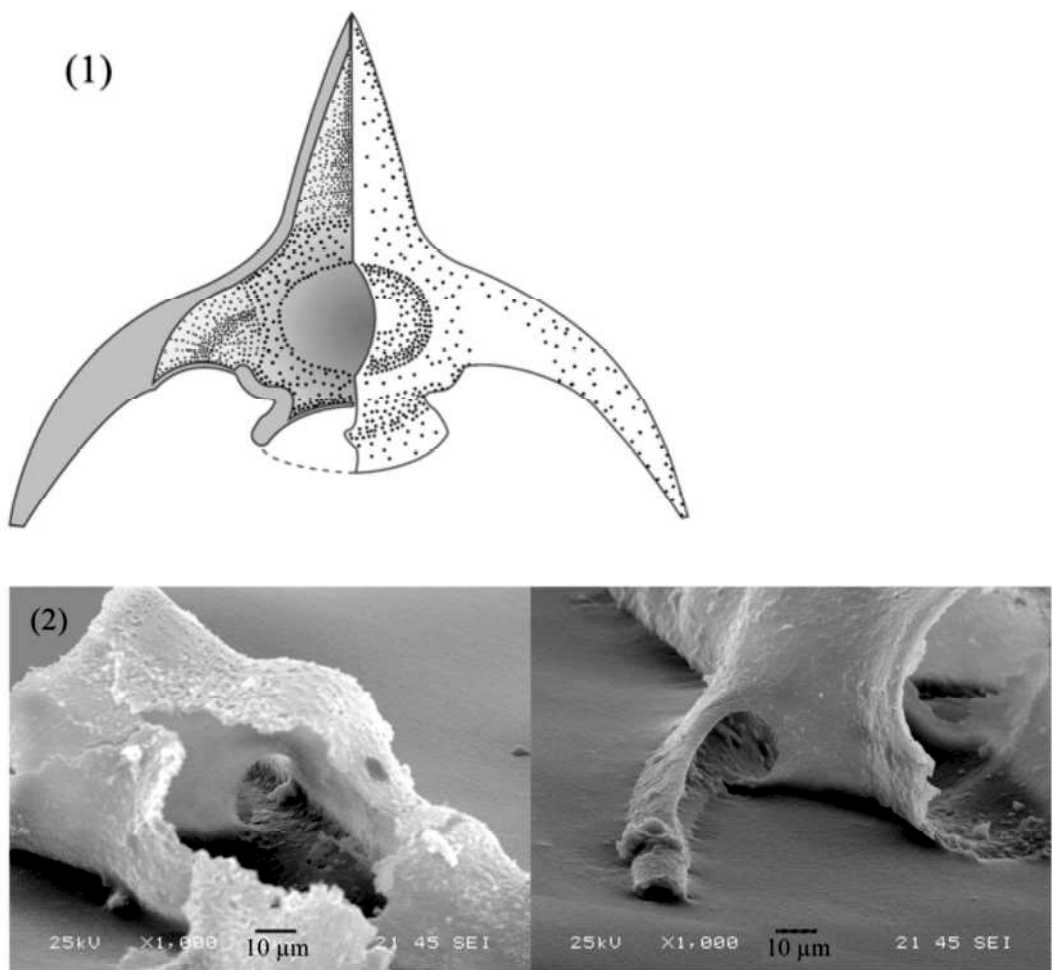


第 17 図 断面が観察できる *Parafollicucullus* の SEM 画像.

断面からは“pre-pseudoabdominal junction”にあたる構造的ギャップが観察できる (Nakagawa and Wakita [2020]).

#### I-4.4.wing 基部の円筒形の空洞構造

本節では、化石の横に突き出たウイングの下側(基部)にある開口の構造に着目して記述する。*Parafollicucullus* 属を含む Follicucullidae 科では、殻の末端部分を除く開口部については認識されておらず、そのような部分は、以前の研究では名前が付けられていなかった。本研究で両 wing の基部の下に円筒形の穴が存在することを認めた(第 18 図)。wing 下の穴のような構造が存在していることは、かつてデボン紀後期から石炭紀初期にかけて Albaillellidae 科で報告され(pl. 1, fig. 8 of Chapter 1 in Cheng, 1986), "wing cavity" と名付けられた。*Parafollicucullus* の wing の下にある wing cavity は、*P. aff. longicornis*(pl. 2, fig. 6 of Ishiga et al., 1982)で"narrow furrow running (注:元々"fullow"と綴られている)"として認識されるが、これまでの論文ではほとんど注目されていない(e.g., pl. 1, fig. 8 of Cornell and Simpson, 1985; pl. 1, fig. 8 and pl. 2 fig. 12 in Ishiga et al., 1982)。本研究の観察により、この"wing cavity"は、Ishiga et al. (1982)で示されるところの、wing の下側の narrow furrow につながっていることが明らかになった。この貫通する wing cavity がすべての *Parafollicucullus* 属の種で発生するかどうかは不明だが、この構造は直接の系列である *Follicucullus* では完全に失われている(Zhang et al., 2014; Ito et al., 2016)。



第 18 図 wing 基部の円筒形の空洞構造のイメージ図と SEM 画像

(Nakagawa and Wakita [2020]).

1. 翼の付け根にある穴のモデル図.
2. *Parafollicucullus* の 2 方向から撮影した SEM 画像.

#### 4.2.4. foot に付属する構造-Lingula-

本節では, *Parafollicucullus* 属の ventral side の付け根の構造について述べる。この部分の輪郭が急激に膨らんでいる橢円形の形態が, *P. babelis* sp. nov. で認識され, 大きさは約 79×84  $\mu\text{m}$  である(第 13 図)。

同様の平らな構造が, *Follicucullus* 属のタイプ種である *Follicucullus ventricosus* Ormiston and Babcock で観察できる(pl. 1, figs. 9 and 10 in Ormiston and Babcock, 1979)。Ormiston and Babcock (1979) は構造に名前を付けなかったため, "lingula" と呼ぶこととする。

*Parafollicucullus rhombothoracatus* (Ishiga and Imoto) にも dorsal foot に lingula がある。Ormiston and Babcock (1979) は, lingula の存在ではなく, "lingula のような開口部" に焦点を当てていた。Lingula または関連構造を持つ lingula 状の開口部は, *Camptoalatus* 属や (Nazarov and Rudenko, 1981; Nazarov and Ormiston, 1985; Isakova and Nazarov, 1986; Maldonado and Noble, 2010), *Corythoecia* 属 (Isakova and Nazarov, 1986) および *Cornum* 属 (Schwartzapfel and Holdsworth, 1996) で観察できる。*Camptoalatus* 属, *Corythoecia* 属, および *Cornum* 属は, *Arrectoalatus* 属および *Qiania* 属とともに, *Corythoecidae* 科に属する (Ito et al., 2017)。

Lingula は *Camptoalatus* では dorsal side にあるが, *P. babelis* sp. nov. や *P. rhombothoracatus* および *F. ventricosus* では ventral side にある。これは, 少なくとも *Camptoalatus* 属や *Parafollicucullus* 属, *Follicucullus* 属に関しては, おそらく *Follicucullidae* 科および *Corythoecidae* 科の family(科)レベルで, lingula が同形構造であることを示唆しており, それらの科に *Camptoalatus* が属するであろうと考えられる。*P. babelis* sp. nov., *F. ventricosus*, *P. rhombothoracatus*, および *Camptoalatus* の lingula の面が矢状面に垂直である(第 12 図)。

本研究で抽出した標本では, *Parafollicucullus* の ventral side の foot には, 外側に付属的な構造がある傾向がある。この傾向は, ventral side

の分岐する foot の存在によって定義される *F. ventricosus* および *F. bispinosus* Kozur でも観察される (Kozur, 1993). *Parafollicucullus* の標本を参照すると, *Camptoalatus* の dorsal side の lingula は, foot に垂直な殻軸, ロッド, または foot に垂直な flap から発生する. どの足に特徴的な付属品があるかを考慮してみると, *F. falx* Caridroit and De Wever と *F. bipartitus* Caridroit and De Wever は ventral side の lingula の異常な発達よりもむしろ ventral side の lingula を発達させた可能性が高い. Noble et al. (2017) と Caridroit et al. (2017) は, ventral side の lingula を有する *Cariver* 属が *Follicucullus* のジュニアシノニムであると想定した. しかし, 一部の *Follicucullus* の種は *Cariver* とは反対側の foot に特徴的な構造を持っているため, *Cariver* は有効な属と見なされるべきだと考える.

#### I-4.6. wing 上部の pleat 構造

次に、化石のサイドにある wing 上部の構造について述べる。この部分にあるギザギザの構造を、本論文では pleat 構造と命名した（第 14 図）。“pleat”とは、スカートなどの布を 2 倍にした、幅が一定で均一な折り目である。*Parafollicucullus grandis* sp. nov. の pleat 構造は、dorsal side の wing の上部にあるコブ状の構造である。4 つないし 5 つのコブが wing に存在する（第 14 図）。この研究で得られた放散虫群集では、*P. grandis* sp. nov. が pleat 構造を持つ唯一の種であると考えている。したがって、pleat 構造の有無は、種レベルで分類群を指定するのに十分であり、場合によっては “short form” による種の同定を可能にすると考えられる。

pleat 構造は先行研究で報告された *Haplodiacanthus circinatus* Nazarov and Ormiston (Nazarov and Ormiston, 1985, pl. 6, fig. 10; Isakova and Nazarov, 1986, pl. 19, fig. 7), *Haplodiacanthus* sp. of Nazarov and Ormiston (1985) (Nazarov and Ormiston, 1985, pl. 6, fig. 11), *Parafollicucullus* sp. A of Ishiga and Imoto (1980, pl. 2, figs. 16–19) などの個体で観察できる。

#### I-4.7. 化石記載（系統記載：Systematic Description）

本研究では、新種を記載している。このような場合、化石を系統的に記述する慣習がある。如何に本研究で産出した化石（特に新種）について、Nakagawa and Wakita (2020)に従って、系統的に記述する。

#### Systematic Description

保存先.—本研究で記載した化石個体は日本国立博物館に保存される。

Order Albaillellaria Deflandre, 1953, emend. Holdsworth, 1969

Family Follicucullidae Ormiston and Babcock, 1979

Genus ***Parafollicucullus*** Holdsworth and Jones 1980

Type Species.—*Parafollicucullus fusifolmis* Holdsworth and Jones 1980.

***Parafollicucullus babelis* sp. nov.**

pl. 1, no. 1-4

*Parafollicucullus longtanensis* Sheng and Wang, Xian and Zhang, 1998,  
p. 28, pl. 1, figs. 14-17.

*Parafollicucullus* sp. A Nakagawa and Wakita, 中川・脇田, 2016a, p.  
31, pl. 1, figs. 1-4.

*Parafollicucullus* sp. A Nakagawa and Wakita, 中川・脇田, 2016b, fig.  
2.1

記相.—*Parafollicucullus* の全長は、Pseudothorax の 9~11 倍の長さである。*Parafollicucullus* は、basal skirt でわずかに膨らんだ開口部を備えた、長い (500~400  $\mu\text{m}$ ) pseudoabdomen で構成されている。Pseudoabdomen は 6 つの culmina から成り、そのうち basal skirt

は pseudoabdomen の他の culmina よりも広い。Pre-pseudoabdominal junction がはっきりと認識される。

記載。——外殻は、apical cone, 2 つの wing を持つ 1 つの pseudothorax, 1 つの pre-pseudoabdomen, 1 つの pseudoabdomen（偽胸部の 9~11 倍長い）、2 つの flap, および 1 つないし 2 つの foot で構成される（第 13 図）。特徴的な真っ直ぐな縁(rim)は、"short form" の外殻の dorsal と ventral の両方の sagittal(矢状面)に沿って観察できる（第 19.1, 19.2 図）。Pseudoabdomen の dorsal side に沿って縁(rim)が発達している（第 19.1 図）。外殻には穴が開いていない（第 13 図）。Apical cone は、先端が円錐形であり、culmina と crenellae で波打つような形をしており、dorsal side にわずかに湾曲している（第 13.1 図）。Pseudothorax は、高さと幅の比が 4:7 の橢円体の pseudothoracic bulb と 2 つの wing で構成されている。Dorsal と ventral の両方の wing は sagittal(矢状面)上にあり、同様の形状をしており、輪郭は apical cone の直線の縁(rim)から始まり（第 19.1, 19.2 図），pre-pseudoabdominal junction のおよそその高さから下向きに傾斜する（第 13.1 図）。Wing の先端は、wing の根元から横方向に離れており、pseudothoracic bulb の幅に比べて 1 倍または 1.5 倍の距離である（第 13.1 図）。筒状の穴が wing の下側に貫通している。Pre-pseudoabdomen は平らな樽型である。Pre-pseudoabdominal junction は、くびれ状の構造によってはっきりと特徴付けられる（第 13 図）。Pseudoabdomen は、basal skirt を含む 6 つの culmina で構成されている（第 13.2 図）。Culmina は sagittal 側から観察すると（第 13.2, 19.1 図）容易に区別できるが、front 側（第 13 図）からは区別ができない。Basal skirt には、dorsal flap, dorsal foot, ventral flap, ventral foot が 1 つずつ関連づけられる（第 13.1 図）。Front 側と back 側から観察すると、basal skirt の開口部は、ventral side から dorsal side に向かって下向きの斜めの輪郭を示す（第 13.1 図）。Dorsal flap は横方向および上方向に伸

びているが, ventral flap は横方向に伸びながらわずかに下方向に伸びている(第 13.1 図). Ventral foot は, front 側から観察すると円柱状のバーティシル(棘状の構造)のように見えるが(第 13.1 図)が, ventral side の電子顕微鏡像(第 13.2 図)から見ると, 楕円形の平らなフライパンのような lingula が付いている. Foot がほぼ上下軸に沿って伸びており, foot はわずかに湾曲している(第 13.1 図). Dorsal foot の有無は不明である.

#### 計測.——

殻全体の高さ (foot を除く) : 475–645  $\mu\text{m}$  (ave. 564.1  $\mu\text{m}$ , med. 575  $\mu\text{m}$ ; specimens 6; holo. 645  $\mu\text{m}$ );

apical cone の高さ: 75–110  $\mu\text{m}$  (ave. 92.5  $\mu\text{m}$ , med. 92.5  $\mu\text{m}$ ; specimens 4; holo. 80  $\mu\text{m}$ );

pseudothorax の高さ: 35–50  $\mu\text{m}$  (ave. 44.1  $\mu\text{m}$ , med. 45  $\mu\text{m}$ ; specimens 6; holo. 50  $\mu\text{m}$ );

pre-pseudoabdomen の高さ: 40–25  $\mu\text{m}$  (ave. 35  $\mu\text{m}$ , med. 37.5  $\mu\text{m}$ ; specimens 6; holo. 40  $\mu\text{m}$ );

pseudothorax の最大幅: 55–70  $\mu\text{m}$  (ave. 62.5  $\mu\text{m}$ , med. 62.5  $\mu\text{m}$ ; specimens 6); holo. 65  $\mu\text{m}$ ;

pseudoabdomen の高さ: 380–470  $\mu\text{m}$  (ave. 410  $\mu\text{m}$ , med. 432.5  $\mu\text{m}$ ; specimens 6; holo. 470  $\mu\text{m}$ );

pseudoabdomen の最大幅: 100  $\mu\text{m}$  (ave. 100  $\mu\text{m}$ , med. 100  $\mu\text{m}$ ; specimens 6; holo. 100  $\mu\text{m}$ ).

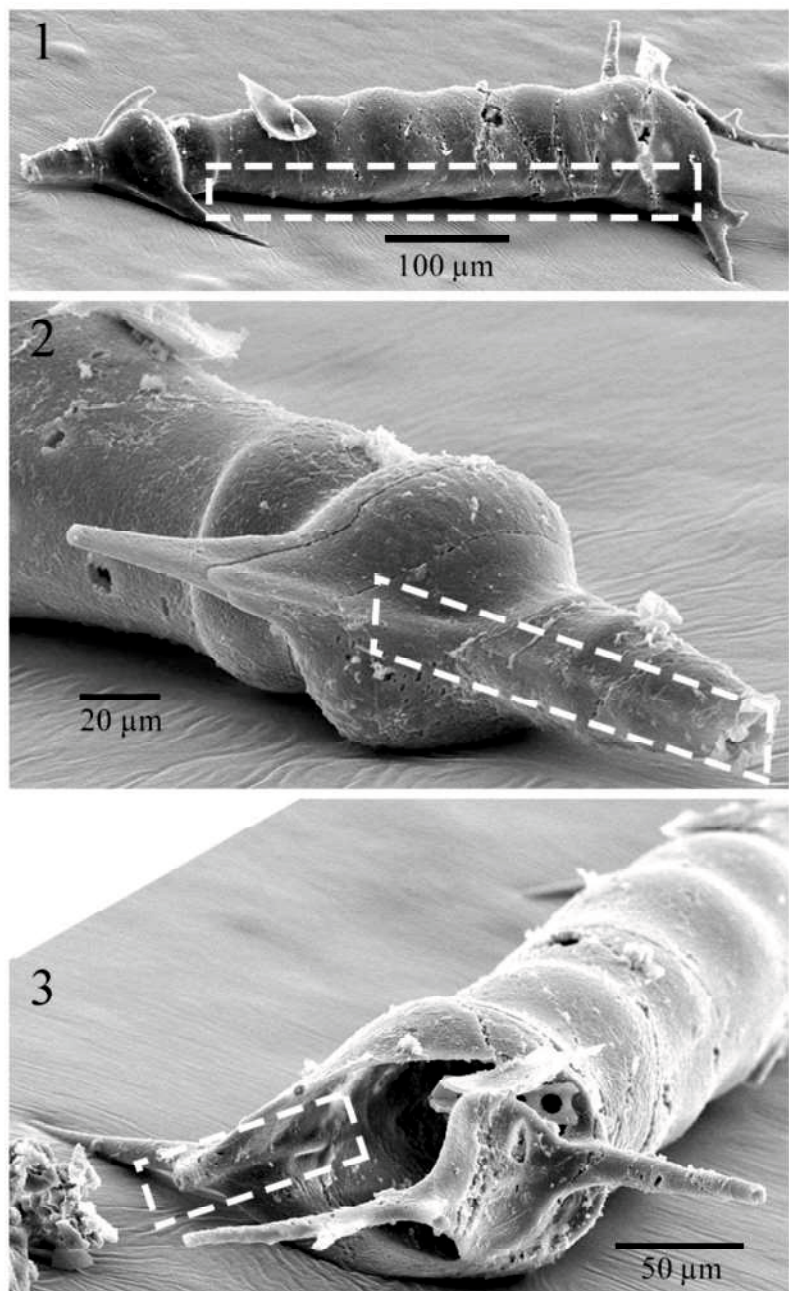
備考.——*Parafollicucullus babelis* sp. nov は長い pseudoabdomen によって他の *Parafollicucullus* の種と区別され, pseudoabdomen は pseudothorax の長さの 9 倍から 11 倍に達する。 *Parafollicucullus babelis* sp. nov. は長い pseudoabdomen を持つ点で *Parafollicucullus aidensis* と似ているが, *P. aidensis* は pseudothorax の 5~6 倍の長さであり, *P. babelis* sp. nov. と比べて *P. aidensis* の pseudoabdomen は短

い。

**語源**.——ラテン語の第3格変化属格单数語尾が单語の”Babel”に追加されている。 ”Babel”は天国に達するために立てたタワーの名である。

**タイプ標本**.——Holotype pl. 1, no. 1 (MPC-42178), paratype pl. 1, no. 2-4 (MPC-42179-42181).

**発生時期**.——おそらくローディアン期 (グアダルビアン期)。



第 19 図 様々な角度から撮影した *Parafollicucullus babelis* sp. nov. の SEM  
画像(Nakagawa and Wakita, [2020]).  
矢状面に沿った線構造が点線の枠内で観察できる。

*Parafollicucullus grandis* sp. nov.

pl. 2, no. 1-8

*Parafollicucullus* aff. *longicornis* Ishiga and Imoto, Spiller, 1996,  
p. 99, pl. 4.8

*Parafollicucullus* sp. B Nakagawa and Wakita, 中川・脇田, 2016a,  
p. 32, pl. 2, figs. 1-8.

**記相**.—*Parafollicucullus* は、 pseudoabdomen が culmina を持つ膨らんでいる構成であることが sagittal 側から観察できる。Dorsal wing には、垂直に伸びた pleat 構造がある (short form の wing にもこの構造が観察できる)。Pre-spseudoabdomen と pseudoabdomen の境界は、pre-pseudoabdomen が pseudoabdomen よりも薄いため、はっきりと認識できる。Culmina は、sagittal side から区別が可能である。

**記載**.—外殻は、apical cone、異なる形状の 2 つの wing を備えた 1 つの pseudothorax、1 つの pre-pseudoabdomen、2 つの flaps を備えた膨張した 1 つの pseudoabdomen、および 1 つないし 2 つの foot で構成される (第 14.1 図)。化石を apical cone の頂点側 (第 20.3 図) から観察すると、pseudothorax はほぼ円形 (sagittal plane の延長方向と coronal plane の延長方向の比率が約 9:10) であり、sagittal side から観察すると擬似腹部は扁平な橢円形 (sagittal plane の延長方向と coronal plane の延長方向の比率が約 7:10) である。“short from”的部分の dorsal と ventral の両方に sagittal に沿って縁(rim)が観察できる (第 20.1, 20.2 図)。Pseudoabdomen の ventral side に沿って縁(rim)が発達している (第 20.2 図)。外殻には全体を通して穴は開いていない (第 14 図)。Apical cone は円錐形で、先端が鋭利であり、culmina と crenellae によりわずかに波打ち、dorsal side にわずかに湾曲している (第 14 図)。Pseudothorax は、高さと幅の比が 1:2 の橢円体の pseudothoracic bulb と 2 つの wing で構成されている (第 14.1 図)。

Pseudothorax を front side または back side から観察すると、角が丸い長方形または台形に似ている（第 14.1 図）。Dorsal side と ventral side の両方の wing は sagittal plane にあり、ventral wing は dorsal wing よりも下に伸びる傾向がある（第 14 図）。Dorsal wing は”pleat”を形成することがある（第 14 図）。Ventral wing は、bulb の側面からわずかに上昇し規則的に下向きの方向に向かい、pseudoabdomen を横切ってアーチ状になる（第 14.1 図）。Basal skirt の ventral flap とほぼ直角に接続されており（pl. 2, no. 2），ロッド状の dorsal wing はさらに延長されて、pseudothoracic の開口部よりもさらにのびる（pl. 2, no. 2, 3）。Dorsal wing は水平に伸びている。これが dorsal flap と接続しているかどうかは不明である（第 20 図）。Pre-pseudoabdomen はカテノイドのような輪郭を示し、pre-pseudoabdominal junction はくびれ状の構造によってはっきりと特徴付けられている（第 14.1 図）。Pseudoabdomen は、basal skirt を含む 5 つの culmina で構成されている（第 14.2 図）。Culmina は、sagittal 側から観察するとある程度区別できるが（第 14.2 図）、front side からでは区別ができない（第 14.1 図）。Pseudoabdomen は、pre-pseudoabdomen junction の周囲で狭くなり、pseudoabdomen の上部で円錐形に変化し、pseudoabdomen の中央部でほぼ円筒形になり、basal skirt の上部で再び狭くなる（第 14 図）。最初の culmen は pseudoabdomen の円錐部分に対応し、2 番目から 4 番目の culmen は円筒部分に対応する。Crenellae は、不明瞭（pl. 2, no. 1, 4）であったり区別できたり（pl. 2, no. 6）さまざまである。Basal skirt は、1 つの分岐した dorsal flap、1 つの ventral flap、および 2～4 本の短いスペインのある湾曲した ventral foot に関連付けられている（第 15 図, pl. 2, no. 2）。Dorsal flap は sagittal plane 上で横方向に伸び、2 つのスペインに分岐し、1 本のスペインは下に伸びている。Ventral flap も sagittal plane 上で横方向に伸びており、ventral wing と接続する（第 15 図, pl. 2, no. 2）。Ventral foot は、sagittal plane 上で ventral side に

強く湾曲した円柱状のロッドである (pl. 4, no. 4). Ventral foot のバーティシル(棘状の構造)は, sagittal plane 上の ventral side に発生する (pl. 4, no. 4). Lingula および dorsal foot の有無は不明である.

#### 計測.—

殻全体の高さ (foot を除く) : 525–600  $\mu\text{m}$  (ave. 576.6  $\mu\text{m}$ , med. 590  $\mu\text{m}$ ; specimens 5; holo. 578  $\mu\text{m}$ );

apical cone の高さ: 70–100  $\mu\text{m}$  (ave. 88.3  $\mu\text{m}$ , med. 92.5  $\mu\text{m}$ ; specimens 6; holo. 100  $\mu\text{m}$ );

pseudothorax の高さ: 50–70  $\mu\text{m}$  (ave. 62  $\mu\text{m}$ , med. 65  $\mu\text{m}$ ; specimens 5; holo. 65  $\mu\text{m}$ );

pseudothorax の最大幅: 70–82  $\mu\text{m}$  (ave. 76  $\mu\text{m}$ , med. 78  $\mu\text{m}$ ; specimens 5; holo. 80  $\mu\text{m}$ );

pre-pseudoabdomen の高さ: 50–35  $\mu\text{m}$  (ave. 40.8  $\mu\text{m}$ , med. 40  $\mu\text{m}$ ; specimens 6; holo. 40  $\mu\text{m}$ );

pseudoabdomen の高さ: 410–450  $\mu\text{m}$  (ave. 428.75  $\mu\text{m}$ , med. 427.5  $\mu\text{m}$ ; specimens 4; holo. 410  $\mu\text{m}$ );

pseudoabdomen の最大幅: 180–190  $\mu\text{m}$  (ave. 183.3  $\mu\text{m}$ , med. 180  $\mu\text{m}$ ; specimens 6; holo. 180  $\mu\text{m}$ ).

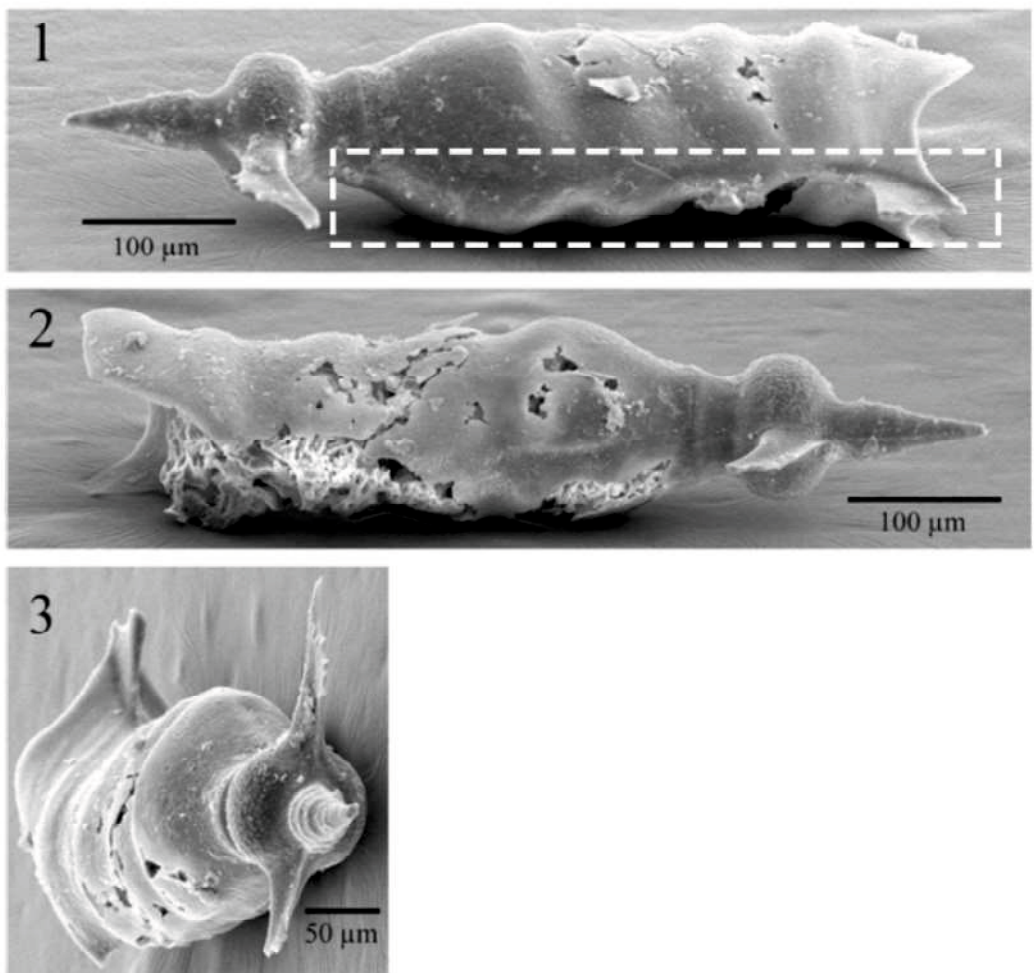
備考.—膨らんだ pseudoabdomen と pre-pseudoabdominal junction による明確な neck を有する *Parafollicucullus* 種は, *P. nanjingensis* (Sheng and Wang), *P. fusimoris* (Holdsworth and Jones), *P. corniculatus* (Rudenko and Panasenko), *P. ishigai* (Wang in Wang et al., 1994) および *P. convexus* (Rudenko および Panasenko) として識別される。しかし, *P. grandis* sp. nov. の pseudoabdomen の長さは 410 ~ 450  $\mu\text{m}$  であるのに対し, *P. nanjiensis* (Sheng and Wang, 1985) の長さは約 79 ~ 187  $\mu\text{m}$ , *P. fusimoris* (Holdsworth and Jones, 1980) の長さは約 116  $\mu\text{m}$  である。*P. grandis* sp. nov. と *P. convexus* は, pre-pseudoabdomen と pseudoabdomen の長さを合わせた長さと,

*pseudoabdomen* の最大幅が似ている。しかし、それらは *pseudoabdomen* の構造が異なる。前者には *pseudoabdomen* に *culmina* があり、後者にはない。*P. grandis* sp. nov. と *P. corniculatus* の *pseudoabdomen* には *culmina* があるが、*culmina* の数が異なる。前者には *pseudoabdomen* に 5 つの *culmina* があり、後者には 4 つある。*P. grandis* sp. nov., および *P. ishigai* は *pseudoabdomen* に類似した構造をもち、*pseudoabdomen* に 5 つの *culmina* がある。しかし、それらは *dorsak wing* の構造によって区別することができる。*P. grandis* sp. nov. は背側翼に *pleat* 構造を持っていますが、*P. ishigai* には *dorsal wing* に *pleat* 構造がない。

語源。——*P. grandis* sp. nov. の形は大きなサイズの形態を示す。“大きい”という意味を持つラテン語の形容詞を用いた。

タイプ標本。——Holotype pl. 2, no. 1 (MPC-42182), paratype pl. 2, no. 2, 4, 6 (MPC-42183–42185)。

発生時期。——おそらくローディアン期（グアダルピアン期）。



第 20 図 様々な角度から撮影した *Parafollicucullus grandis* sp. nov. の SEM  
画像(Nakagawa and Wakita, [2020]).  
矢状面に沿った線構造が点線の枠内で観察できる。

*Parafollicucullus* aff. *fusiformis*

pl. 3, no. 18

中川・脇田, 2016a, pl. 3, no. 18

**記載.**——外殻は, apical cone, wing を伴う pseudothorax, その開口部に 2 つのを伴う pseudoabdomen で構成されている。外殻の表面には穴の装飾はない。Apical cone には, culmen と crenella の構造はない。Dorsal side に湾曲している。Pseudothorax は, ventral と dorsal の両側にわずかに伸びる橢円形である。Wing は対称的な形態をしている。両側の wing は下向きに伸びており, pre-pseudoabdominal junction のあたりで下向きの要素が強くなる。Ventral side の wing は venral flap と接続し, さらにその下にわずかに延長する。Pseudothorax は pre-pseudoabdomen に接続され, pse-pseudoabdomen は pseudoabdomen に接続される。Pseudoabdomen は 1 つの culmen によって構成される。

**計測.**——

殻全体の高さ (foot を除く) : 330—360  $\mu\text{m}$  (av. 345  $\mu\text{m}$ ; specimens 2)

apical corn の高さ: 100  $\mu\text{m}$  (specimens 1)

pseudothorax の高さ: 50  $\mu\text{m}$  (av. 50  $\mu\text{m}$ ; specimens 2)

pseudothorax の最大幅: 65—70  $\mu\text{m}$  (av. 67.5  $\mu\text{m}$ ; specimens 2)

pseudoabdomen の高さ: 200—240  $\mu\text{m}$  (av. 220  $\mu\text{m}$ ; specimens 2)

pseudoabdomen の最大幅: 98—120  $\mu\text{m}$  (av. 109  $\mu\text{m}$ ; specimens 2)

*Parafollicucullus lanceolatus* Ishiga and Imoto

pl. 4, no. 3

*Parafolliucullus lanceolatus* Ishiga et al., 1982, pl. 2, no. 8-12

**記載.**——外殻は、 apical cone, wing を伴う pseudothorax, pseudoabdomen で構成されている。殻表面に穴の装飾はない。Apical cone は非常に長く、殻本体の約 3/4 の長さで、針状で、 culmen と crenella がなく、 ventral side に向かって緩やかに湾曲している。Pseudothoracic bulb のは dorsal と ventral の方向にわずかに伸びた橢円形である。Pseudothorax に付属する dorsal と ventral の 2 つの wing が水平に伸びており、遠位方向に先細りになっている。Pseudoabdomen は apical cone と比べて非常に短く、開口部でわずかに広がっている。

**計測.**——

殻全体の高さ (foot を除く) : 465  $\mu\text{m}$  (specimens 1)

apical corn の高さ : 325  $\mu\text{m}$  (specimens 1)

pseudothorax の高さ : 40  $\mu\text{m}$  (specimens 1)

pseudothorax の最大幅: 52 $\mu\text{m}$  (specimens 1)

pseudoabdomen の高さ : 100  $\mu\text{m}$  (specimens 1)

pseudoabdomen の最大幅: 70  $\mu\text{m}$  (specimens 1)

*Parafollicucullus yanaharensis* Nishimura and Ishiga

pl. 4, Figures 1,2

*Parafollicucullus yanaharensis* Nishimura and Ishiga, 1987, pl. 2, figs.

1-8.

記載.—外殻は、apical cone, pseudothorax および pseudoabdomen に明確に区別される。Apical cone は長く、殻全体の約 2/5 の長さで、culmen や crenella をによってわずかに波打ち、dorsal side にわずかに湾曲する。Pseudothoracic bulb はおおよそ球形に膨らんでいる。Pseudothorax の dorsal と ventral の両側に wing を持つ。Ventral wing は短く、dorsal wing は斜め下方向に伸びるが pre-pseudoabdominal junction からは水平方向に長く延長する。Pre-pseudoabdomen を持つが、pseudoabdomen はない。

計測.—

殻全体の高さ (foot を除く) : 240—300  $\mu\text{m}$  (av. 270  $\mu\text{m}$ ; specimens 2)

apical corn の高さ: 150—175  $\mu\text{m}$  (av. 162.5  $\mu\text{m}$ ; specimens 2)

pseudothorax の高さ: 55  $\mu\text{m}$  (av. 55  $\mu\text{m}$ ; specimens 2)

pseudoabdomen の最大幅: 52  $\mu\text{m}$  (specimens 1)

## I-5. 得られた新化石群集の意義

本研究で記載・報告した放散虫化石群集の希少性、産出した *Parafollicucullus* が持つ意義について以下に記す。

### I-5.1. 産出した放散虫化石群集の希少性

本研究で記載・報告した放散虫化石群集が示す年代は、近年の研究によって修正された放散虫生層序の年代に該当する (Aitchison et al., 2017; Xiao et al., 2018; Zhang et al., 2018)。さらに、これらの生層序が公開された後、北アメリカのペルム紀盆地地域の研究 (Nestell et al., 2019) でグアダルピア期の放散虫の相関問題が詳述され、すべての以前の研究のカングリアン期からウォーディアン期の年代指標が間違っていたことが証明された。この年代の年代指標の基準である放散虫化石生層序が近年まで曖昧であった理由には、該当する年代の放散虫化石の報告がそもそも少なく、かつ保存状態が良好な放散虫化石もほとんど報告されていなかったことがあげられる(第 21 図)。本研究で記載・報告した放散虫化石はカングリアン期からローディアン期という放散虫化石の研究が進んでいない年代に該当している。

このように放散虫化石群集の研究が世界的に欠如していた層準において、本研究が著しく保存状態のよい化石群集を解析し、新種記載を含めた群集構成の詳細を明らかにしたことは、今後の放散虫化石群集の進化系列を明らかにする上で、重要な成果である。

第21図 Nestle et al. (2019)による中期ペルム紀の放散虫化石層序

各地域の生層序が示されている。左から、アメリカのデラウェア州、西南日本、中国、南中国(1)、南中国(2)、南中国(3)の放散虫生層序が示されている。ローディアン(Roadian)期が本研究で産出した放散虫化石群集が示す年代である。先行研究では、ローディアン期を示す放散虫化石の研究が進んでいないことが分かる

### I-5.2. 産出した *Parafollicucullus* の重要性

古生代ペルム紀の地質年代を詳細に求める際 *Parafollicucullus* 属は重要な年代指標となる。古生代において放散虫化石以上に汎用性があり時間分解能に優れた示準化石はない。特に、ペルム紀の放散虫化石の中でも *Parafollicucullus* 属が含まれるアルバイレラ目はほかの放散虫化石と比べて短い年代期間で形態が様々に変化し、示準化石として優れている。また、世界各地から *Parafollicucullus* の報告があり、世界各地の地質年代を比べるために重要な指標である（アメリカ [Nestell et al., 2012], 南中国 [Feng and Ye, 1996; Wang and Yang, 2011], マレーシア [Basir and Zaiton, 2011], 日本 [Ishiga 1990; Xiao et al., 2018], チリ [Ling and Forsythe, 1987], シホテ・アリン [Rudenko and Panasenko, 1997], 北アメリカの西縁 [Blome and Reed, 1992]）。そのため、*Parafollicucullus* 属によって得られる詳細な化石帶の解明は、地質年代をもとにした地質構造発達史の編纂をより詳細にすることにつながる。

### I-5.3. *Parafollicucullus* 属の古生物学研究による新たな知見

本論文の第 I 部において、中期ペルム紀前期の放散虫化石である *Parafollicucullus* 属の古生物学研究の成果を述べてきた。本節では、本研究の成果の古生物学研究における意義を述べる。

本研究で記載・報告した放散虫化石は、それを含む地質の形成年代が中期ペルム紀前期のローディアン期であるという根拠は、Zhang et al. (2010) の研究によるものである。Zhang et al. (2010) では、「*Aalbaillella foremanae* がカングリアン期全体から初期のローディアン期まで」とし、本研究の対象となる他の *Parafollicucullus* 属の種が含まれていない。本研究で報告し、新たに記載した *Parafollicucullus* 属に含まれる化石群集は、*Aalbaillella foremanae* と共生していることから、世界的に見ても当時の化石生層序を編む上で重要な研究試料

である。

特に本研究で記載した *Parafollicucullus babelis* sp. nov. と *Parafollicucullus grandis* sp. nov. は、ほかの年代の *Parafollicucullus* 属の種と比べて極めて巨大である。*Parafollicucullus babelis* sp. nov. は全長が 1 mm 程もあり、*Parafollicucullus grandis* sp. nov. は pseudoabdomen の幅が 190 μm 程もある。

本研究で報告した化石群集は、マンガン炭酸塩岩から得られたため、世界の同時代の化石と比べて著しく保存がよい。このように著しく保存の良い化石試料は、*Parafollicucullus* の属の化石の微細構造の観察に適している。殻の厚さの違いや殻の多重構造、wing 下の空洞状構造は、先行研究で報告してきた泥岩やチャートから産する *Parafollicucullus* 属からではこれらの構造は観察できなかった。これらの構造が観察できたことで、先行研究で疑問とされてきた「なぜ *Parafollicucullus* 属の化石種は short form で産出することが多いのか？」という問い合わせに対して、殻の厚さに大きなギャップがあるという構造的な原因によって生じることを明らかにした。殻の多重構造からは、*Parafollicucullus* 属の殻の成長過程が推察でき、だんだんと殻の厚さを増していくように殻が成長していることが分かる。また、これまでには *Parafollicucullus* 属の pseudoabdomen にある開口部のみが、外部と化石内部をつなぐものとして認識されていたが、wing の下に空洞状の外部とのやりとりをする穴を本研究では観察ができた。これは *Parafollicucullus* 属の生態的な活動についても新たな知見を与える。

本研究では、保存のよい化石個体に対して微細構造を詳しく観察し、描画することで、化石個体の各部位を詳細に観察し、それぞれの部位に新たな名称を与えた。これまでの先行研究でも、*Parafollicucullus* 属の各部位の構造やパーツに対して名称が与えられ、それらをもとに記載がおこなわれている。しかし、それらの名称

の基本となる *Parafollicucullus* 属の個体は本研究で扱う *Parafollicucullus* 属の個体と比べて保存状態が悪い。そのため、各部位を区切る位置や各部位の定義が曖昧であった。

本研究では各部位の名称と定義を構造的な違いについて明確に記述し、名称の部位を図示することで今後の *Parafollicucullus* 属の記載を正確かつ画一的におこなうことを可能にした。このような詳細構造の観察と記載は、*Parafollicucullus* 属の化石の進化系列解明の研究において、重要な手がかりを与える。

## II. 放散虫化石の画像形態解析

本研究報告の第 II 部は、放散虫化石の画像解析である。第 I 部で記述してきた放散虫化石の研究過程で、明らかになった模式標本とそれに基づく化石同定過程の問題点を解決するために、コンピュータによる画像解析の手法を用い化石個体間の類似度を測定し、それらの数値から中央値的な形態を求めた。本論では、ペルム紀の放散虫化石を対象としている。本章で新たに提案するメディアンフォームの概念とメディアンフォームを求めるプロセスは、放散虫化石以外の化石に対しても有効な手段となる。

第 II 部でおこなう解析処理の対象は *Parafollicucullus globosus* である。第 I 部で扱った *Parafollicucullus* は中期ペルム紀前期の化石は第 2 図で示される通り化石自体の報告が少ない。そのため、中期ペルム紀前期に近い年代を示し、報告数が比較的多い *P. globosus* を画像解析の対象とした。

第 I 部の放散虫化石の研究の際、化石種を模式標本に基づいて同定するこれまでの手法に疑問が発生した。模式標本に基づく種の同定は、化石種だけではなく、全生物で行われている一般的かつ伝統的手法である。この問題を検討する前に、化石を含む生物を対象にした種の概念について、まず検討することにした。

### II-1. 全生物における種

生物学で最も一般的に扱われる種概念として Mayr による生物(整理)学的種概念 (Mayr, 1942) がある。生物学的種概念において種は、『互いに潜在的にあるいは実質的に交配可能な個体の集団の集まりであり、他の同様の集団とは生殖的に隔離されている』と考えられている。この生物学的種概念には、有性生殖生物にしか適応できないという問題点がある。つまり無性生殖生物や雑種起源の植物の種には適応できない。また、絶滅した種を扱う古生物学にも適応できない。

そこで、様々な種の概念が提唱され Mayden (1997) によると 22 以上が提唱されている（生物学的種概念；遺伝学的種概念；進化学的種概念；系統学的種概念；形態学的種概念；類型学的種概念など）。その中で例えば形態的種概念の、形態のみにもとづきその他の属性を考慮に入れないという考え方を適応した場合、個体発生上（受精卵が成体の形になる過程）や性的二形の形態的な違いにより種を区分することになり適切ではない。このように多数の種概念があるが全ての分野に適応可能な種概念は存在せず、つまり明確な種の定義は存在し得ないと言える。

日本の生物学分野においては、直海（2008）が「種とは“便宜的な分類単位”である」と述べ、また三中（2008）も「種問題を解決することは、そもそも不可能である」と述べている。このように生物学者であっても理想的な種概念はないであろうとする意見がある。

### II-1.2. 化石種における種

化石は先に説明した通り、生物学的種概念を適応することができない、また遺伝子情報も残ることは基本的でない。そのため形態的に分類することになる。しかし、形態的に種を決定することは化石特有なことでは無い。生物学的種概念では『潜在的にあるいは実質的に交配可能な個体の集団の集まり』と表現される通り交配が可能であろうと考える集団を種と呼ぶ（Mayr, 1942）。だが、全ての個体間で交配を行うことは実質的に不可能である。そのため生物学的種概念には“潜在的”という言葉が扱われている。つまり、ある程度は形態的に交配が可能そうな集団を同一種として扱う。

## II-2. 放散虫化石の形態解析と代表的形態の特定

化石の分類や記載は基本的に形態的特徴に基づいて行われる。生物の種名は、最初に新種を提唱した人が指定した1個（複数も可）の標本を基準とすることが、国際動物命名規約（日本分類学連合会、2005）で定められている。規約では、種名はその標本との比較によってのみ決定することが求められている。このような標本を”タイプ”と呼び、とくに一個の標本を指定されている場合は”ホロタイプ”（Holotype）と定義される。ホロタイプは一度定められたら恒久的に変更できない。また、ホロタイプの選定は命名著者に一任されることは客観性が担保されてるとは言えず、ホロタイプがその種の代表的な形態”であるとは必ずしも言えない。

その種の代表的な形態の個体を特定するには、ある程度の個体数が報告されている必要がある。これらの背景を受けて、ある生物種の実態を正確に把握するためには、種のホロタイプの設定後に、そのホロタイプを含む多数の個体群が報告された後に、ホロタイプがその種の代表的な形態としてふさわしいか確かめる必要がある。その際に”代表的形態”を客観的に求めることが必要であると考える。本論では、多くの個体の産出報告があるペルム紀放散虫化石（*Palafollicucullus globosus* [Ishiga and Imoto in Ishiga et al., 1982]）を対象にして、これまで報告された数多くの走査型電子顕微鏡画像に基づいて、客観的に代表的な形態を求めるために、画像解析プログラムを用いる方法を提案する（第22図）。

- 同一種として同定された化石種  
(この時点でホロタイプは決まっている)



- OpenCVによる類似度測定  
→ 中央値的形態を特定



- 化石群内での中中央値的形態とHolotypeの比較



第 22 図 画像解析の手順の概略図

同種と同定された放散虫化石の個体群を OpenCV を用いた画像解析によって総当たり的に類似度を求める。それを用いて代表的な形態（中央値的形態）を求めて、ホロタイプと比較検討する。

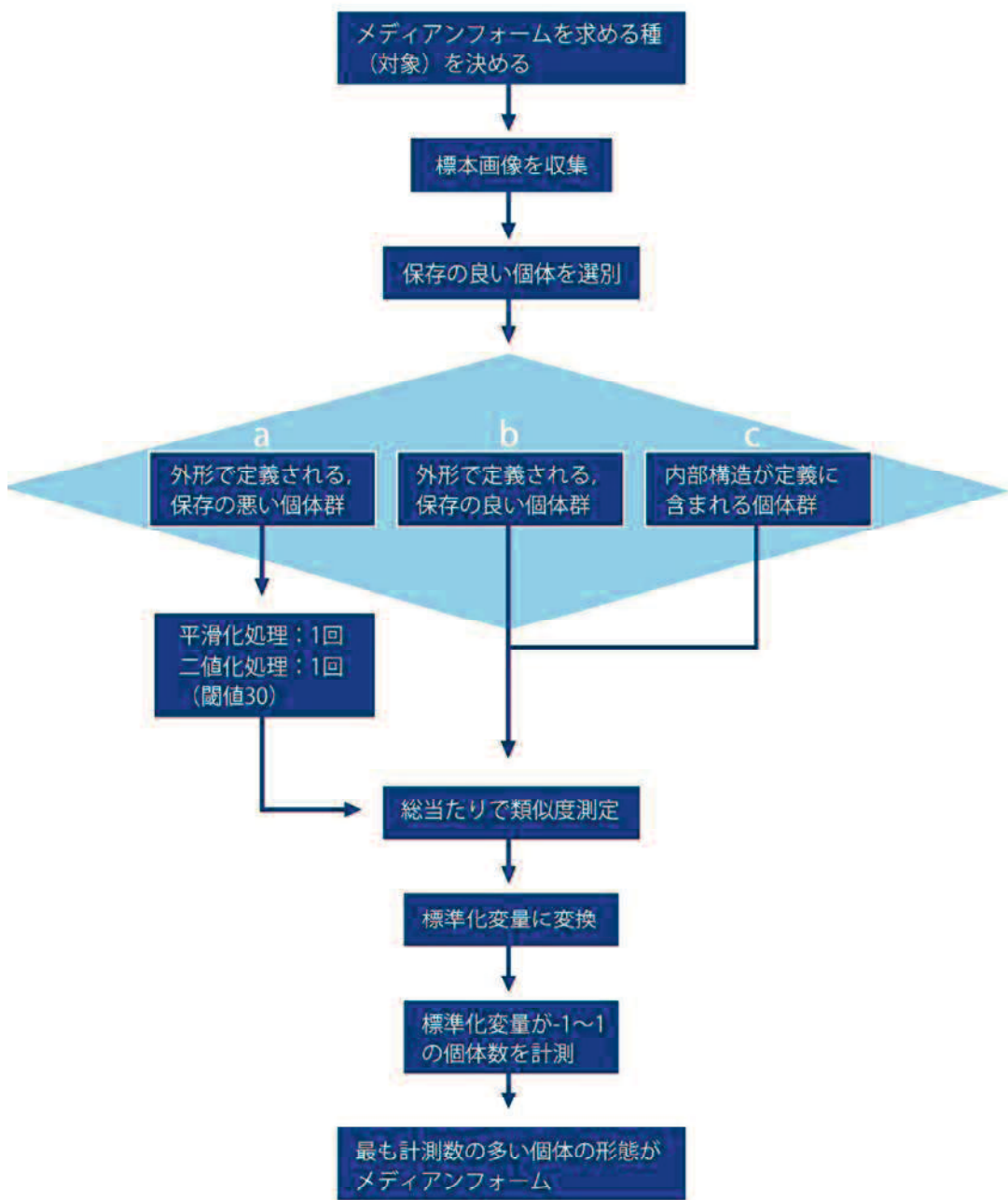
放散虫に対する画像解析プログラムを用いた近年の研究には、試料中に含まれる化石群を解析するものがあり、これは化石群を構成する個々の化石種を特定し、試料の年代を求めるために用いられている（産総研, 2018）。本研究でおこなう解析は、化石同士の形態的な差異を数値化することで、化石形態を定量的に判断しようとするものであり、これは新たな試みである。

種の代表的な形態とは、中央値的な形態こそがその種の代表的な形態であると考え、そのような形態をメディアンフォーム(中央値的形態：Median form)と呼ぶことを本論で新たに提唱する。このメディ

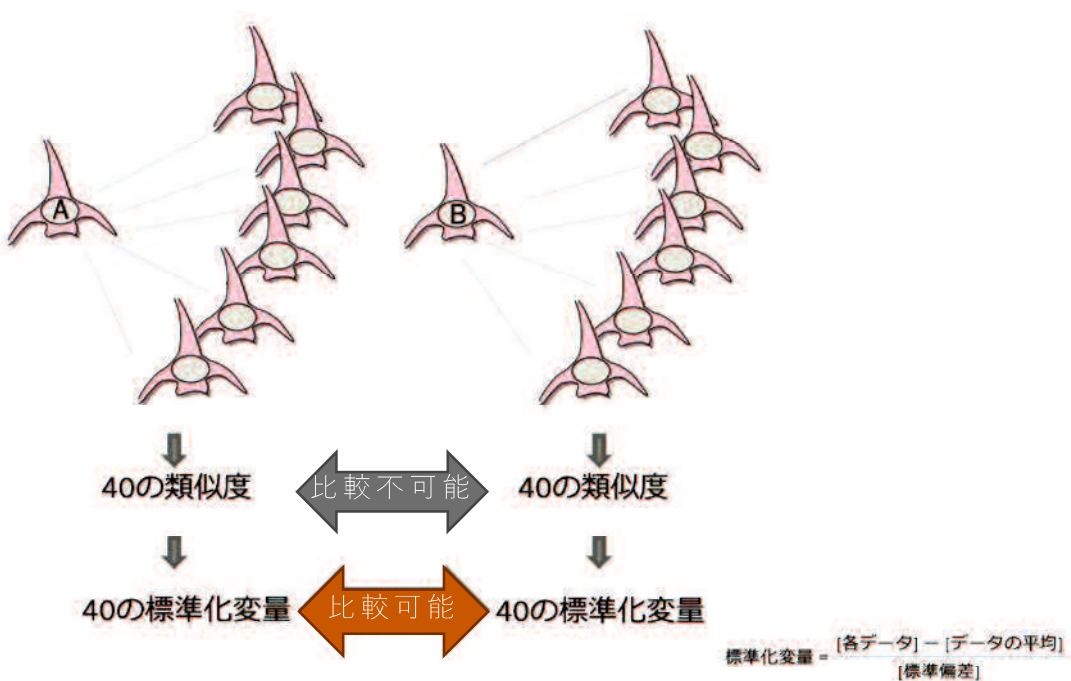
アンフォームをプログラムによる数値解析で求めるという概念を導入することで、ある生物種の代表的な形態と判断した根拠を明確に示すことが出来る。メディアンフォームを有する個体と、生物種の基準として扱われてきたホロタイプとのずれを定量的に示す一手法となりえる。懸念点としては、解析の結果から得られるメディアンフォームが、実際に代表的な形態であるかを確かめることが困難であること挙げられる。本研究では、化石外形の特徴をいくつかのポイントで実際に観察し、そこから推察される代表的な形態的特徴を挙げ、画像解析によって求められたメディアンフォームを合致するかを検討した。

## II-2.1. 画像比較によるメディアンフォーム特定の方法

メディアンフォームを求める為のプロセスとして第 23 図のフローチャートを提案する。まず代表的な形態を求めるために対象の化石種を決定したら、その種の標本の画像をできるだけ多く集める。標本画像の中から保存の良い個体を選別し、それら個体群を解析対象とする。画像解析をおこなう個体群が、画像解析をするうえで保存が悪く外形によって定義される化石種であれば測定の前処理としてフィルタリング処理をする。解析対象が画像解析に耐えられるであろう（変形度合いが小さく、ゴミなど化石表面の情報が少ない）保存の良い個体群であれば、そのまま画像間の類似度の測定をおこなう。化石種の代表的な形態であるメディアンフォームを客観的に求めるために、同一化石種とされる多数の個体群を総当たりで類似度を測定する。対象とする個体とその他全ての複数の個体との類似度を求め、それら類似度比較し、多くの個体と類似する個体を見つけることで、解析対象とした個体中で最もメディアンフォームに近い形態を持つ個体（スタンダードスペシメン）がどの個体であるかを判断する（第 22 図）。類似度の比較をおこなうために、個体ごとに得られた 40 の類似度は標準化変量に変換する（第 24 図）。



第 23 図 メディアンフォームを求めるフロー チャート



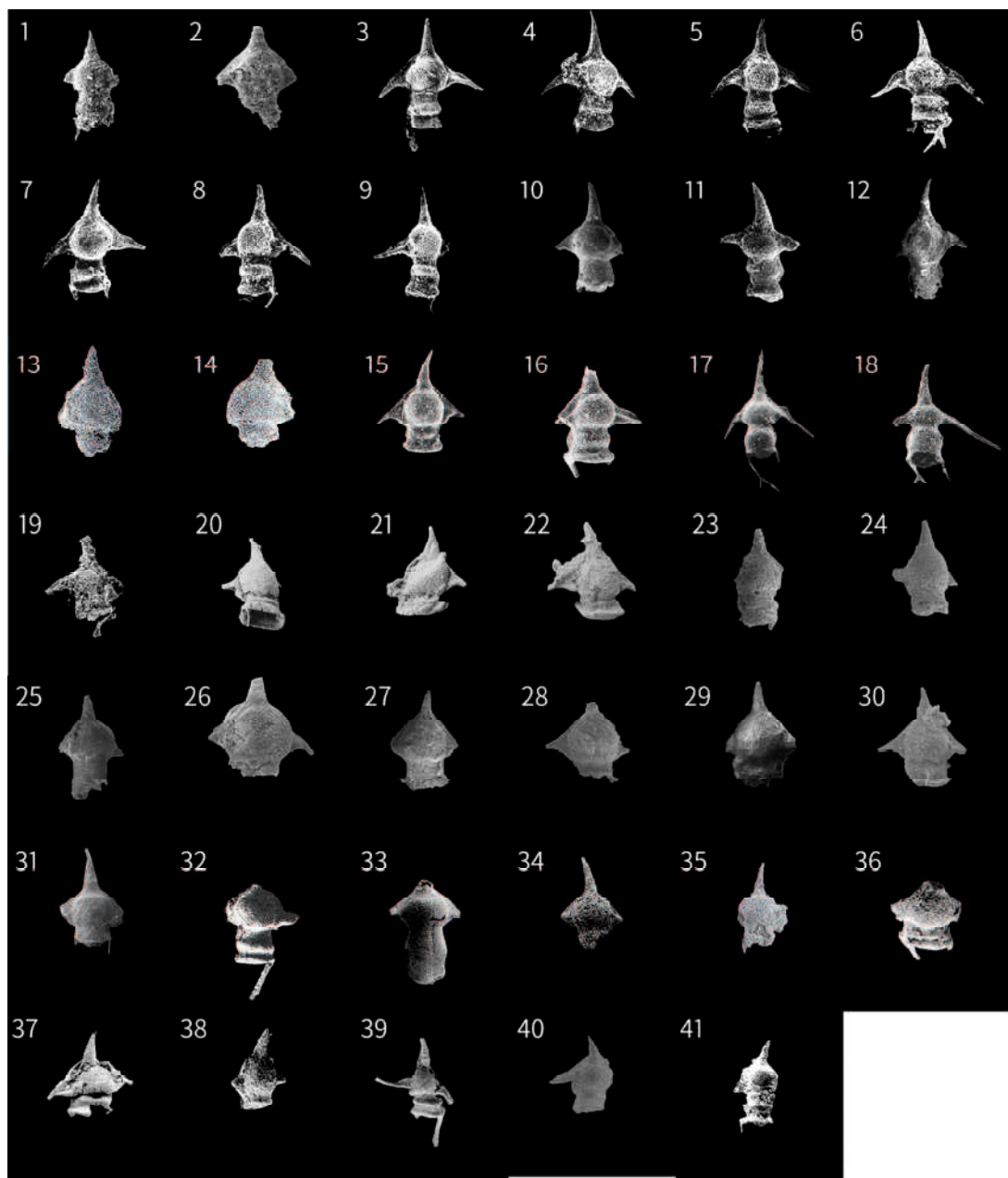
第 24 図 類似度から中央値的形態を得る概略図

OpenCV の画像解析により総当たり的に類似度を求め 40 の類似度がそれぞれの個体毎に得られる。類似度のままでは他の個体と比較ができないので、それを比較可能な数値にするために標準化変量へと変換する、

今回対象とする個体数は 41 個体である（第 25 図）。対象の 1 個体とその他 40 個体のそれぞれの類似度（40 の類似度のデータ）が得られる。この類似度の標準化変量をそれぞれ求める。求め方は、ある A の個体とその他 40 個体との類似度データ 40 個（a<sub>1</sub>~a<sub>40</sub>）があるとき、この類似度のデータの平均値(ave)と標準偏差（x）を求める。各類似度のデータ（a<sub>1</sub>~a<sub>40</sub>）をデータの平均値（ave）から標準偏差（s）の何倍離れているかという値（標準化変量[z]）を用いることで、各データの比較が可能になる（第 23 図）。

$$z(\text{標準化変量}) = \frac{a_1(\text{各データ}) - ave(\text{平均値})}{s(\text{標準偏差})}$$

このようにして得られた標準化変量の全データ（付録 1）はおおよそ -3~3 の範囲に収まる。本研究では代表的な形態を求めるために、多くの個体と類似している個体を求める。そのため -1~1 の範囲を設定しこの範囲に収まる個体の数を用いることで各個体を比べ、その数が多い個体が代表的な形態であると判断することとした。



第 25 図 画像解析の対象とした 41 個体の *Parafollicucullus globosus*.

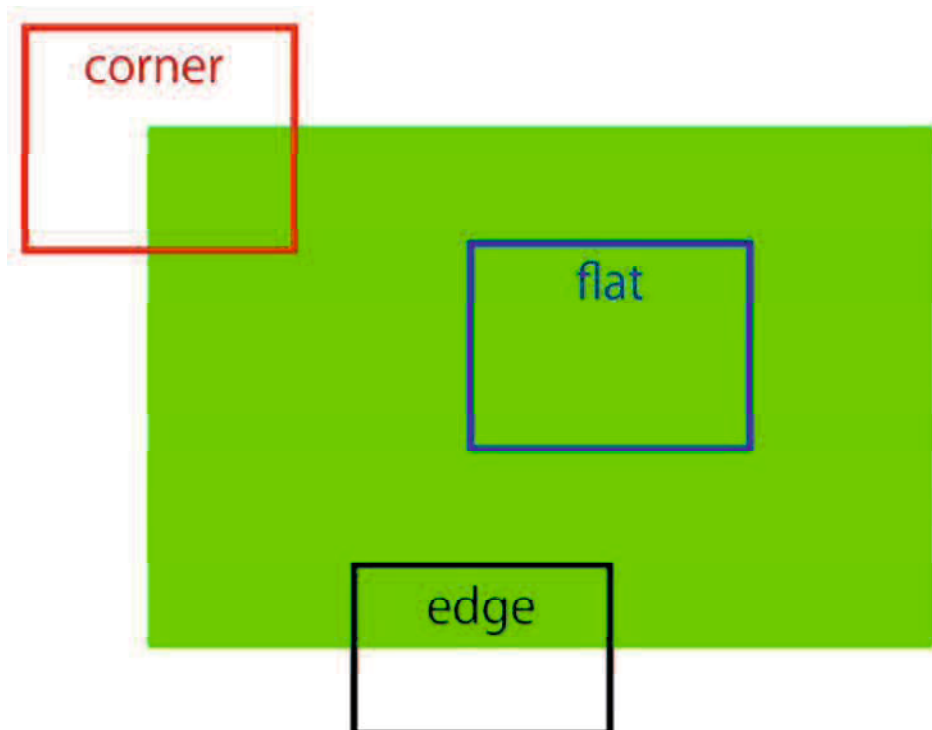
## II-2.2.画像処理ライブラリ OpenCV

本研究では種の代表的な形態はその種の中央値的形態とし、中央値的形態を有するメディアンフォームを客観的に求めるために、OpenCV を用いる。かつて Intel 社が開発・公開し、Willow Garage 社と itseez 社を経て、現在では Intel がまた開発を行っている。OpenCV のマニュアルの日本語訳やサンプルコードは OpenCV.jp で提供されている（OpenCV.jp, 2019）。OpenCV はオープンソースのコンピュータビジョン（画像や動画）と機械学習のライブラリである。コンピュータビジョンにおいて基本的な処理から最新のアルゴリズムまでが関数としてライブラリ化されている。OpenCV は Windows, Linux, Android および MacOS のプラットフォームをカバーしており、2500 以上のアルゴリズムが含まれる。オープンソース（無料）で豊富な処理がライブラリ化されており、かつ主要な OS 上で動作することは、様々な研究環境下でも同様の処理を可能にする。これは、OpenCV を用いた Median form の測定が様々な研究機関でも可能であることを意味する。

OpenCV を扱う際に、画像処理に必要な多くがライブラリ化（関数がセットになっている）されているため、ソースコード記述に要する時間も大幅に短縮され、大きなメリットとなる。

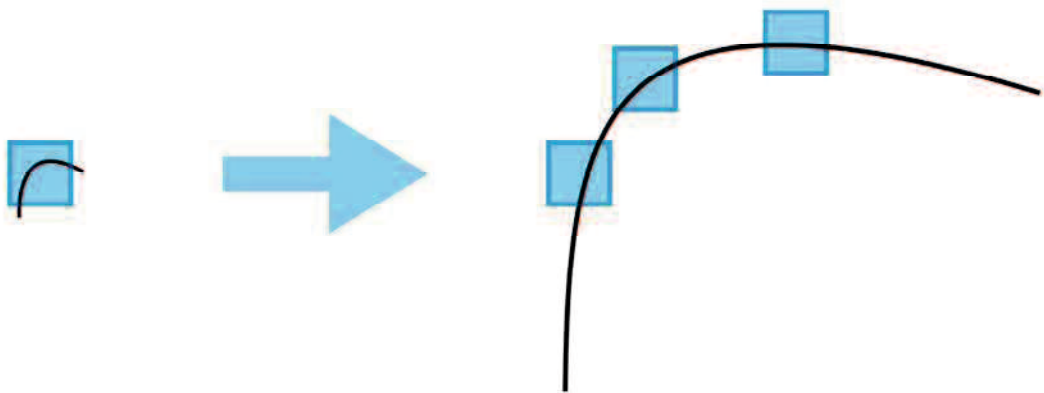
### II-2.3. OpenCV による特徴点比較からもとめる類似度

開発環境は Python を用いる。特徴点マッチングは画像の特徴的なポイントいわゆる特徴点、およびその見た目から算出される特徴量記述子を登録し、比較対象の特徴点と対応づけをする。特徴点とは画像を見たときに判別のしやすい、ある物体の見た目を特徴付ける点である。基本的に線分の端点やその周辺が特徴点として検出される。つまり、特徴点は画像中の小領域を見て、その周囲の領域で微小な移動を加えた時に最大の分散を示す領域と定義される。具体的にいうと corner という角が含まれるような点が特徴点として認識される。corner は全方向に対して画素値の大きな変化が観測される領域である。edge は差異が認識できる境界がある部分であり、特徴がなにも認識されない箇所は flat とされる（第 26 図）。



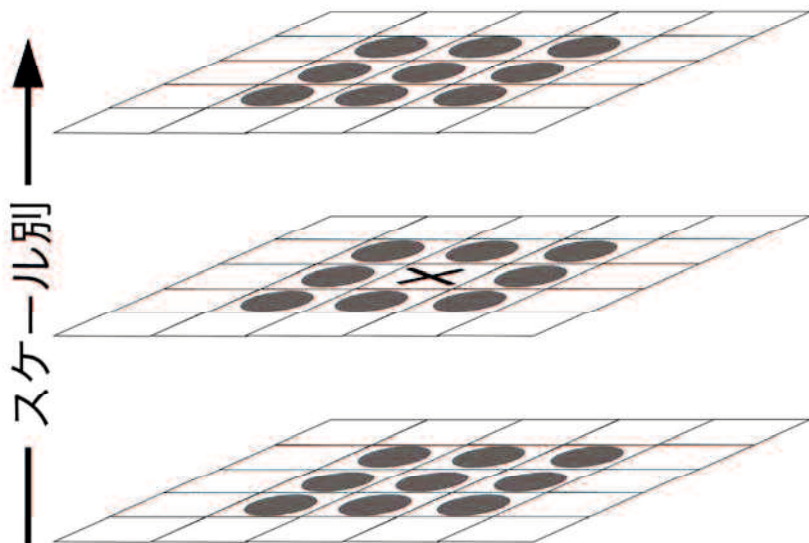
第 26 図 画像解析における 3 形態 edge, corner, flat の図  
(OpenCV-Python 特徴点の理解, 2019).

この特徴点を求める関数として様々な方法が提案されてきた。その1つに Harris Corner Detector が提案されている (Harris and Stephens, 1988)。Harris Corner Detector は画像のスケールの変動によって異なる特徴点が検出されてしまうことがデメリットであった (第 27 図)。その後、Lowe (2004) が提案した SIFT アルゴリズムは解析対象の画像を複数回の平滑化 (ガウシアンフィルタ) をおこない平滑度合いの違う画像を複数作成することで、スケール不変の特徴点検出を可能にした。この SIFT のアルゴリズムをベースにして高速化を図った AKAZE が提案された (Alcantarilla, 2013)。本研究で使用するアルゴリズムは AKAZE である。上記に述べたように、AKAZE は、SIFT と同様に、解析対象の画像を複数回の平滑化 (ガウシアンフィルタ) をおこない平滑度合いの違う画像を複数作成する。これらのフィルタリング処理を施した画像から特徴点 (Corner) を検出することで、様々なスケールで特徴点となる箇所が得られる。そして、スケールと空間にわたって画像上の局所的極値を得るために、ある 1 ピクセルをその近傍の 8 ピクセルとスケールの上段階と下段階の画像からのそれぞれ 9 ピクセルとを比較する (第 28 図)。もし、対象の 1 ピクセルが局所的極値であれば特徴点の候補となる。ここから、エッジ上の点か、コントラストが低い領域の点かを基準としてふるいにかけ、残ったものを特徴点とする。また、特徴点の向きを計算することで画像の回転に対して不变性を持たせる。



第 27 図 スケール変化による corner の検出結果の変化のイメージ.

左の図では corner のが認識されているが、拡大した右の図では corner ではなくなる (OpenCV-Python SIFT の導入, 2019).

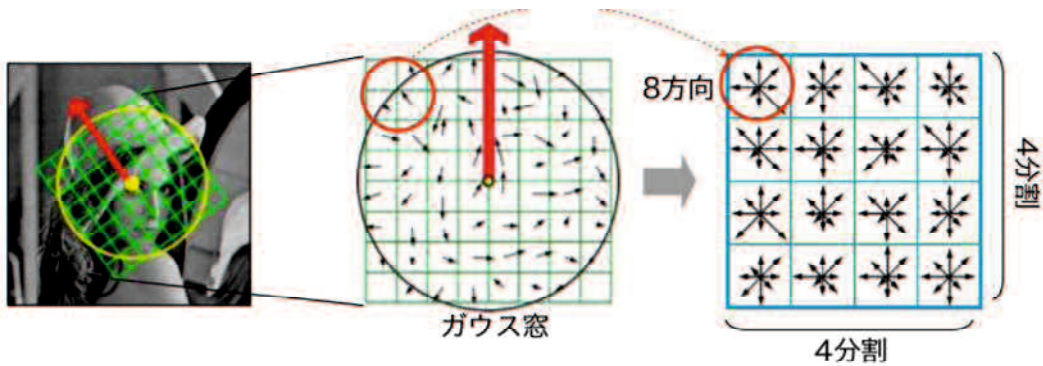


第 28 図 特徴点の検出のイメージ.

スケール階層の違う別の解像度と比較する。周囲のピクセルが持つ輝度が局所的な値を示す箇所を検出し、特徴点として検出するイメージ図.

(OpenCV-Python SIFT の導入, 2019).

検出された特徴点とその周辺がどのような性質を持つのかを記述するのが、特微量記述子である。特微量記述子についても、様々な計算方法が提案されている。最も単純には特徴点の周囲の輝度値そのまま特微量記述子とする方法がある。近年では、周辺の輝度情報を、計算の効率化や画像スケールの変化・回転・ノイズへのロバスト性(頑健性)向上を目指してコーディングする特微量記述子が提案されている(OpenCV-Python SURF の紹介, 2019)。SIFTによる特微量記述子の計算では、まず特徴点の周辺の  $16 \times 16$  個の領域を取り出し、それらをさらに  $4 \times 4$  のサイズの 16 個の小ブロックに分けていく。そして、それぞれの小ブロックで 8 個のビンによる勾配ヒストグラムを作る(第 29 図)。これらの処理で 128 個の値が得られ、それらをベクトルで表現したものを特微量記述子とする。AKAZE では、Modified-Local Difference Binary (M-LDB) という独自の特微量記述子を使用し、ピラミッド構造の計算の高速化を図っている。2 つの画像の類似度を測定するとき、特徴点と特微量記述子によって対応する特徴点がマッチングされ、それぞれの特微量記述子の特徴空間上でベクトルの距離の大きさの違いによって類似度が算出される。

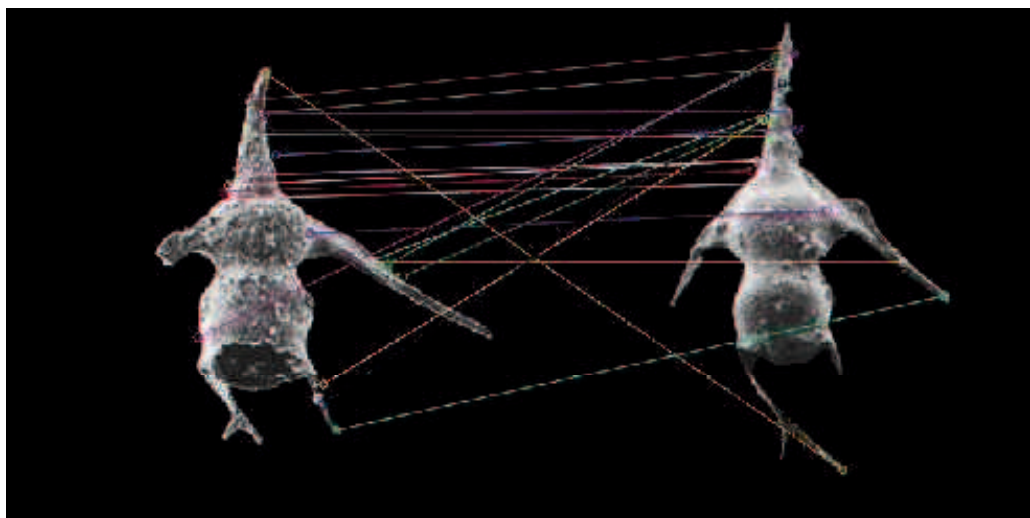


第 29 図 特微量記述子の構造.

検出された特徴点を基準として周囲のベクトルがどちらにどのくらいの大きさを持つかを測定し、それらを大まかに区切ったブロックで集計し、ベクトルのヒストグラムを作る。特徴点周辺のヒストグラムの様子が似ている似ている特徴点同志がマッチングされる(藤吉, 2013)。

#### II-2.4.類似度の精度向上

化石種の特定・同定の基準は、化石種によって異なっている。今回対象としているペルム紀放散虫の化石種である *Palafollicucullusus globosus* は、主に外形によって種の区別が行われる。放散虫化石は一般に 100-1000  $\mu\text{m}$  以下の微小な化石であるため、露頭から採取した岩石を粉碎し、研究室に戻って塩酸などの化学薬品などで個体抽出したのち、走査型電子顕微鏡で観察・撮影する。得られた画像に基づいて、化石の観察・同定を行うのが一般的である。化石表面の殻の保存状態は様々であり、表面にゴミや異物が付着したり、化石の一部が欠損することがある。そのため放散虫化石の特徴点マッチングを行う際、電子顕微鏡で撮影した画像をそのまま用いると放散虫化石の形態以外の要素を特徴点として認識して、マッチング作業を行ってしまい正確なマッチングができない（第 30 図）。放散虫化石の外の部分で、同様のパーツやその周辺をマッチングさせるためにいくつかの方法を試みた。



第 30 図 画像処理無しの放散虫化石の SEM 画像のマッチング。

明らかに異なったパーツ同士のマッチングがいくつか見られる。

#### II-2.4.1. 座標を絞る

特徴点マッチングを行う際、対応される特徴点の箇所として、全く異なったパート同士がマッチングされることがある。このミスマッチを完全に防ぐことは難しいが、その割合を減らすために、座標によりデータを選別することを試みた。まずマッチングされた特徴点同士の座標を取得する。縦軸と横軸の座標の差をそれぞれ求め、差が大きな値を示す時そのマッチングの結果は類似度の算出には加えないこととする。この処理を挟むことで、全く異なったパート通しのマッチングを減らすことができると考えた。この手法は比較する放散虫化石の画像が同スケールで同じ大きさの画像同士であることが前提条件である。

しかし、この手法には問題点がいくつかある。まず全ての画像をプレート上で同程度の位置に配置しなければいけない。その配置を行う際の基準をどこにするのかによって算出される類似度の結果が大きく変わってしまう。例を挙げると、*Parafollicucullus globosus* の apical corn の先端を基準にして化石を配置した時と foot の先端の位置を基準にして化石を配置した時の類似度が異なる。また、成体と幼体で比較した時に対応する同じパートの座標が離れてしまうと考えられる。こうした場合、特徴点同士が類似していてもそのデータが省かれてしまうことになる。

#### II-2.4.2. フィルタリング処理（平滑処理）

*Palafollicucullusu globosus* は、主に外形によって種の区別が行われるため、化石表面の凹凸をなくし外形を際立たせるフィルタリング処理を試みた。OpenCV にはいくつかのフィルタリング処理のためのモジュール（関数式）が用意されていて、かつそれらのフィルタリング処理の度合いを任意で設定することができる。使用したのはガウシアンフィルタとバイラテラルフィルタである。ガウシアンフィル

タは画像表面の平滑化のために使用する。バイラテラルフィルタは、一般的にはエッジまでぼかしてしまうフィルタリング処理とは異なり、エッジを保存しながら画像をぼかすことができる。デメリットとして処理速度が遅くなる点が挙げられる。ガウシアンフィルタは注目がその近傍領域に対して重み付け平均した値を出力する。これはガウシアンフィルタが注目画素の近傍の画素のみを考慮した関数であることを意味する。近傍領域内の画素が似たような値を持っているか否か、注目画素がエッジ上に存在するか否かなどは考慮されず、結果としてガウシアンフィルタはエッジを劣化させてしまう。バイラテラルフィルタも同様にガウシアンフィルタを使用するが、画素値の差を考慮した関数として別のガウシアンフィルタも同時に使用している。1つ目のガウシアンフィルタはフィルタリングに使用する画素は”空間的に近い位置にある”ことを考慮し、一方で2つ目のガウシアンフィルタは注目画素に似た画素値を持つ画素の値のみを考慮してフィルタリングする。結果としてバイラテラルフィルタはエッジを保存した画像のぼかしを実現できている。

第 31 図は、これらのフィルタリング処理を様々な度合いで試みた結果を示している。

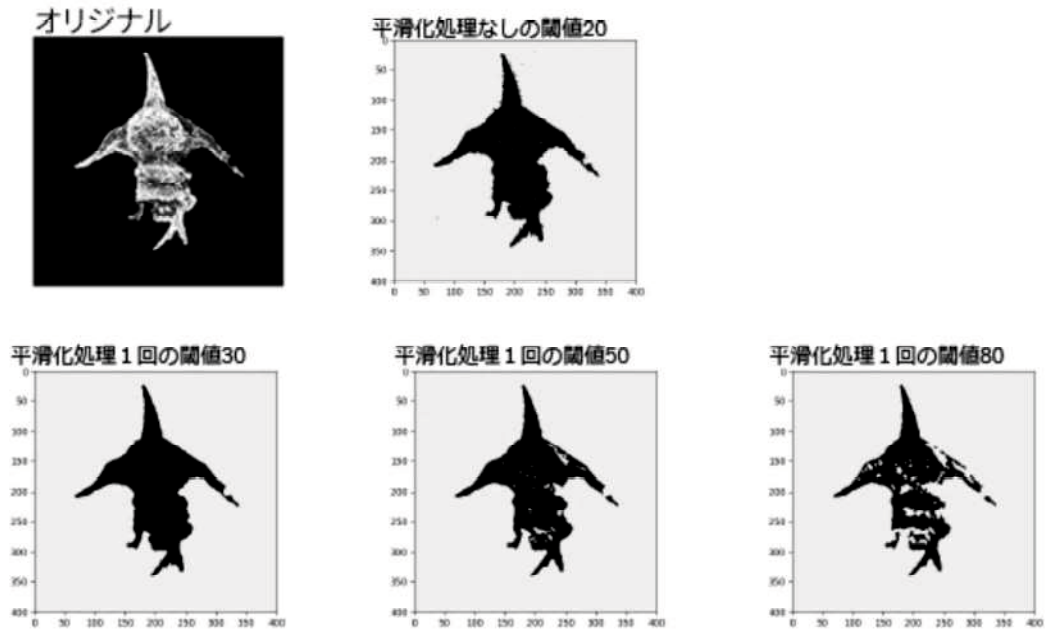
これらのフィルタリング処理には問題点として以下が挙げられる。これらフィルタリング処理によって化石表面を平滑にして、かつ化石の外形の細かな情報を維持することが基本的に困難であること。また、あるフィルタリング条件を見出したとしてもその条件が化石それぞれが持つ全ての保存状態に対して有効にはならずフィルタリングの処理を個別に調整しなければならないことがある。これらは研究結果の再現性を困難にする要因になり、汎用性の面から見ても不適当であると考えられる。



第 31 図 フィルタリングの種類と回数を変えた結果得られた SEM 画像。

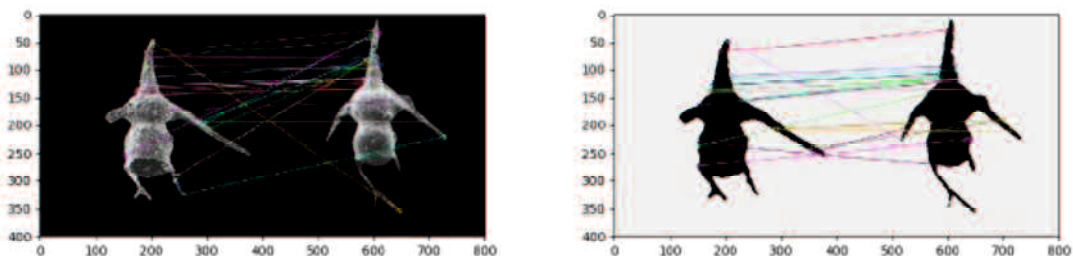
#### II-2.4.3. フィルタリング処理（二値化）

そこで、本研究では、このような保存状態によって特徴点が誤って検出される問題に対して、二値化フィルタリング処理を施すこととした。二値化処理は閾値を 30 とし、閾値以上の部分は 0（黒）、閾値以下を 240（白）とする処理の設定をした（第 32 図）。また、二値化した画像にノイズが入らないように、二値化フィルタ処理の前に中央値フィルタによって平滑化処理を行った（第 32 図）。この処理は細かなフィルタリングのパラメーターの設定が不要であり、他のフィルタリング処理に比べて汎用性に優れている。また、完全に化石表面の凹凸の情報が無く、外形による化石の類似度測定をおこなう上で、無駄な要素が十分に少ない状態になっている。第 32 図から分かるように、画像処理無しの場合のマッチングと比べて二値化処理を行った画像のマッチングはミスマッチが少なくなっている（第 33 図）、精度向上につながっていると考えられる。



第 32 図 さまざまな二値化処理を施した放散虫化石の画像.

上段左の図が処理を施していないオリジナルの SEM 画像. 上段右側が平滑化処理をせず閾値 20 の二値化処理を行った画像. 下段は全て 1 回の平滑化処理を行った後に、左の図から閾値 30, 50, 80 の二値化処理を施した画像. 下段左の平滑化処理 1 回で閾値 30 の二値化処理の画像が、化石表面の情報がなく、かつ、外形の情報を維持しており、もっとも放散虫化石のマッチングに適している.



第 33 図 処理無しと二値化処理の SEM 画像のマッチング比較

左の画像処理を施していない画像によるマッチングはミスマッチが散見される. 右の二値化処理を施した画像によるマッチングは左のオリジナルの SEM 画像のマッチングと比べてミスマッチが少ない.

## II-2.5.類似度測定プログラム

本研究でプログラミングした Python によるソースコードを第 34 図に示した（以下の行番号は第 33 図のプログラムコードのものである）。

- 1 行目から 4 行目で使用するライブラリを読み込む。
- 7 行目で対象とする化石個体のファイルを TARGET\_FILE に代入する。
- 8 行目で読み込むファイルがあるコンピュータ上のパスを指定する。
- 9 行目で画像サイズ（400 ピクセル×400 ピクセル）を指定する。
- 11 行目で画像ファイルを読み込む。
- 12 行目で指定した画像サイズ（400 ピクセル×400 ピクセル）に、対象とする化石個体のファイルを変換する。
- 15 行目で対象の画像を中央値フィルタにより平滑化する。
- 18 行目で対象の画像を二値化する。
- 20 行目でマッチングで使用する bf を定義する。
- 23 行目でマッチングで使用するアルゴリズムを AKAZE に指定する。
- 26 行目で対象とする画像の特徴量記述子を求める。
- 31 行目から 36 行目で比較する画像を指定したフォルダから 1 つずつ取り出し以下の操作を行う。
- 39 行目で取り出した比較する画像ファイルを読み込む
- 40 行目で取り出した比較する画像ファイルを指定した画像サイズ（400 ピクセル×400 ピクセル）に変換する。
- 43 行目で比較する画像を中央値フィルタにより平滑化する。
- 46 行目で比較する画像を二値化する。
- 49 行目で対象とする画像の特徴量記述子を求める。
- 52 行目で特徴点マッチングを行う。

55 行目で特徴点マッチングにより得られた特徴点同士の特微量空間での距離（どのくらい離れているか）を求める。

56 行目で特微量空間での距離をマッチングされた数で割り、平均してどれほどずれているかを算出する。

65 行目で類似度を出力する。

```

1 import cv2
2 import os
3 import numpy as np
4 import matplotlib.pyplot as plt
5
6 # 比較対象の化石名をTARGET_FILEに入力
7 TARGET_FILE = '1.jpg'
8 IMG_DIR = os.path.abspath(os.path.dirname(__file__)) + '/folder0/'
9 IMG_SIZE = (400,400)
10 target_img_path = IMG_DIR + TARGET_FILE
11 target_img = cv2.imread(target_img_path)
12 target_img = cv2.resize(target_img, IMG_SIZE)
13
14 # ターゲットの画像の中央値フィルタ
15 target_img = cv2.medianBlur(target_img,5)
16
17 # ターゲットの画像の二値化
18 target_img = cv2.threshold(target_img, 30, 240, cv2.THRESH_BINARY_INV)[1]
19
20 # bfを定義
21 bf = cv2.BFMatcher.create(cv2.NORM_HAMMING, crossCheck=True)
22
23 # 検出器としてAKAZEのアルゴリズムを使う
24 detector = cv2.AKAZE_create()
25
26 # ここでターゲットの記述子を求めている
27 (target_kp, target_des) = detector.detectAndCompute(target_img, None)
28
29 print('%s' % (TARGET_FILE))
30
31 files = os.listdir(IMG_DIR)
32 for file in files:
33     if file == '.DS_Store' or file == TARGET_FILE:
34         continue
35
36     comparing_img_path = IMG_DIR + file
37     try:
38         # 比較する画像を順番に読み込む
39         comparing_img = cv2.imread(comparing_img_path)
40         comparing_img = cv2.resize(comparing_img, IMG_SIZE)
41
42         # 比較する画像を中央値フィルタ
43         comparing_img = cv2.medianBlur(comparing_img,5)
44
45         # 比較する画像を画像の二値化
46         comparing_img = cv2.threshold(comparing_img, 30, 240, cv2.THRESH_BINARY_INV)[1]
47
48         # ここで比較する画像の記述子を求めている
49         (comparing_kp, comparing_des) = detector.detectAndCompute(comparing_img, None)
50
51         # 特徴点マッチングを行う
52         matches = bf.match(target_des, comparing_des)
53
54         # マッチングした特徴量空間での距離を求める
55         dist = [m.distance for m in matches]
56
57         # 距離から類似度を算出する
58         ret = sum(dist) / len(dist)
59
60     except cv2.error:
61         ret = 10000
62     except ZeroDivisionError:
63         print("ZeroDivisionError!")
64
65     # 類似度を出力
66     print(file, ret)
67

```

第 34 図 画像解析による類似度を算出するプログラムコード。

プログラム言語の Python により作成している。

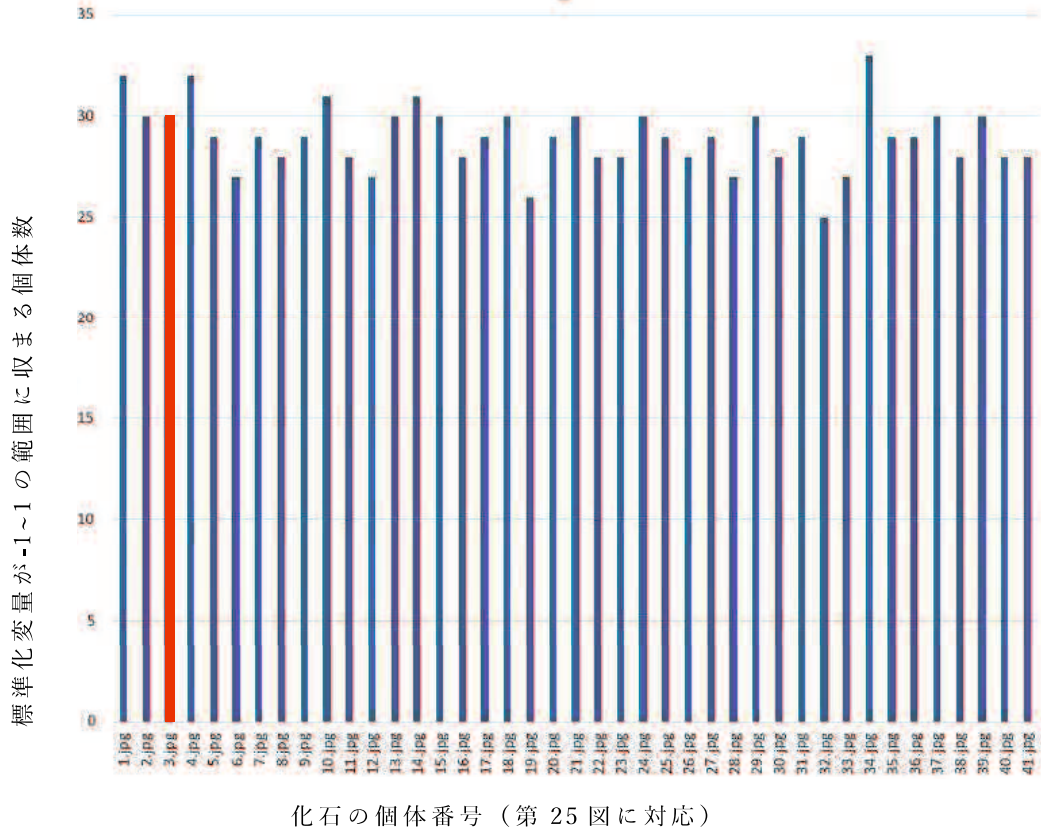
### II-2.6.1.全化石個体による類似度測定の解析結果

画像解析プログラムにより総当たり的に類似度を求め標準化変量を求めた。それぞれのデータから得られた標準化変量をの内、-1~1に収まる個体数をカウントし、そのカウント数が多い個体をメディアンフォームとして求める。

$$z(\text{標準化変量}) = \frac{a1(\text{各データ}) - ave(\text{平均値})}{s(\text{標準偏差})}$$

OpenCV による特徴点マッチングに基づいて得られた類似度の標準化変量が-1~1 の範囲に収まる個体数をそれぞれの個体ごとに比較した棒グラフを第 35 図に示す。類似している個体が多い個体が代表的な形態（メディアンフォーム）であると判断される。

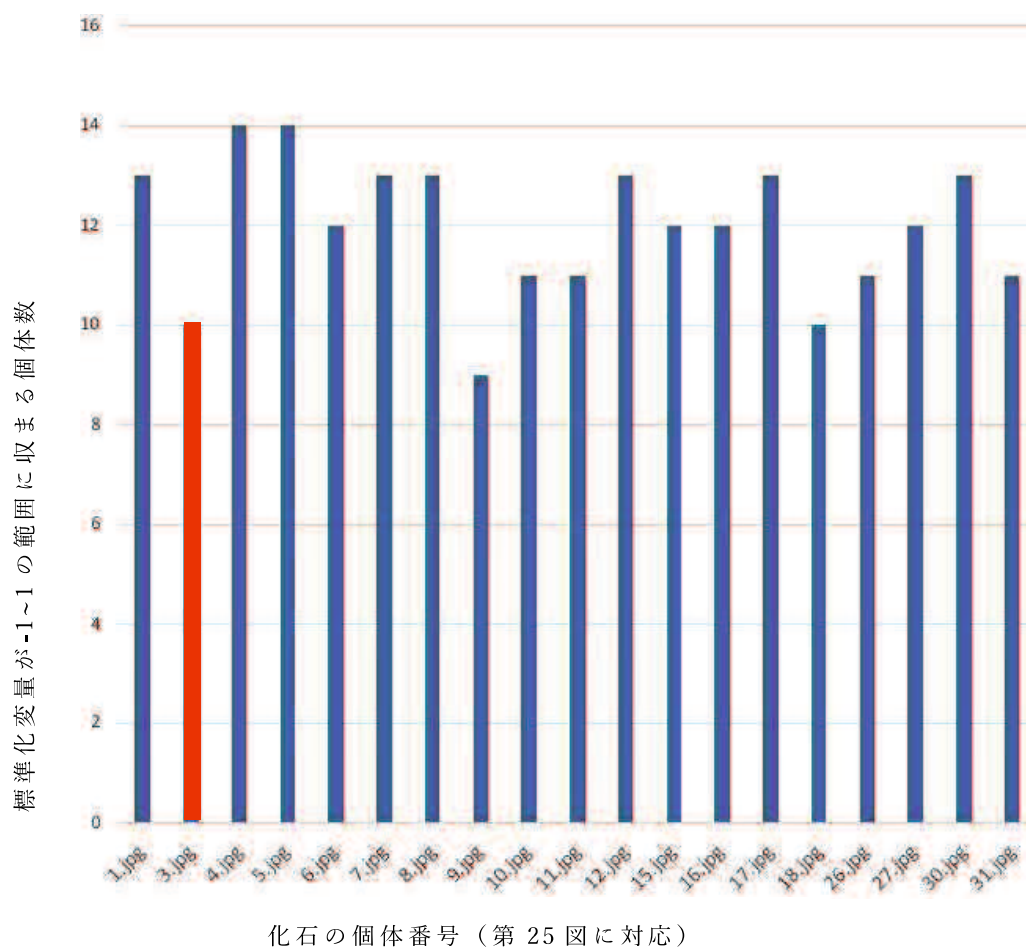
標準化変量の値が-1~1 の範囲に収まる個体の数は No. 34 の 33 個体が最も多い。次に多かったのが 32 個体の No.1 と 4 である。類似度の標準化変量からこれらの個体が代表的な形態であると判断される。また、標準化変量が-1~1 の範囲に収まる個体数が少なかったのは No.32 の 25 個体、No.19 の 26 個体であった（第 35 図）。



第 35 図 全個体を対象とし、得られた標準化変量が-1~1に収まる個体数を  
化石毎に表したグラフ。赤いバーの No. 3 が *Parafollicucullus*  
*globosus* のホロタイプ。

## II-2.6.2. 保存の良い化石のみの類似度の解析結果

本研究では、中央値的形態から種の代表的な形態を求めメディアソフォームを特定することを目的としている。そのため、保存状態を考慮せず解析した先の結果（第 35 図）は、保存状態が悪く形態の情報が乏しい個体が代表的な形態として認識されており、本来の目的である代表的な形態を十分に表しているとはいえない。そこで、保存状態がよい個体のみを選別しそれらを対象として再度解析を行った（第 36 図）。



第 36 図 保存の良い個体のみを対象とし、得られた標準化変量が-1~1 に收まる個体数を化石毎に表したグラフ。赤いバーの No. 3 が *Parafollicucullus globosus* のホロタイプ。

肉眼により形態的特徴を観察するに当たって注目した *apical*, *wing*, *pseudoabdomen* の 3箇所の形態的特徴の保存状態に基づいて、保存状態の良い個体であるかどうかの判断を下した。欠損あるいは変形によりその部位の形態的特徴が判断できない部位が 2 点以上存在する個体は「保存状態が悪い」と判断した（第 36 図）。例外的に、先行研究で亜種と定義された個体（No. 26）を測定する個体群に含めた。これは亜種がメディアンフォームではない、とは言えないためであり、また、亜種を含めた解析によりメディアンフォームを求めることが種の実態により即した結果が得られると考えたためである。No. 39 は形態的特徴を有しているが変形の度合いが強いと判断し測定する個体群から除いた。解析した結果は第 35 図に示した。この解析結果では、標準化変量の値が -1~1 の範囲に収まる個体の数は No.4 と No.5 がどちらも 14 個体で最も多。また、標準化変量の値が -1~1 の範囲に収まる個体の数少なかったのは、No.9 の 9 個体と、No.3 と No.18 の 10 個体である（第 36 図）。

部位	形状	化石個体の番号	計	%
apical cone	S	1, 3, 8, 13, 23, 24, 25, 29, 30	9	31.0
	C	4, 5, 6, 7, 9, 10, 11, 12, 15, 17, 18, 20, 21, 22, 27, 31, 34, 35, 37, 38	20	68.9
	X	2, 14, 16, 19, 26, 28, 32, 33, 36, 39, 40, 41	12	—
wing	H	3, 5, 7, 9, 11, 16, 39	7	50
	V	4, 6, 12, 15, 17, 18, 30	7	50
	X	1, 2, 8, 10, 13, 14, 19, 20, 21, 22, 23, 24, 25, 26, 27, 28, 29, 31, 32, 33, 34, 35, 36, 37, 38, 40, 41	27	—
pseudoabdomen	S	10, 17, 18, 27, 31	5	26.3
	D	1, 3, 4, 5, 6, 7, 8, 9, 11, 15, 16, 32, 39, 41	14	73.6
	X	2, 12, 13, 14, 19, 20, 21, 22, 23, 24, 25, 26, 28, 29, 30, 33, 34, 35, 36, 37, 38, 40	22	—

凡例	
apical cone	S (straight) : 直線的な形状 C (curved) : 曲線状の形状
wing	H (horizontal) : 水平方向に延びる形状 D (downward) : 下方向に延びる形状
pseudoabdomen	S (single) : 1つのculmenによって形成されている D (double) : 2つのculmenによって形成されている
	X : 保存状態が悪いために観察できなかった

第 37 図 肉眼による化石形態の観察結果

化石個体の番号は第 25 図に対応している。各部位がどのような形状であるかを個体ごとに示している。

### II-3. 放散虫化石の画像解析の意義と問題点

本節では、放散虫化石の画像解析の過程で得られた結果の意義と問題点について述べる。前節で実施した類似度測定を全化石個体で行った結果と保存の良い化石のみで実施した結果について考察する。得られたメディアンフォームを考察するにあたり、選ばれたスタンダードスペシメンが妥当であるかを判断する必要がある。そのために実際に著者が化石の SEM 画像から肉眼で観察できる特徴をまとめ、メディアンフォームが有するであろう形態的特徴を挙げる。そして、今回提案するメディアンフォームとホロタイプの意味や役割について考察したのち、生物種の記載項目についての新しい提案を行う。

#### II-3.1. 肉眼観察により推察できる中央値的形態

プログラムによって求められるメディアンフォームの妥当性を考察するために、著者の肉眼による放散虫化石 *Parafollicucullus globosus* の観察をおこない、マジョリティとなる形態的特徴を推定した。観察結果は第 37 図に示す。観察した項目は 3 つで、apical cone が直線的か曲線的な形状か、wing が延長する方向が水平方向か斜め下方向か、pseudoabdomen を形成する culmen が 1 つか 2 つかである。それぞれの項目の観察から代表的な形態は、apical cone が曲線的な形状をしており、pseudoabdomen が 2 つの culmen からなるという条件を満たしている形態であろうと推定できる。wing に関しては延長方向が水平方向と斜め下方向のどちらも同数の個体であったため、代表的な形態はどちらの形態もあり得ると推察した（第 37 図）。

#### II-3.2. 全化石個体による類似度測定結果の考察

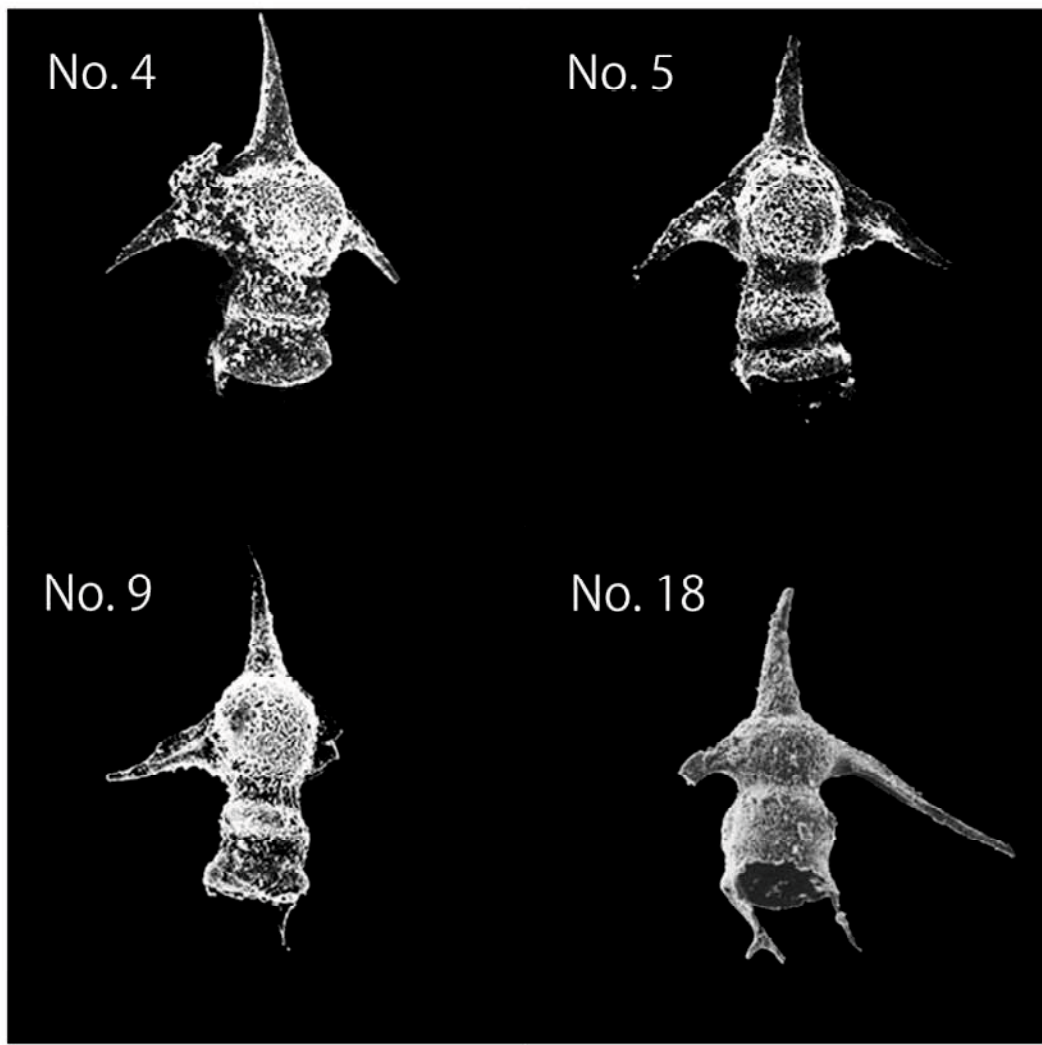
全化石個体による類似度測定結果では、類似度の標準化変量から最も代表的な形態であると判断された No. 34 の個体は保存状態は悪

く wing や foot の構造は細部まで残っていないが、apical cone は有している。逆に、最も代表的な形態ではないと判断された No.32 の個体も保存状態が悪く foot は残っているが、wing と apical cone は欠損している。これら 2 個体を比べてみると apical cone が残っている No. 34 の個体が代表的な形態として認識され、foot がある No. 32 は最も代表的な形態ではないとの結果になっている。これは、apical cone がある個体は全 41 個体中 36 個体ほど存在するのに対し、foot が存在するのは 12 個体ほどしかない。これは、*Parafollicucullus globosus* の放散虫化石を同定する過程で apical cone が重視され、apical cone が保存されている個体が多く報告されていることが原因であると考えられる。この測定によって求められた代表的な個体は保存状態が悪く、wing 等の構造について情報が得られないことが代表的な形態としてふさわしいとは言えない。

### II.3.3.保存の良い化石のみの類似度測定の考察

保存の良い化石のみの類似度測定では、標準化変量が-1~1 の範囲に収まる個体数が最も多かった No. 4, 5 と最も少なかった No. 9 と次に少なかった No. 18 を比較すると（第 38 図），wing の形態が大きく異なることがわかる。No. 9 は ventral 側の wing が破損しており、No. 18 は dorsa 側の wing が他の個体と比較して長く延長している。No. 18 の個体の上側の楕円体の膨らみ(pseudothorax)が下側の膨らみ(pseudoabdomen)と比べて横幅が同程度であるが、No. 4 や No. 5 は上側の膨らみ(pseudothorax)の横幅が下側の膨らみ(pseudoabdomen)の横幅よりも大きいことが違いとして挙げられる。また、No. 9 は上側の膨らみ(pseudothorax)が他と比べて上下方向に伸びている様子が観察でき、No. 18 は上側の膨らみ(pseudothorax)は他と比べてより水平方向に伸びる楕円体である。これらの構造的違いは、その形態が代表的な個体であるか否かを反映している可能性がある。保存の良い化石のみで解析を行うことで、形態的特徴を保持している個体がメディアンフォームを持つ個体として求めることができた。

肉眼による観察では、代表的な形態として推察される各部位の形状について、apical cone は曲線的、pseudoabdomen が 2 つの culmen からなり、wing の延長方向は水平方向と斜め下方向のどちらもあり得るという推定を立てていたが（第 37 図）、No. 4, 5 は apical cone と pseudoabdomen のメディアンフォームの条件を満たしており、No. 4 の wing は斜め下方向に延長し No. 5 の wing は水平方向に延長する。これらから、プログラムにより得られたメディアンフォームは肉眼による化石形態の観察とも調和的であることが分かり、本研究のメディアンフォームを求めるプロセスが有用であることを示している。

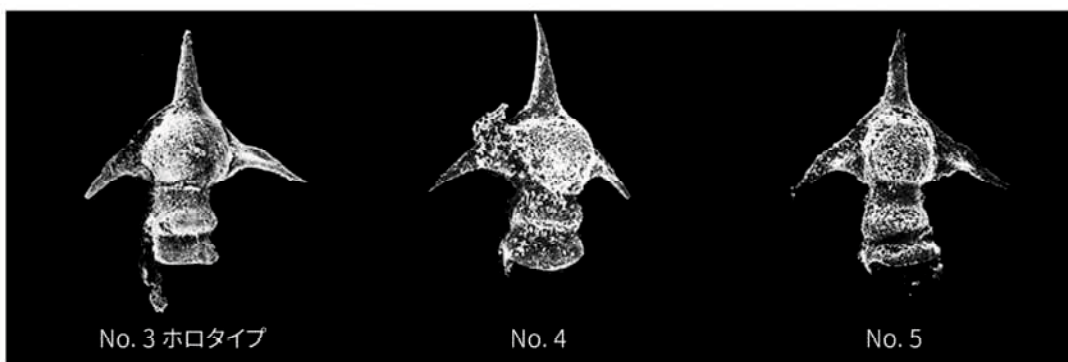


第 38 図 解析の結果得られた代表的な個体と代表的でない個体の比較。  
*Parafollicucullus globosus* の類似度の標準化変量が -1~1 の範囲に収まる個体  
数 14 個体であった No. 4, 5 と, 9 個体であった No. 9 と 10 個体であった  
No. 18 の SEM 画像.

#### II-3.4. ホロタイプとメディアンフォーム

本節では、本研究で提案するメディアンフォームと、従来の研究で用いられてきたホロタイプの意味や役割の違いについて、考察する。

本研究で扱った中期ペルム紀を代表する放散虫化石の *Palafollicucullus globosus* のホロタイプ (Holotype: 正基準標本) は、Ishiga et al. (1982) で記載されている。本研究の解析データの No.3 がホロタイプの画像である。本研究で得られたメディアンスペシメン (No. 4, 5 の個体) とホロタイプ (No. 3 の個体) の形態的特徴の違い (第 39 図) と、その意味について、以下に考察する。



第 39 図 *Parafollicucullus globosus* のホロタイプと代表的形態との比較

ホロタイプは、ある生物種を特定するための、最も基本的な情報を提供する個体である。従って、ホロタイプは、あらたな個体の種を特定し命名するという目的のために必要不可欠な個体である。しかしながら、先にも述べた通り、ホロタイプが種の代表的な形態を示すということではない。第 36 図のグラフからホロタイプ (No.3 の個体) は標準化変量が -1~1 の範囲に収まる個体数が 2 番目に少ない 10 個体であった。多くの化石種は、ホロタイプをベースにそれぞれの種の認定が行われていることから、類似度による代表的な形態を見つける場合は、ホロタイプが代表的な形態に寄った個体であるとの結果

になることが推察できる。しかし、保存状態が悪い個体を含めて解析を行った結果は、保存状態が悪い個体がメディアンフォームとして選出された（第 35 図）。保存状態が悪い個体による化石形態の画像認識では、正確なメディアンフォームを特定することは困難であると考えられ、保存状態の良い個体の選別をおこなうべきであると考察した。

本研究では保存状態の良い個体群の形態解析から特定した *Palafollicucullusu globosa* のメディアンフォームは、No4 と No.5 の個体である。種の代表的形態を示すのは、このメディアンフォームであり、ホロタイプではないと考えられる。中央値的な個体のメディアンフォームとホロタイプの形態を比較してみると（第 39 図）、ホロタイプの dorsal 側の wing が水平方向に延長し、No.4 は斜め下方向、No.5 は水平方向に wing が延長している様子が観察できる。*pseudoabdomen* はホロタイプと No. 4, 5 は共通して 2 つ culmen からなるが、*apical cone* は No. 4, 5 が曲線的でホロタイプは直線的であり、またメディアンフォームの No.4 と No.5 は上部の橢円体のふくらみがホロタイプと比べて小さい。このように、メディアンフォームは、ホロタイプと形態的に類似しているが、同一ではない。これまでには、生物種、特に化石種では、最初に命名・記載されたホロタイプに基づいて、その種の形態が議論されてきた。しかしながら、ホロタイプに基づいて同定された同一種の形態データが増加するにつれて、メディアンフォームを決定することが可能になってくる。本研究では放散虫化石を例として画像解析によるメディアンフォームを求めることを行ったが、そのほかの化石種においてもこの手法は適応が可能であると考えている。本研究で扱った放散虫化石のように外形以外の内部構造が種の同定に影響する場合でも、フィルタリング処理をせず OpenCV の特徴典マッチングをおこなうことで類似度の測定は可能である。その際の注意点としては、フィルタリング処理によ

り画像中の余分な情報（付着しているゴミなど）が除去できなかっため、より保存状態が良い個体群で解析をおこなう必要がある。

本研究で提案した OpenCV を活用した形態の特徴点マッピングによる類似度の測定を通じて、メディアンフォームの決定が多くの生物種でなされることにより、生物種それぞれの実態が解明されることを期待している。

#### II-3.5. 生物種の記載項目についての提案

本研究で特徴点マッチングの類似度測定により *Palafollicucullusuglobosa* のメディアンフォームが特定された。メディアンフォームという種の形態的基準が得られたことにより、これまでに報告のあった同種の化石や今後報告される同種の個体が、メディアンフォームという基準と比べてどのような形態的特徴があるのかを示すことが可能となった。これまで行われてきた、代表的な形態であるメディアンフォームとホロタイプを形態的に比較すると、ホロタイプが種を構成する個体群の中で形態の中央値を示すメディアンフォームからどのくらい離れた存在であるのかを知ることができる。

従来、進化系列を議論するときは系列的に前後関係にあると考えられる種のホロタイプ同士が比較されてきた。本研究で求めたメディアンフォームはその種と同定された個体群全体の形態データから得られた代表的な個体であるので、進化系列の前後の比較をする場合は、ホロタイプ同士よりもメディアンフォーム同士で比較されるべきである。メディアンフォーム同士で比較されることで進化系列という連続的な形態の変化に対して最も意味のある比較検討が可能となる。これは一般的に、一定数以上の個体が得られる生物種においてメディアンフォームを求めるることは種の本質的な変遷を追うことを可能にする。このような観点から、正しく種を理解する手段として、今回提案した手法を用いてメディアンフォームを求め

ることを提案する。

本研究で求めた *Parafollicucullus globosus* はペルム紀の放散虫化石の中でも報告数が比較的多いが、進化系列的にその前後の放散虫化石とされている化石の報告数は少ないため、メディアンフォームを求めて新たに比較することは叶わなかった。今後保存状態の良い化石が報告されればメディアンフォームによる新たな進化系列の形成が可能であろうと考えられる。

## まとめ

中期ペルム紀前期の放散虫化石による古生物学研究では、次のことが明らかになった。

- ① 詳細に記載し報告することで、前期ペルム紀と中期ペルム紀のミッシングリンクとなる群集を示すことができた。
- ② 保存状態がほかの先行研究と比べて非常に良い *Parafollicucullus* 属の個体によって、*Parafollicucullus* 属を記載するために重要な各パーツの名称を構造的な違いにより明確に定義した。
- ③ 保存の良い個体をもとにした構造の定義や詳細な記載によって *Parafollicucullus* 属の研究の基礎を新たに築くことを可能とした。

*Parafollicucullus* 属を対象とし画像解析に関する研究では、次のことが明らかになった。

- ① 形態的に同種とされた個体群の中から、多くの個体と類似している個体の形態をメディアンフォームと定義し、その概念を提案した。
- ② メディアンフォームを画像解析によって数理的に求めることが可能であることを示した。

本研究で実施した古生物学的研究と画像解析の研究は、古生代ペルム紀の地質年代を正確に把握するための重要な基礎研究である。地質年代の指標となる放散虫化石の生層序が詳細に編まれることで、詳細な地質構造が明らかとなる。

## 謝辞

本研究にあたり、多くの方々に協力やご助言をしていただいた。特に指導教員である脇田浩二教授には野外調査から論文執筆に至るまで様々な指導をしていただいた。また山口大学創成科学研究科の韓先花準教授には、本研究の類似度測定のプログラム作成時と論文作成時に助言をいただいた。さらに、東北大学の鈴木紀毅氏と産業技術総合研究所の伊藤 剛氏からは放散虫化石の記載論文に対して、大変貴重なご助言を多大にいただいた。山口大学理学部の川村喜一郎氏や岩谷北斗氏からは、化石の類似度測定のさらなる発展のために様々な議論をしていただいた。以上の方々に記して感謝の意を表する。

## 引用文献

- 相田吉昭・鈴木紀毅・大金 薫・酒井豊三郎, 2009: 現世および中生代放散虫の両極性分布, *化石*, vol. 85, p. 25–42.
- Aitchison, J. C., Suzuki, N., Caridroit, M., Danelian, T. and Noble, P., 2017: Paleozoic radiolarian biostratigraphy. *Geodiversitas*, vol. 39, p. 503–531.
- Alcantarilla, P., Nuevo, J. and Bartoli, A., 2013: Fast Explicit Diffusion for Accelerated Features in Nonlinear Scale Spaces. *in British Machine Vision Conference*, p.13.1-13.11,  
<http://www.bmva.org/bmvc/2013/Papers/paper0013/>.
- 荒川竜一, 1998: 足尾帯葛生地域の二酸化マンガンより産出した中期ジュラ紀放散虫化石群集. 栃木県立博物館紀要, 15, 51–76.
- Basir, J. and Zaiton, H., 2011: Biostratigraphy of Peninsular Malaysia - An update. *Bulletin of the Geological Society of Malaysia*, vol. 57, p. 27–38.
- Blome, C. D. and Reed, K. M. 1992: Permian and Early(?) Triassic radiolarian faunas from the Grindstone terrane, central Oregon. *Journal of Paleontology*, vol. 66, p. 351–383.
- Caridroit, M., Danelian, T., O'Dogherty, L., Cuvelier, J., Aitchison, J. C., Pouille, L., Noble, P., Dumitrica, P., Suzuki, N., Kuwahara, K., Maletz, J. and Feng, Q. L., 2017: An illustrated catalogue and revised classification of Paleozoic radiolarian genera. *Geodiversitas*, vol. 39, p. 363–417.
- Cheng, Y. N., 1986: Taxonomic studies on Upper Paleozoic radiolaria. *National Museum of Natural Science Taiwan, special publication*, no. 1, p. 1–311.
- Cornell, W. C. and Simpson, R. D., 1985: New Permian albaillellid radiolarians from West Texas. *Micropaleontology*, vol. 31, p. 271–279.

- Davydov, V. I., Biakov, A. S., Schmitz, M. D. and Silantiev, V. V., 2018: Radioisotopic calibration of the Guadalupian (middle Permian) series: Review and updates. *Earth-Science Reviews*, vol. 176, p. 222–240.
- Deflandre, G., 1953: Radiolaires fossiles. In, Grassé, P. P. ed., *Traité de Zoologie*, p. 389–346. Masson, Paris.
- Feng, Q. L. and Ye, M., 1996: Permian radiolarian sedimentary assemblage and paleoecology in south and southwest China. In, Fang, N. Q. and Feng, Q. L. eds., *Devonian to Triassic Tethys in Western Yunnan, China*, p. 15–22. China University of Geosciences Press.
- Fujinaga, K., Nozaki, T., Nishiuchi, T., Kuwahara, K. and Kato, Y., 2006: Geochemistry and Origin of Ananai Stratiform Manganese Deposit in the Northern Chichibu Belt, Central Shikoku, Japan. *Resour. Geol.*, vol. 56, 399–414.
- 藤原武史, 2009: ジュラ紀中世のマンガン炭酸塩ノジュールと母岩の放散虫化石群集の年代について-珪質泥岩中の炭酸マンガン粒子の再堆積過程-. 大阪微化石研究会誌特別号, no. 14, p. 413–432.
- 藤吉弘亘, 2013: 画像局所特微量 SIFT とそれ以降のアプローチ, <https://www.slideshare.net/hironobufujiyoshi/miru2013sift>, (最終更新日 2013 年 7 月 29 日, 最終閲覧日 2019 年 12 月 20 日).
- Geological Survey of Japan, 2018: 地質調査総合センター, シームレス地質図 (1:200,000). <https://gbank.gsj.jp/seamless/>, 最終閲覧日 2019 年 9 月 16 日.
- Hara, A. and Kiminami, K., 1989: Ancient trench-fill and trench-slope basin deposits: An example from the Permian Nishiki Group, Southwest Japan. In, Taira, A. and Masuda, F., eds., *Sedimentary Facies in the Active Plate Margin*. Terra Scientific Publishing Company, Tokyo, p. 557–575.
- Harris, C. and Stephens, M., 1988: A Combined Corner and Edge Detector. In *Proceedings of the 4th Alvey Vision Conference*, p. 147–151.

- 服部 勇, 1987: 福井県南条山地におけるジュラ紀放散虫化石について. 福井市立郷土自然科学博物館研究報告, vol. 34, p. 29–101.
- 服部 勇, 1989: 福井県南条山地南西部の 3 地点におけるマンガンノジュールからのジュラ紀放散虫について (資料), 福井大学教育学部紀要, 第II部自然科学, vol. 31, p. 47–134.
- 速水 格, 2009:『古生物学』, 東京大学出版会, 東京, 214pp.
- Holdsworth, B. K., 1969: The relationship between the genus *Albaillella* Deflandre and the ceratoikiscid radiolaria. *Micropaleontology*, vol. 15, p. 230–236.
- Holdsworth, B. K. and Jonse, D. L., 1980: Preliminary radiolarian zonation for Late Devonian through Permian time. *Geology*, vol. 8, p. 281–284.
- Hori, N., 2000: Oxfordian to Kimmeridgian (Late Jurassic) radiolarian fauna from manganese carbonate nodules in the Torinoko Mountain Block, Yamizo Mountains, central Japan. *Program with abstracts of the nineth meeting of the International Association of Radiolarian Paleontologists*, p. 35–36.
- Hori, R. S., Y. Higuchi, T. Fujiki, T. Maeda and M. Ikehara, 2007: Geochemistry of the Oruatemanu Formation, Arrow Rocks, Northland, New Zealand. *GNS Science Monograph*, vol. 24, p. 123–156.
- Isakova, T. N. and Nazarov, B. B., 1986: Stratigraphy and microfauna of the Late Carboniferous-Early Permian of the southern Urals. *Trudy Geologicheskogo Instituta Akademii Nauk SSSR*, vol. 402, p. 1–184. (in Russian; original title translated)
- Ishiga, H., 1990: Ultra-Tamba terrane. In, Ichikawa, K., Mizutani, S., Hara, I., Hada, S. and Yao, A., eds., *Pre-Cretaceous Terranes of Japan*, p. 97–107. Publication of International Geological Correlation Programme Project no. 224, Osaka.

- Ishiga, H. and Imoto, N., 1980: Some Permian Radiolarians in the Tamba District, Southwest Japan. *Earth Science (Chikyu kagaku)*, vol. 34, p. 333–345.
- Ishiga, H., Kito, T. and Imoto, N., 1982: Middle Permian radiolarian assemblages in the Tamba District and an adjacent area, Southwest Japan. *Earth Science (Chikyu kagaku)*, vol. 36, p. 272–281.
- Ishiga, H., Watase, H. and Naka, T., 1986: Permian radiolarian from Nishiki Group in Sangun-Chugoku Belt, Southwest Japan. *Earth Science (Chikyu kagaku)*, vol. 40, p. 124–136.
- Ito, T., Feng, Q. L. and Matsuoka, A., 2015: Taxonomic significance of short forms of middle Permian *Pseudoalbaillella* Holdsworth and Jonse, 1980 (Follicucullidae, Radiolarian). *Revue de micropaléontologie*, vol. 58, p. 3–12.
- Ito, T., Feng, Q. L. and Matsuoka, A., 2016: Possible Boundaries between *Parafollicucillus* and *Follicucillus* (Follicucullidae, Albaillellaria, Radiolaria): An Example of Morphological Information from Fossils and Its Use in Taxonomy. *Forma*, vol. 31, p. 7–10.
- Ito, T., Gu, S. Z., Ai, Y. and Feng, Q. L., 2017: A new genus of the Corythoecidae (Paleozoic Radiolaria) from the Changhsingian (uppermost Permian) Dalong Formation in southern Guizhou, South China. *Paleontological Research*, vol. 21, p. 131–137.
- Kimori Y, Hikino K, Nishimura M, Mano S., 2016: Quantifying morphological features of actin cytoskeletal filaments in plant cells based on mathematical morphology. *Journal of Theoretical Biology*, p. 123–131.
- Kozur, H., 1993: Upper Permian radiolarians from the Sosio Valley area, western Sicily (Italy) and from the uppermost Lamar Limestone of West Texas. *Jahrbuch der Geologischen Bundesanstalt*, vol. 136, p. 99–123.

- Ling, H. Y. and Forsythe, R. D., 1987: Late Paleozoic pseudoalbaillellid radiolarians from southernmost Chile and their geological significance. In, McKenzie, G. D. ed., *Gondwana Six: Structure, Tectonics, and Geophysics.*, *Geophysical Monograph Series*, vol. 40, p. 253–260. American Geophysical Union.
- Linné, C., 1753: 『Species Plantarum』 . 560pp.  
<http://www.botanicus.org/title/b12069590>
- Lowe, D., 2004: Distinctive Image Features from Scale-Invariant Keypoints. *International Journal of Computer Vision*, vol.60, no.2, p.91-110.
- Maldonado, A. L. and Noble, P. J., 2010: Radiolarians form the upper Guadalpian (Middle Permian) Reef Trail Member of the Bell Canyon Formation, West Texas and their biostratigraphic implications. *Micropaleontology*, vol. 56, p. 1–7.
- Maletz, J., 2011: Radiolarian skeletal structures and biostratigraphy in the Palaeozoic (Cambrian-Ordovician). *Palaeoworld*, vol. 20, p. 116–133.
- Matsuoka, A., 1991: Early Jurassic radiolarians from the Nanjo Massif in the Mino Terrane, central Japan. *Transaction and Proceedings of the Palaeontological Society of Japan, New Series*, no. 161, p. 720–738.
- Matsuoka, A., 2004: Toarcian (Early Jurassic) radiolarian fauna from the Nanjo Massif in the Mino Terrane, central Japan. *News of Osaka Micropaleontologists, Special Volume*, no. 13, p. 69–87.
- 箕浦幸治・中谷 周・竹村厚司, 1983: 美濃帶炭酸マンガン鉱床の成因. 月刊海洋科学, vol. 15, p. 426-432.
- 箕浦幸治・池田安隆, 2011: 地球のテクトニクス I 堆積学, 変動地形学, 『現代地球科学シリーズ 9』, 共立出版, 東京, 202pp.
- 箕浦幸治・中谷 周, 1984a: 層状放散虫チャートの起源 I, 堆積環境及び成因. 化石, vol. 35, 17–32.

- 箕浦幸治・中谷 周, 1984b: 層状放散虫チャートの起源II, 硅酸塩物質の沈殿, 削剥および結晶化に関する実験的考察. *化石*, vol. 36, p. 19–36.
- Mayden R. L., 1997: A hierarchy of species concepts: the denouement in the saga of the species problem. In: Claridge M. F. , Dawah H. A. and Wilson M. R. (eds), *Species: the Units of Biodiversity*. Chapman & Hall, London, p. 381–424.
- Mayr, E. 1942: *Systematics and the Origin of Species*. Columbia University Press, New York.
- 中 孝仁・渡瀬広道・徳岡隆夫, 1986: 三郡M—中国帯西部, 島根県六日市町地域のペルム系錦層群. *地球科学*, vol. 40, p. 166–176.
- 中川孝典・脇田浩二, 2016a: 秋吉帯錦層群中のマンガン炭酸塩岩から産出したペルム紀古世放散虫化石. *大阪微化石研究会誌*, no. 16, 25–40.
- 中川孝典・脇田浩二, 2016b: 秋吉帯錦層群における前期ペルム紀後期の含放散虫マンガン炭酸塩岩の発見. *地質学雑誌*, vol. 122, p. 659–664.
- Nakagawa, T. and Wakita, K., 2020: Morphological insights from extremely well-preserved *Parafollicucullus* (Radiolaria, Order Albaillellaria) from probable Roadian (Guadalupian, middle Permian) manganese nodule in the Nishiki Group of the Akiyoshi Belt, Southwest Japan, in press, *Paleontological Research*.
- 直海俊一郎, 2008: 便宜的な分類単位としての種と進化の単位としての個体群. *生物科学*, vol. 59, p. 194–237.
- Nazarov, B. B., and Ormiston, A. R., 1985: Radiolarian from the late Paleozoic of the southern Urals, USSR and West Texas, USA. *Micropaleontology*, vol. 31, p. 1–54.
- Nazarov, B. B., and Rudenko, V. S., 1981: Some bilaterally symmetrical late Paleozoic radiolarians of the south Urals. *Voprosy Micropaleontologii*, vol. 24, p. 129–139. (*in Russian*)

- Nestell, G. P., Pope, J. P. and Nestell, M. K., 2012: Middle Pennsylvanian (Desmoinesian) Radiolarian from the Midcontinent of North America. *Micropaleontology*, vol. 58, p. 217–257.
- Nestell, N. K., Nestell, G. P., and Wardlaw, B. R., 2019: Integrated fusulinid, conodont, and radiolarian biostratigraphy of the Guadalupian (Middle Permian) in the Permian Basin region, USA, in Ruppel, S. C., ed., Anatomy of a Paleozoic basin: the Permian Basin, USA (vol. 1, ch. 9), *The University of Texas at Austin, Bureau of Economic Geology Report of Investigations* no. 285; AAPG Memoir 118, p. 251–291.
- 日本分類学連合会, 2005, 『国際動物命名規約 第4版 日本語版[追補]』PDF版, 日本分類学連合会.
- 西原ちさと・八尾 昭, 2005: 美濃帶犬山地域のジュラ紀中世 (Bajocian) 放散虫類の群集変遷. *化石*, vol. 78, p. 32–39.
- 西村祐二郎・板谷徹丸・磯崎行雄・亀谷 敦, 1989: 西南日本内帯 220Ma 高圧变成岩の原岩年代と变成履歴—山口県錦町地域の例—. 地質学論集, no.33, 143–166.
- Nishimura, H., 1990: Taxonomic study on Cenozoic Nassellaria (Radiolaria). *Scientific Reports of the Institute of Geoscience, University of Tsukuba, Section B, Geological Science*, vol. 11, p. 69–172.
- Nishimura, K. and Ishiga, H, 1987: Radiolarian Biostratigraphy of the Maizuru Group in Yanahara area, Southwest Japan. *Mem. Fac. Sci. Shimane Univ.*, vol. 21, p. 169–188.
- 西村祐二郎・今岡照喜・金折裕司・亀谷 敦, 2012: 山口県地質図 第3版 (15万分の1) および同説明書, 167pp, 山口県地質学会.
- 西村祐二郎・板谷徹丸・磯崎行雄・亀谷 敦, 1989: 西南日本内帯 220Ma 高圧变成岩の原岩年代と变成履歴—山口県錦町地域の例—. 地質学論集, no. 33, p. 143–166.

- 西村祐二郎・瀧木輝一, 1966: 山口県錦町地域における“非変成古生層”と  
三群変成岩類の地質学的関係, 地質学雑誌, vol. 72, p. 385–398.
- Noble, P., Aitchison, J. C., Danelian, T., Dumitrica, P., Maletz, J., Suzuki, N.,  
Cuvelier, J., Caridroit, M. and O'Dogherty, L., 2017: Taxonomy of  
Paleozoic radiolarian genera. *Geodiversitas*, vol. 39, p. 419–502.
- 野崎達生・藤永公一郎・加藤泰浩, 2018: 日本列島付加体中に胚胎する古  
海洋底で生成した鉱床. 地質学雑誌, vol. 124, p. 995–1020.
- Ogane, K., Tuji, A., Suzuki, N., Matsuoka, A., Kurihara, T. and Hori, R. S.,  
2010: Direct observation of the skeletal growth patterns of polycystine  
radiolarians using a fluorescent marker. *Marine Micropaleontology*, vol.  
77, p. 137–144.
- 岡本信行, 2014: 北西太平洋域の海山の地形・地質と鉄・マンガンクラス  
トの地域分布の多様性. 博士論文, 高知大学.
- OpenCV.jp, 2019: OpenCV.jp opencv samples and documents. <http://opencv.jp>,  
最終閲覧日 2019年12月20日.
- OpenCV-Python 特徴点の理解, 2019: OpenCV-Python チュートリアル文書.  
[http://labs.eecs.tottori-u.ac.jp/sd/Member/oyamada/OpenCV/html/py\\_tutorials/py\\_feature2d/py\\_features\\_meaning/py\\_features\\_meaning.html#features-meaning](http://labs.eecs.tottori-u.ac.jp/sd/Member/oyamada/OpenCV/html/py_tutorials/py_feature2d/py_features_meaning/py_features_meaning.html#features-meaning), 最終閲覧日 2019年12月20日.
- OpenCV-Python SIFT の導入, 2019: OpenCV-Python チュートリアル文書.  
[http://labs.eecs.tottori-u.ac.jp/sd/Member/oyamada/OpenCV/html/py\\_tutorials/py\\_feature2d/py\\_sift\\_intro/py\\_sift\\_intro.html#sift-intro](http://labs.eecs.tottori-u.ac.jp/sd/Member/oyamada/OpenCV/html/py_tutorials/py_feature2d/py_sift_intro/py_sift_intro.html#sift-intro), 最終閲覧日 2019年12月20日.
- OpenCV-Python SURF の紹介, 2019: OpenCV-Python チュートリアル文書.  
[http://lang.sist.chukyo-u.ac.jp/classes/OpenCV/py\\_tutorials/py\\_feature2d/py\\_surf\\_intro/py\\_surf\\_intro.html](http://lang.sist.chukyo-u.ac.jp/classes/OpenCV/py_tutorials/py_feature2d/py_surf_intro/py_surf_intro.html), 最終閲覧日 2019年12月20日.

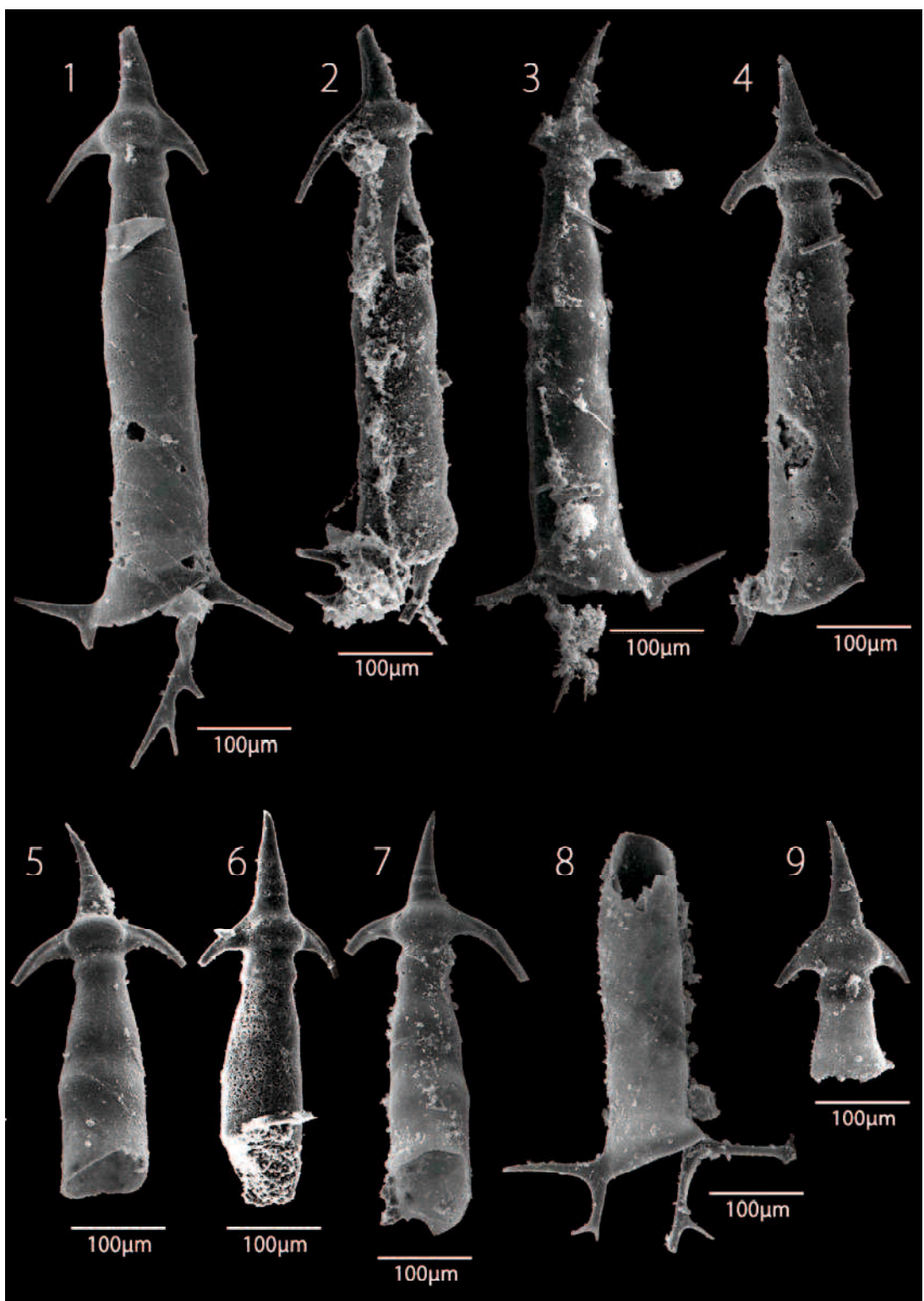
- Ormiston, A. R. and Babcock, L. C., 1979: *Follicucullus*, new radiolarian genus from the Guadalupian (Permian) Lamar Limestone of the Delaware Basin. *Journal of Paleontology*, vol. 53, p. 328–334.
- Rudenko, B. C. and Panasenko, E. C., 1990: Permian Albaillellaria (Radiolaria) of the Pantovyi Creek sequence in Primorye. In, Tisarena, G. I. ed., *New Data on Paleozoic and Mesozoic Biostratigraphy of the South Far East*. USSR Academy of Sciences, Far-eastern Branch, Vladivostock, p. 181–193. (in Russian)
- Rudenko, V. S. and Panasenko, E. S., 1997: Biostratigraphy of Permian deposits of Sikhote-Alin based on radiolarians. In, Baud, A., Popova, I., Dickins, J. M., Lucas, S. and Zakharov, Y., eds., *Mémoires de Géologie*, no. 30, p. 73–79. Université de Lausanne, Switzerland.
- 三中信宏, 2008: 「種」概念の光と闇 —概念の分類ではなく、その出自をたどろう—. 生物科学, vol. 59, 238–243.
- 佐々木栄裕・今野峻一・恒川佳隆, 2013: エッジ画像と色情報を用いた SURF アルゴリズムの検討. 計測自動制御学会東北支部 第 280 回研究集会, 1–7.
- 産総研, 2018: 産総研, AI (人工知能) を活用した微化石の正確な鑑定・分取技術を確立. [https://www.aist.go.jp/aist\\_j/press\\_release/pr2018/pr20181203/pr20181203.html](https://www.aist.go.jp/aist_j/press_release/pr2018/pr20181203/pr20181203.html), 最終更新日 2018 年 12 月 3 日
- Sano, H., 1988: PERMIAN OCEANIC-ROCKS OF MINO TERRANE , CENTRAL JAPAN PART I · III. CHERT FACIES, *Earth Sci. (Chikyu Kagaku)*, vol. 94, 697–709.
- 佐野弘好・内山高教・勘米良亀齡, 1983: 秋吉台南方大田層群の層序の再検討, 日本地質学会 90 年学術大会講演要旨.
- Schwartzapfel, J. A. and Holdsworth, B. K., 1996: Upper Devonian and Mississippian radiolarian zonation and biostratigraphy of the Woodford,

- Sycamore, Caney and Goddard formations, Oklahoma. *Cushman Foundation Special Publication*, no. 33, p. 1–275.
- Sheng, J. Z. and Wang, Y. J., 1985: Fossil radiolaria from Kufeng Formation at Longtan, Nanjing. *Acta Palaeontologica Sinica*, vol. 24, p. 171–180. (*in Chinese with English abstract*)
- Spiller, F. C. P., 1996: Late Paleozoic radiolarians from the Bentong-Raub suture zone, Peninsular Malaysia. *The Island Arc*, vol. 5, p. 91–103.
- 鈴木紀毅, 2013: 第2章: 試料処理と標本の作製, 2.3: 放散虫, 『新版微化石研究マニュアル』, 編著: 尾田太良・佐藤時幸, 株式会社朝倉書店, p. 32–37.
- 鈴木紀毅・相田吉昭, 2011: 放散虫の生物学-分布, 現存量, 共生生物. 日本プランクトン学会報, vol. 58, p. 19–26.
- Suzuki, N. and Aita, Y., 2011: Achievement and unsolved issues on radiolarian studies: Taxonomy and cytology. *Plankton & Benthos Research*, 6, 69–91, [http://www.plankton.jp/PBR/issue/vol06\\_2/0602\\_069.pdf](http://www.plankton.jp/PBR/issue/vol06_2/0602_069.pdf).
- 鈴木紀毅・大金 薫・相田吉昭, (2012). 第4章: 微化石の世界, 1.2: 放散虫, 編著: 谷村好洋・辻 彰洋, 『微化石顕微鏡で見るプランクトン化石の世界』, 東海大学出版会, p. 76–99.
- 鈴木紀毅・山北聰・高橋聰・永広昌之, 2007: 北部北上帯(葛巻-釜石亜帯)大鳥層中の炭酸マンガンノジュールより産出した中期ジュラ紀放散虫化石, 地質学雑誌, vol. 113, p. 247–277.
- 竹村厚司・相田吉昭・酒井豊三郎・堀 利栄・小玉一人・山北聰・鎌田祥仁・鈴木紀毅・K. B. Sporli・H. J. Campbell, 2001: ニュージーランド北島, サイババテーンの放散虫化石. 日本古生物学会, 古生物学トピック, no. 2, p. 17–24.
- Takemura, A., M. Sakai, S. Sakamoto, R. Aono, S. Takemura & S. Yamakita, 2007: Earliest Triassic radiolarians from the ARH and ARF sections on

- Arrow Rocks, Waipapa Terrane, Northland, New Zealand. *GNS Science Monograph*, vol. 24, p. 97–107.
- 田中敏行・原彰男・大庭利幸・君波和雄, 1987: ペルム系錦層群の層序・構造及び堆積場について（予報）, *地球科学*, vol. 41, 182–187.
- Wakita, K., 1982: Jurassic radiolarians from Kuzuryo-ko – Gujo-hachiman area. *News of Osaka Micropaleontologists, Special Volume*, no. 5, p. 153–171. (in Japanese with English abstract)
- Wakita, K., Nakagawa, T., Sakata, M., Tanaka, N. and Oyama, N., 2018: Phanerozoic accretionary history of Japan and the western Pacific margin. *Geological Magazine*, <https://doi.org/10.1017/S0016756818000742>.
- Wang, Y. J., Cheng, Y. N. and Yang, Q., 1994: Biostratigraphy and Systematics of Permian Radiolarians in China. *Palaeoworld*, vol. 4, p. 172–202.
- Wang, Y. J. and Yang, Q., 2011: Biostratigraphy, phylogeny and paleobiogeography of Carboniferous-Permian radiolarians in South China. *Paleoworld*, vol. 20, p. 134–145.
- Xian, W. C. and Zhang, N., 1998: Early to Middle Permian radiolarians from the Kuhfeng formation in southeastern Guangxi, South China. *Earth Science (Chikyu Kagaku)*, vol. 52, p. 188–202.
- Xiao, Y. F., Suzuki, N. and He, W. H., 2018: Low-latitude standard Permian radiolarian biostratigraphy for multiple purposes with Unitary Association, Graphic Correlation, and Bayesian. *Earth-Science Reviews*, vol. 179, p. 168–206.
- 山北聰・堀利栄, 2009: 四国中西部の北部秩父帯中の炭酸塩ノジュールから産出した前期ジュラ紀放散虫化石, *大阪微化石研究会誌*, 特別号 no.14, p. 497–505.
- Yao, A. 1972: Radiolarian fauna from the Mino Belt in the northern part of the Inuyama area, central Japan. Part I. Spongosternalids. *Journal of Geosciences*, Osaka City University, vol. 15, p. 21–64.

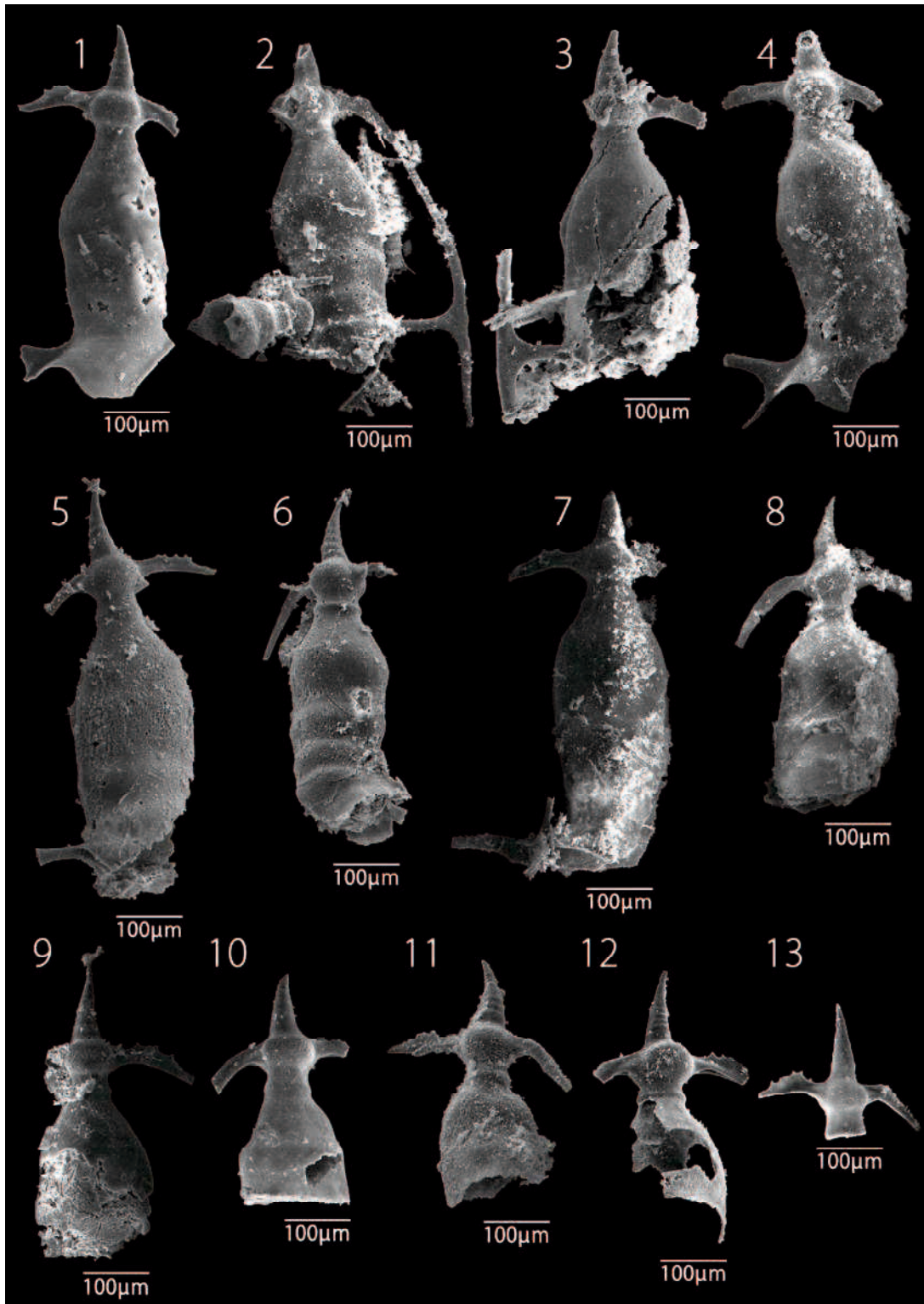
- Yao, A., T. Matsuda & Y. Isozaki, 1980: Triassic and Jurassic radiolarians from the Inuyama area, central Japan. *Journal of Geosciences*, Osaka City University, vol. 23, p. 135–154.
- Yao, A., 1984. Subdivision of the Mesozoic complex in Kii-Yura area, Southwest Japan and its bearing on the Mesozoic basin development in the Southern Chichibu Terrane. *Journal of Geosciences*, Osaka City University, vol. 27, p. 41–103.
- 八尾 昭, 1997: ジュラ紀古一中世放散虫化石群集の変遷. 大阪微化石研究会誌, 特別号, no. 10, p. 155–182.
- Zhang, L., Feng, Q. L. and He, W. H., 2018: Permian radiolarian biostratigraphy. *Geological Society, London, Special Publications*, vol. 450, p. 145–163.
- Zhang, L., Ito, T., Feng, Q. L., Caridroit, M. and Danelian, T., 2014: Phylogenetic model of *Follicucullus* lineages (Albaillellaria, Radiolaria) based on high-resolution biostratigraphy of the Permian Bancheng Formation, Guangxi, South China. *Journal of Micropalaeontology*, vol. 33, p. 179–192.
- Zhang, N., Henderson, C. M., Xia, W. C., Wang, G. and Shang, H., 2010: Conodonts and radiolarian through the Cisuralian-Guadalupian boundary from the Pingxiang and achongling sections, Guangxi region, South China. *Alcheringa*, vol. 34, p. 135–160.
- Zhao, X., Cheng, Z., & Xu, X., 1999: The earliest ceratopsian from the Tuchengzi Formation of Liaoning, China. *Journal of Vertebrate Paleontology*. vol. 19, 681-691.

Plate 1



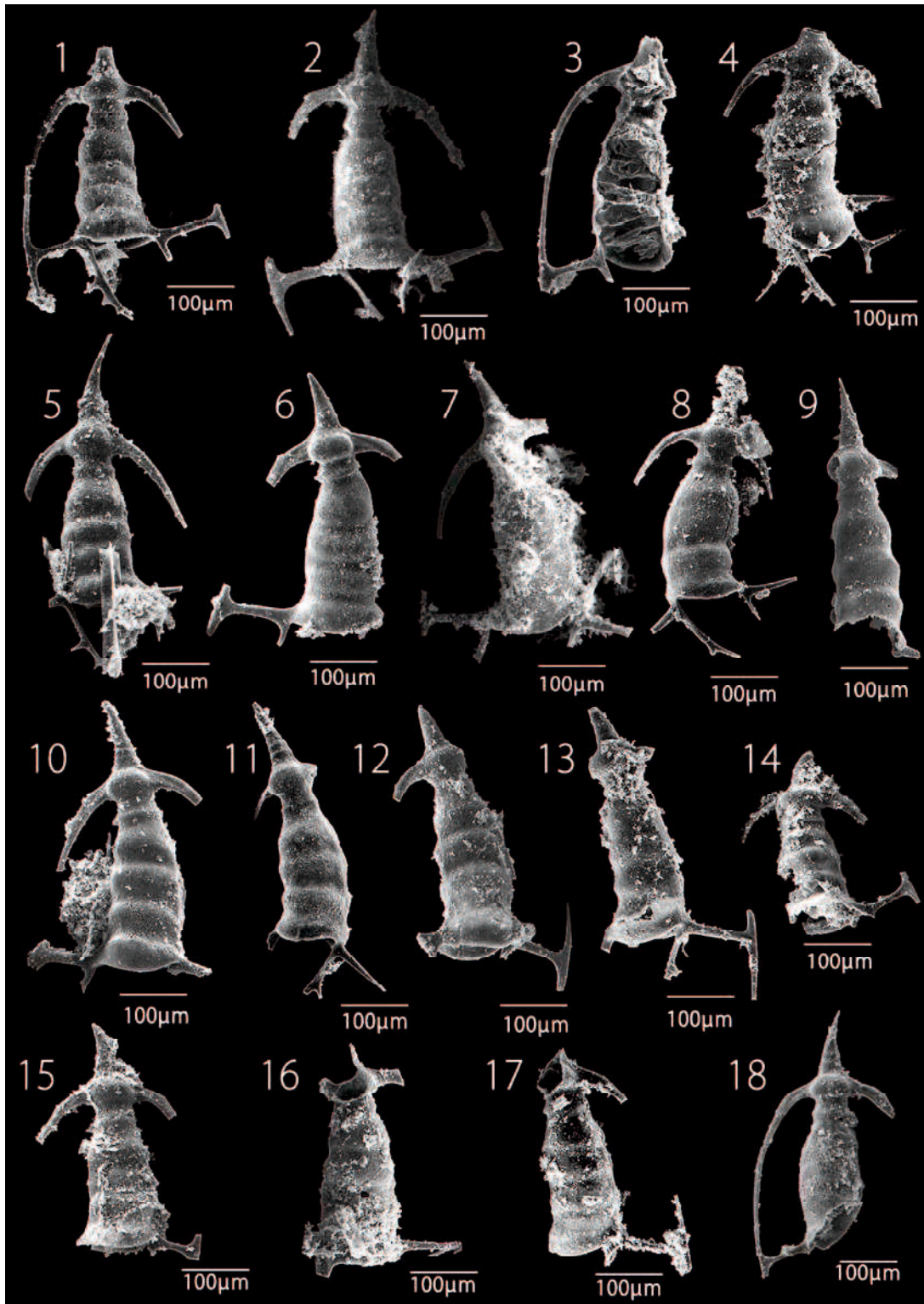
1-4: *Parafollicucullus babelis* sp. nov., 5-9: *P. cf. babelis* sp. nov.

Plate 2



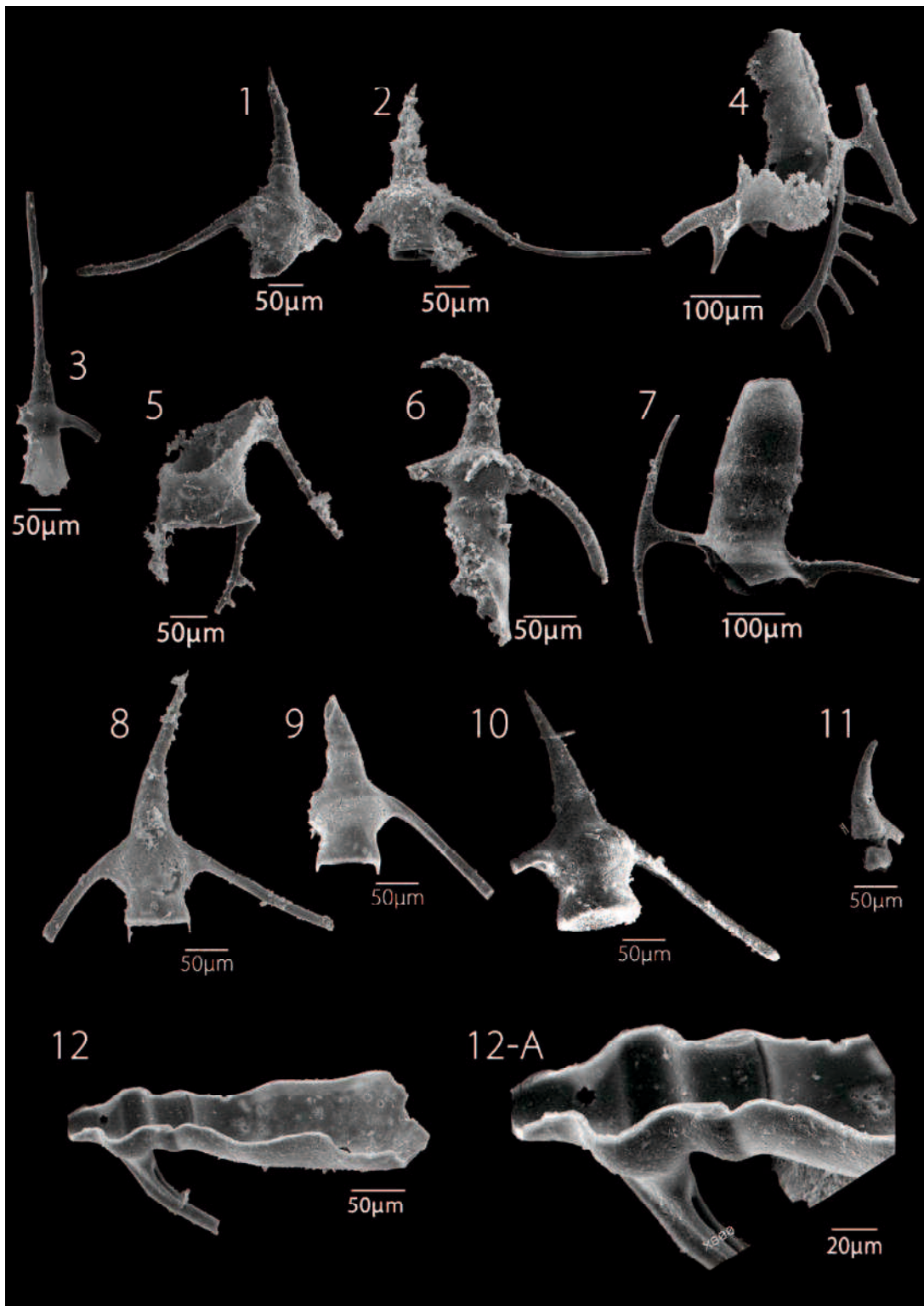
1-8: *Parafolliculatus grandis* sp. nov., 9-13: *P. cf. grandis* sp. nov.

Plate 3



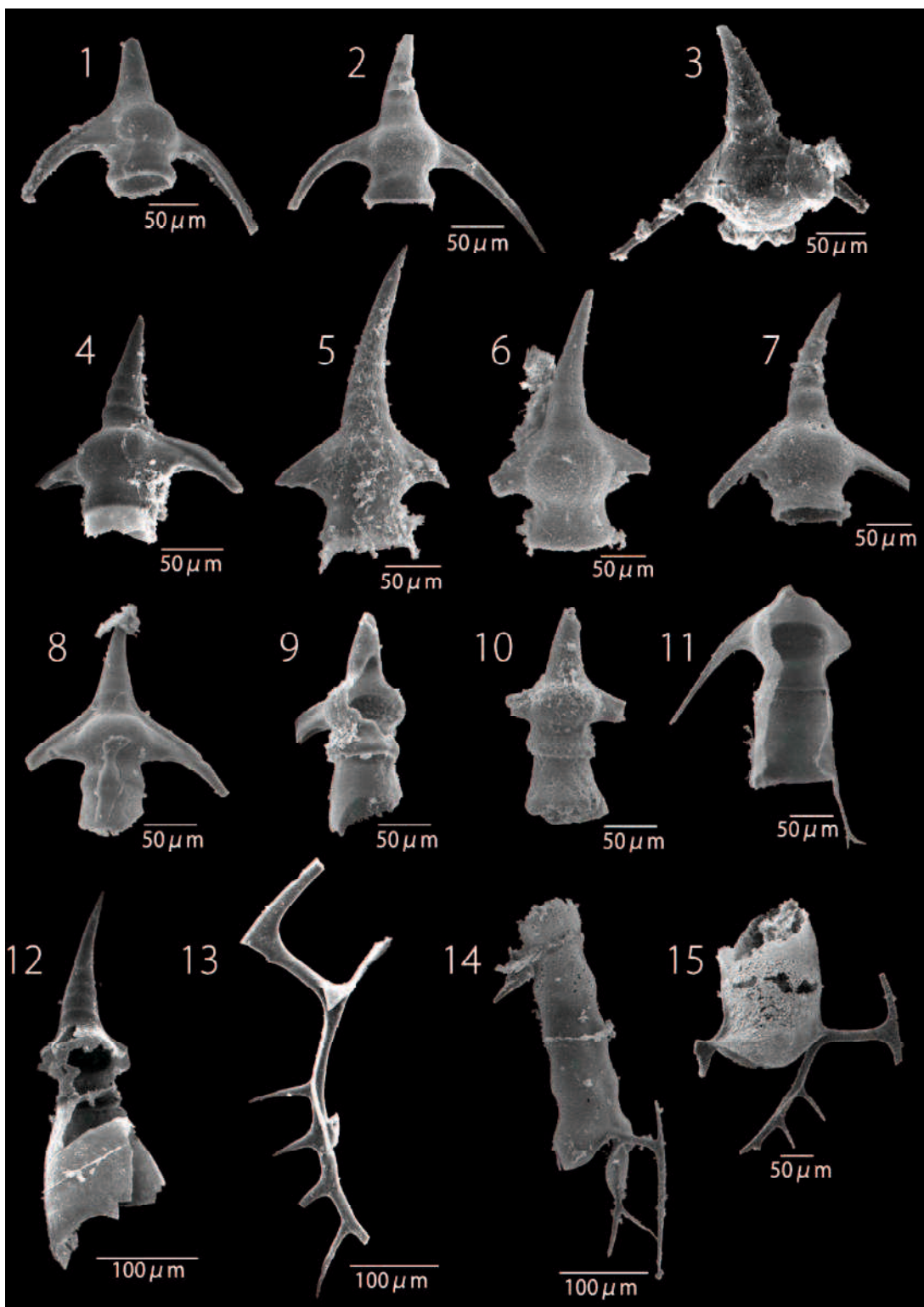
1-17: *Parafolliculellus* cf. *ishigai* (Wang in Wang et al., 1994), 18: *P. aff. fusiformis*

Plate 4



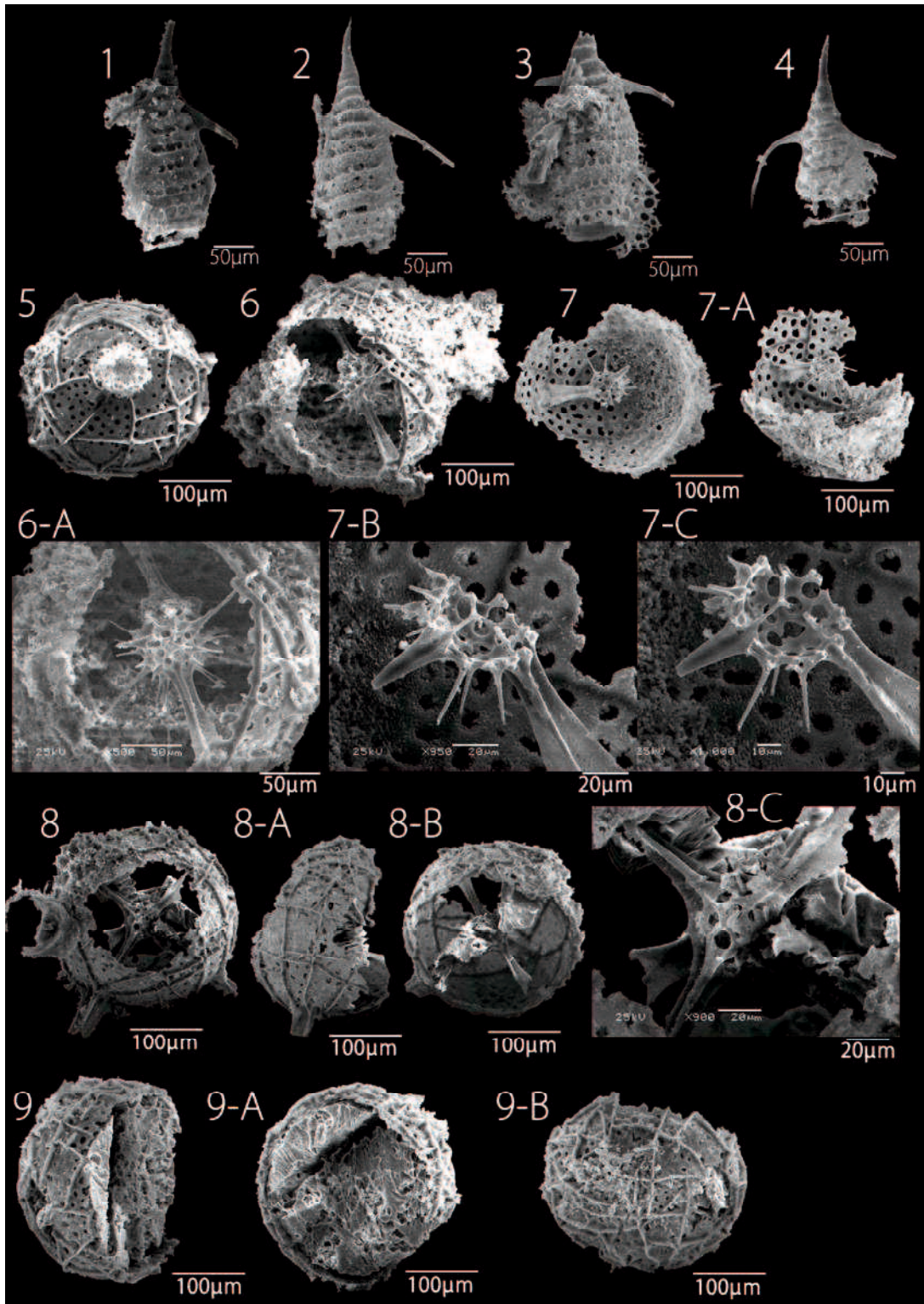
1, 2: *Parafollicucullus yanaharensis* Nishimura and Ishgia, 3: *P. lanceolataus* Ishiga and Imoto, 4-12: *P. spp.*

Plate 5



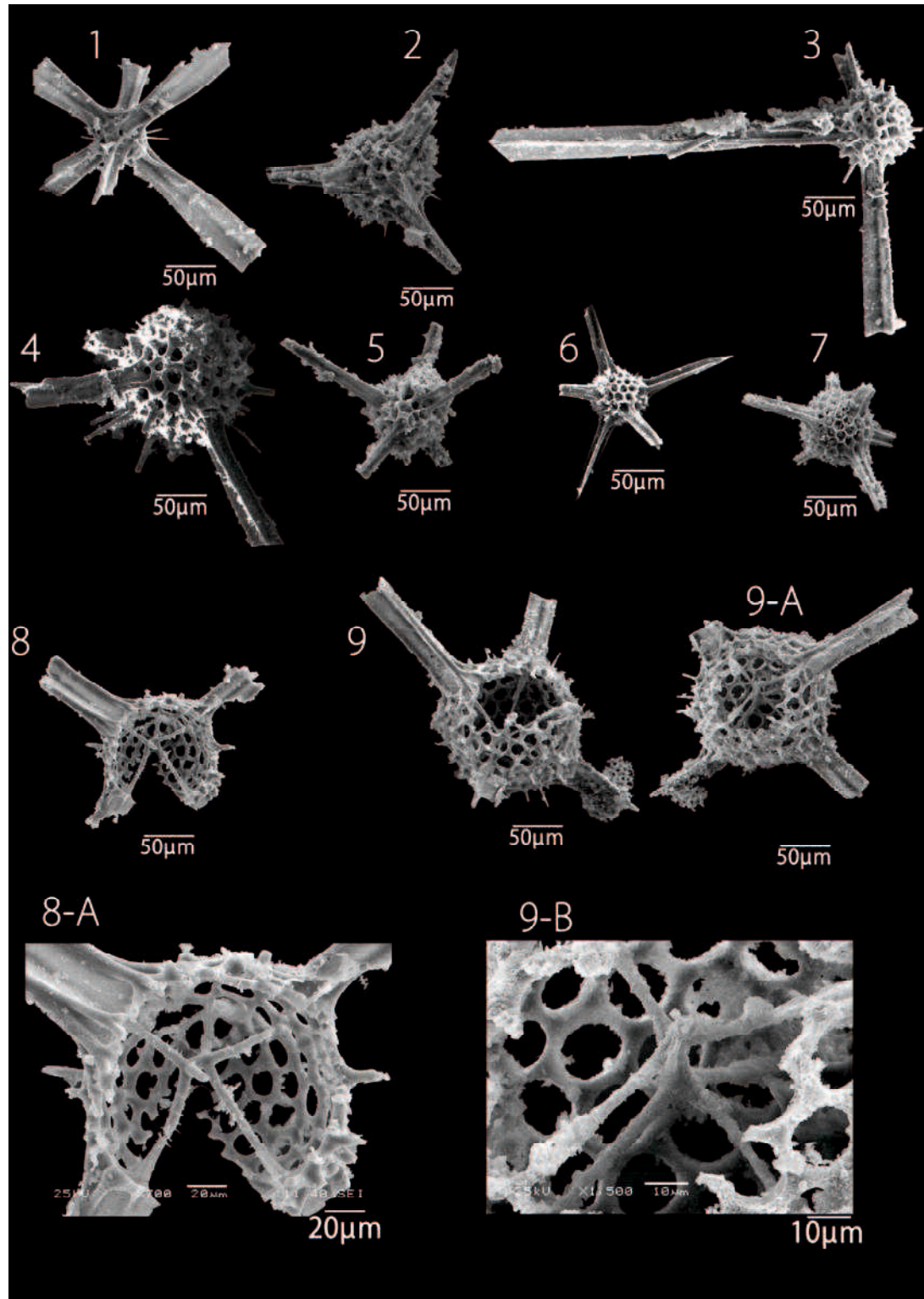
1-15: *Parafollicucullus* spp.

Pkate 6



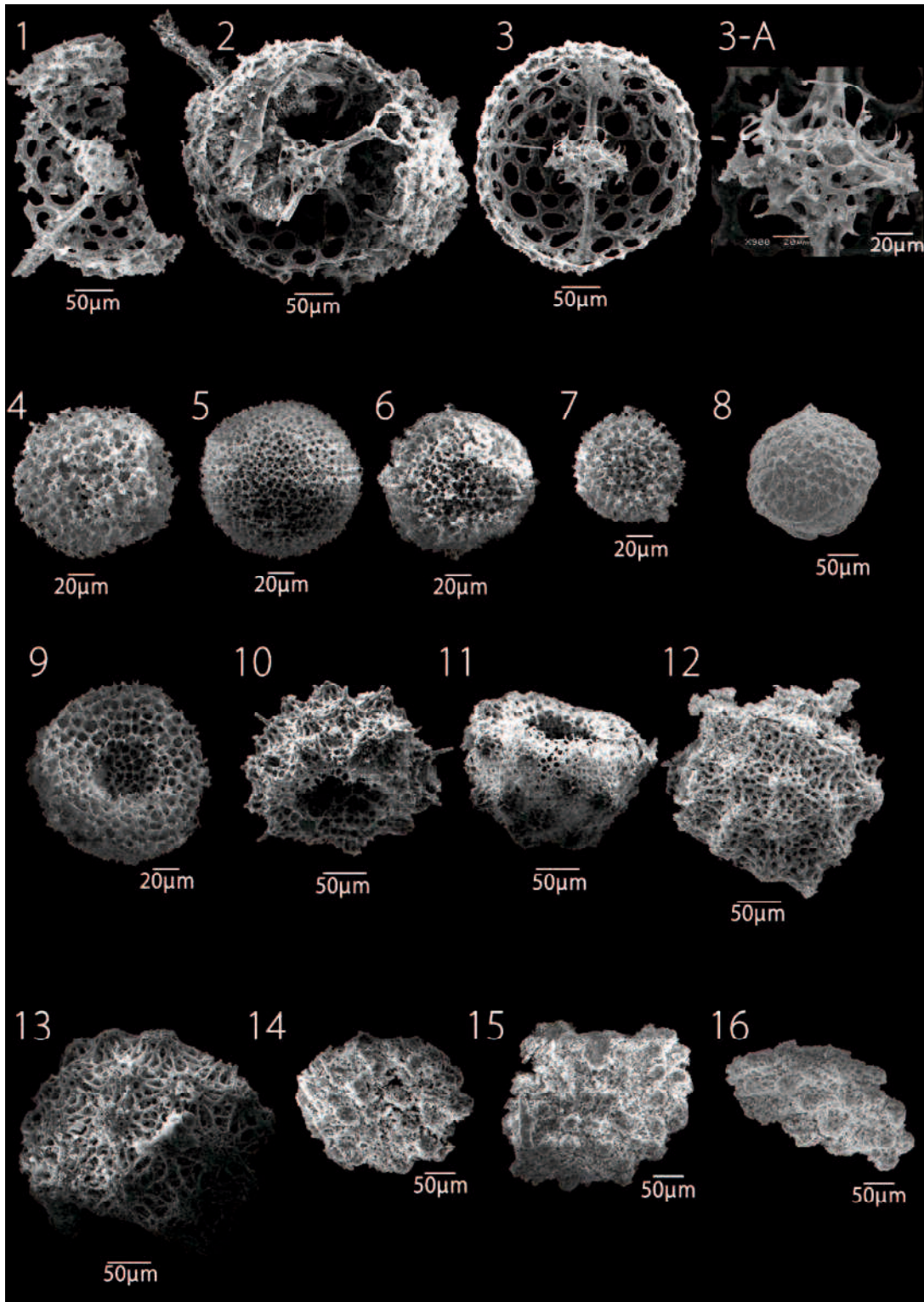
1-4: *Albaillella foremanae* Cornell and Simpson, 5-9: *Entactinosphaera strangulata* Nazarov and Ormiston

Plate 7



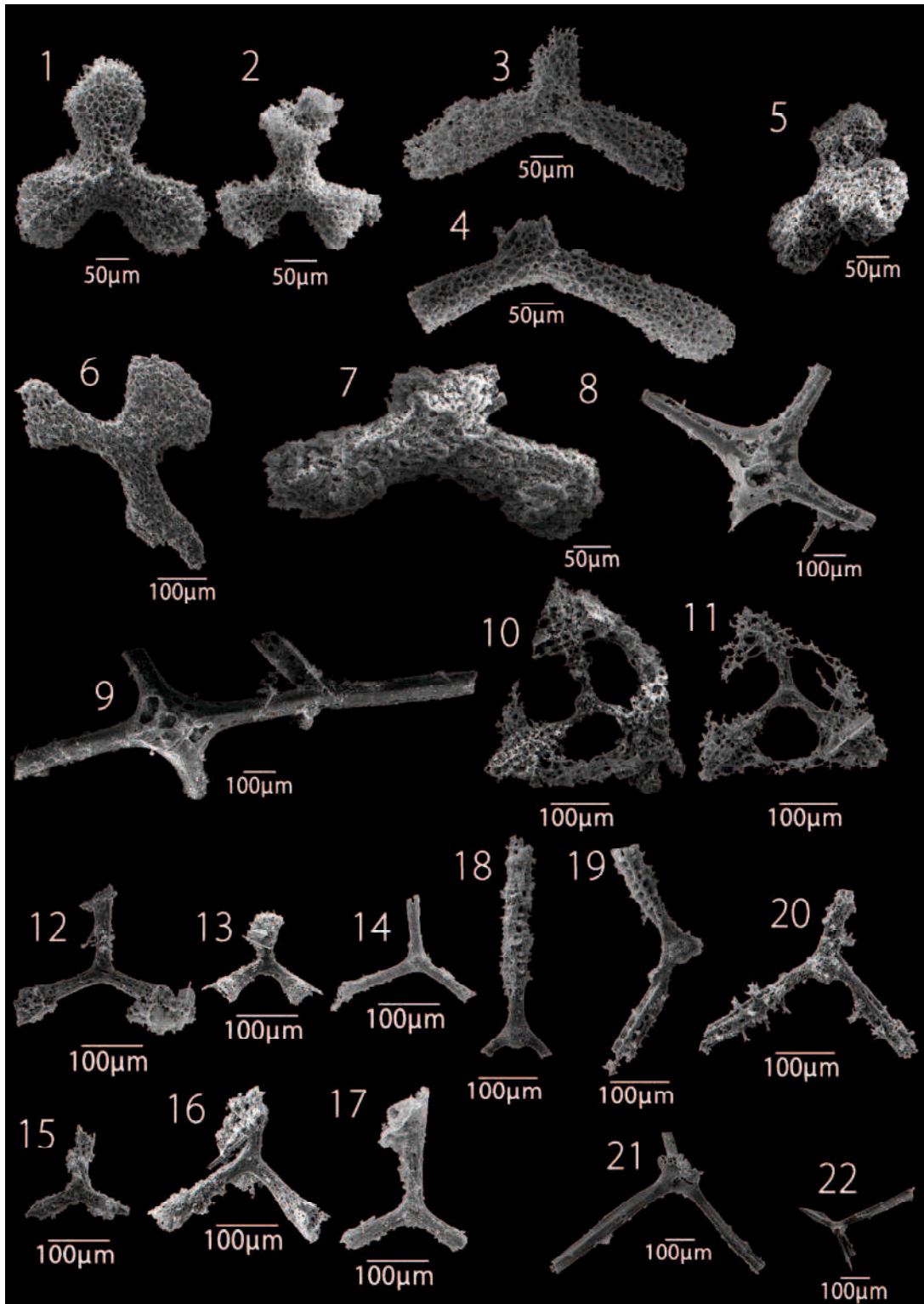
1-9: *Entactinia densissima?* Nazarov and Ormiston

Plate 8



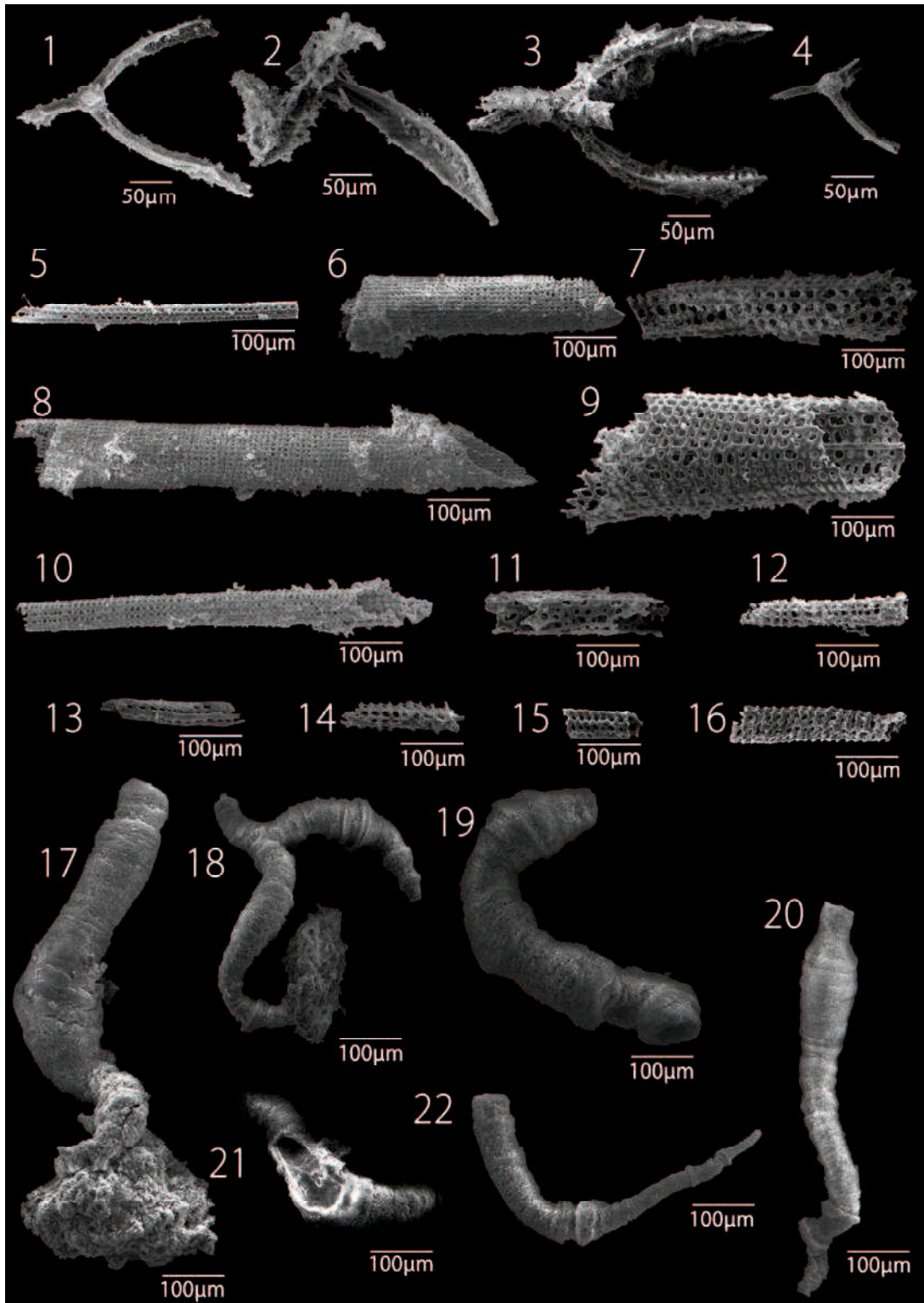
1-3: *Kashiwara?* sp., 4-8: *Cenosphaera?* sp. A, 9: *Cenosphaera?* sp. B, 10-13: *Hegleria mammilla* (Sheng and Wang), 14-16: *Hegleria* sp aff. *H. mammilla* (Sheng and Wang)

Plate 9



1-7: *Latentifistula texana* Nazarov and Ormiston, 8, 9: *Quadricaulis* sp. cf. *Q. femoris* Caridroit and De Wever, 10, 11: *Foremanhelena circula* Sheng, 12-17: *Ishigaum trifustis* De Wever and Caridroit, 18-20, *Pseudotormentus kamigoriensis* De Wever and Caridroit, 21, 22: *Ormistonella robusta* De Wever and Caridroit

Plate 10



1-4: *Quadricaulis adhaerens?* (Feng), 6-10: Arm of *Quadricaulis inflata* (Sashida and Tonishi), 11-16: *Pseudotormentus* sp. 17-22: unknown species

対象個体を対象とした解析結果：二重線の上のファイル名（○.jpg）が対象個体。

対象個体とその他の個体の結果並示される

1.jpg	類似度	標準化変量	偏差値
8.jpg	43.8301887	-0.2652402	47.347598
9.jpg	46	0.10625626	51.0625626
14.jpg	36.9459459	-1.4439011	35.5609887
28.jpg	47.7843137	0.41175114	54.1175114
29.jpg	40.0731707	-0.9084846	40.9151544
15.jpg	40.8653846	-0.7728485	42.271515
17.jpg	50.3333333	0.84817239	58.4817239
16.jpg	42.5192308	-0.4896912	45.1030884
12.jpg	49.1612903	0.64750525	56.4750525
13.jpg	43.35	-0.347454	46.5254602
39.jpg	50.9777778	0.95850864	59.5850864
11.jpg	41.6415094	-0.6399671	43.6003293
10.jpg	40.0943396	-0.9048602	40.951398
38.jpg	60.372093	2.56692263	75.6692263
21.jpg	42.2096774	-0.5426902	44.5730978
35.jpg	42.9814815	-0.4105486	45.8945144
34.jpg	48.3809524	0.51390249	55.1390249
20.jpg	42.7346939	-0.4528014	45.4719859
36.jpg	53.3529412	1.36516372	63.6516372
22.jpg	43.3653846	-0.34482	46.5518004
23.jpg	40.8666667	-0.772629	42.2737101
37.jpg	61.12	2.69497284	76.9497284
33.jpg	51.1136364	0.98176918	59.8176918
27.jpg	38.88	-1.112769	38.87231
26.jpg	40.8	-0.7840431	42.1595691
32.jpg	45.5777778	0.033967	50.33967
18.jpg	44.8367347	-0.092908	49.0709197
24.jpg	44.0425532	-0.228881	47.7111903
30.jpg	41.3548387	-0.6890484	43.1095163
31.jpg	42.4827586	-0.4959356	45.0406439
25.jpg	42.0576923	-0.5687118	44.3128819

<b>19.jpg</b>	56.037037	1.82471157	68.2471157
<b>4.jpg</b>	41.2923077	-0.6997544	43.0024561
<b>5.jpg</b>	44.3518519	-0.1759255	48.2407449
<b>7.jpg</b>	39.8983051	-0.9384236	40.6157645
<b>41.jpg</b>	58.75	2.28920179	72.8920179
<b>40.jpg</b>	45.3541667	-0.0043178	49.9568223
<b>6.jpg</b>	44.9272727	-0.0774069	49.2259311
<b>2.jpg</b>	38.6545455	-1.1513694	38.486306
<b>3.jpg</b>	45.8035714	0.07262545	50.7262545
<hr/>			
<b>ave</b>	45.3793856		
<b>1.jpg</b>	5.84073209		
<hr/>			

標準化変量が-1～1に収まる個数

32

<b>2.jpg</b>	類似度	標準化變量	偏差值
<b>8.jpg</b>	40.4693878	0.08356996	50.8356996
<b>9.jpg</b>	43.9767442	0.64145285	56.4145285
<b>14.jpg</b>	29.725	-1.6254409	33.7455913
<b>28.jpg</b>	38.5777778	-0.217311	47.8268897
<b>29.jpg</b>	36.0517241	-0.6191071	43.8089288
<b>15.jpg</b>	36.1111111	-0.609661	43.9033902
<b>17.jpg</b>	49.2325581	1.47744678	64.7744678
<b>16.jpg</b>	33.9019608	-0.9610502	40.3894982
<b>12.jpg</b>	37.9583333	-0.3158403	46.8415965
<b>13.jpg</b>	33.0416667	-1.0978892	39.0211076
<b>39.jpg</b>	49.4102564	1.50571161	65.0571161
<b>11.jpg</b>	33.1132075	-1.0865099	39.134901
<b>10.jpg</b>	35.5961538	-0.6915705	43.0842951
<b>38.jpg</b>	49.2702703	1.4834453	64.834453
<b>21.jpg</b>	35.8148148	-0.6567901	43.432099
<b>35.jpg</b>	40.1320755	0.0299168	50.299168
<b>34.jpg</b>	44.3611111	0.70259055	57.0259055
<b>20.jpg</b>	34.7209302	-0.8307843	41.6921575
<b>36.jpg</b>	43.8888889	0.62747851	56.2747851
<b>22.jpg</b>	37.2040816	-0.4358122	45.6418778
<b>23.jpg</b>	35.893617	-0.6442558	43.5574424
<b>37.jpg</b>	53.4285714	2.14486798	71.4486798
<b>33.jpg</b>	37.6170213	-0.3701297	46.2987028
<b>27.jpg</b>	34.44	-0.8754692	41.2453076
<b>26.jpg</b>	35.1724138	-0.7589709	42.4102908
<b>32.jpg</b>	38.4130435	-0.2435138	47.5648621
<b>18.jpg</b>	46.7954545	1.08979915	60.8979915
<b>24.jpg</b>	35.5909091	-0.6924047	43.0759527
<b>30.jpg</b>	40.3888889	0.07076574	50.7076574
<b>31.jpg</b>	36.3035714	-0.5790481	44.2095191
<b>25.jpg</b>	34	-0.945456	40.5454401

<b>19.jpg</b>	50.952381	1.75100316	67.5100316
<b>4.jpg</b>	38.66	-0.2042327	47.9576731
<b>5.jpg</b>	41.4107143	0.2332981	52.332981
<b>7.jpg</b>	36.8846154	-0.4866268	45.1337322
<b>41.jpg</b>	59.7297297	3.14713521	81.4713521
<b>40.jpg</b>	42.4651163	0.40101212	54.0101212
<b>6.jpg</b>	42.0454545	0.33426039	53.3426039
<b>3.jpg</b>	36.3555556	-0.5707795	44.2922055
<b>1.jpg</b>	38.6545455	-0.2051003	47.948997
<hr/>			
<b>ave</b>	39.9439914		
<b>2.jpg</b>	6.28690444		

標準化変量が-1~2に収まる個数

30

<b>3.jpg</b>	<b>類似度</b>	<b>標準化變量</b>	<b>偏差值</b>
<b>8.jpg</b>	45.32	0.17367613	51.7367613
<b>9.jpg</b>	43.5342466	-0.1227511	48.7724894
<b>14.jpg</b>	36.6666667	-1.262739	37.3726097
<b>28.jpg</b>	48.0222222	0.6222331	56.222331
<b>29.jpg</b>	38.7692308	-0.9137227	40.8627734
<b>15.jpg</b>	40.9714286	-0.5481675	44.5183246
<b>17.jpg</b>	45.4810127	0.20040352	52.0040352
<b>16.jpg</b>	42.8870968	-0.2301751	47.6982493
<b>12.jpg</b>	41.8474576	-0.4027506	45.9724942
<b>13.jpg</b>	37.6578947	-1.0981995	39.0180046
<b>39.jpg</b>	49.2372881	0.82392868	58.2392868
<b>11.jpg</b>	40.5636364	-0.6158592	43.8414075
<b>10.jpg</b>	40.7222222	-0.5895347	44.104653
<b>38.jpg</b>	62.24	2.98232148	79.8232148
<b>21.jpg</b>	42.3157895	-0.3250096	46.7499044
<b>35.jpg</b>	41.9655172	-0.3831532	46.1684679
<b>34.jpg</b>	49.6458333	0.89174538	58.9174538
<b>20.jpg</b>	43.5686275	-0.117044	48.8295601
<b>36.jpg</b>	53.1794872	1.47831633	64.7831633
<b>22.jpg</b>	47.1551724	0.47830665	54.7830665
<b>23.jpg</b>	40.3043478	-0.6589	43.411
<b>37.jpg</b>	48.5192308	0.70473432	57.0473432
<b>33.jpg</b>	56.5116279	2.03143698	70.3143698
<b>27.jpg</b>	37.8	-1.0746107	39.2538931
<b>26.jpg</b>	40.7291667	-0.5883819	44.1161805
<b>32.jpg</b>	49.254902	0.82685249	58.2685249
<b>18.jpg</b>	44.164557	-0.0181223	49.8187768
<b>24.jpg</b>	42.5102041	-0.2927376	47.072624
<b>30.jpg</b>	42.3387097	-0.3212049	46.7879509
<b>31.jpg</b>	39	-0.875416	41.2458401
<b>25.jpg</b>	39.0192308	-0.8722238	41.2777624

<b>19.jpg</b>	52.9821429	1.44555804	64.4555804
<b>4.jpg</b>	41.5428571	-0.4533129	45.4668708
<b>5.jpg</b>	38.0506329	-1.0330067	39.6699327
<b>7.jpg</b>	38.6794872	-0.9286197	40.713803
<b>41.jpg</b>	59.6	2.54409313	75.4409313
<b>40.jpg</b>	44.1111111	-0.0269941	49.7300591
<b>6.jpg</b>	41.9210526	-0.3905341	46.0946586
<b>2.jpg</b>	36.3555556	-1.3143821	36.856179
<b>1.jpg</b>	45.8035714	0.25394685	52.5394685
<hr/>			
<b>ave</b>	44.2737304		
<b>3.jpg</b>	6.0242565		

標準化変量が-1~3に収まる個数

30

4.jpg	類似度	標準化變量	偏差值
8.jpg	47.0533333	0.37348966	53.7348966
9.jpg	45.3731343	0.104159	51.04159
14.jpg	29.2647059	-2.4779718	25.2202816
28.jpg	47	0.36494049	53.6494049
29.jpg	37.9591837	-1.0842742	39.1572583
15.jpg	42.5806452	-0.3434683	46.5653169
17.jpg	50.3918919	0.90865018	59.0865018
16.jpg	43.1076923	-0.2589843	47.4101571
12.jpg	41.2769231	-0.5524509	44.4754911
13.jpg	34.212766	-1.6848132	33.1518676
39.jpg	50.4666667	0.92063634	59.2063634
11.jpg	42.1176471	-0.4176855	45.8231454
10.jpg	38.2580645	-1.0363645	39.636355
38.jpg	61.2777778	2.65362373	76.5362373
21.jpg	45.4142857	0.11075544	51.1075544
35.jpg	42.1527778	-0.4120541	45.8794589
34.jpg	45.2173913	0.07919388	50.7919388
20.jpg	43.6229508	-0.17639	48.2361004
36.jpg	50.8444444	0.98119294	59.8119294
22.jpg	47.0151515	0.36736923	53.6736923
23.jpg	38.6792453	-0.9688505	40.3114946
37.jpg	56.5178571	1.8906233	68.906233
33.jpg	49.5714286	0.77713247	57.7713247
27.jpg	42.0689655	-0.425489	45.7451104
26.jpg	41.6909091	-0.4860902	45.1390978
32.jpg	50.7	0.95803895	59.5803895
18.jpg	46.6811594	0.31383134	53.1383134
24.jpg	45.9454545	0.19590014	51.9590014
30.jpg	41.15625	-0.5717944	44.2820559
31.jpg	44.0483871	-0.1081939	48.9180615
25.jpg	41.5283019	-0.5121557	44.8784435

<b>19.jpg</b>	57.7818182	2.09323231	70.9323231
<b>5.jpg</b>	43.3289474	-0.2235178	47.764822
<b>7.jpg</b>	40.8795181	-0.6161537	43.8384633
<b>41.jpg</b>	56.8076923	1.93708297	69.3708297
<b>40.jpg</b>	45.2363636	0.08223508	50.8223508
<b>6.jpg</b>	40.2089552	-0.7236428	42.7635719
<b>2.jpg</b>	38.66	-0.9719355	40.280645
<b>3.jpg</b>	41.5428571	-0.5098225	44.9017751
<b>1.jpg</b>	41.2923077	-0.5499848	44.5001522
<hr/>			
<b>ave</b>	44.7233463		
<hr/>			
4.jpg	6.23842457		

標準化変量が-1~4に収まる個数

32

<b>5.jpg</b>	類似度	標準化變量	偏差值
<b>8.jpg</b>	46.2535211	0.13961837	51.3961837
<b>9.jpg</b>	42.8028169	-0.4913656	45.0863439
<b>14.jpg</b>	40	-1.0038791	39.9612088
<b>28.jpg</b>	46.7608696	0.23239037	52.3239037
<b>29.jpg</b>	42.4444444	-0.5568964	44.4310363
<b>15.jpg</b>	40.6451613	-0.8859071	41.1409287
<b>17.jpg</b>	44.2985075	-0.2178687	47.8213125
<b>16.jpg</b>	42.5079365	-0.5452864	44.5471357
<b>12.jpg</b>	42.4545455	-0.5550493	44.4495067
<b>13.jpg</b>	39.4	-1.1135931	38.8640693
<b>39.jpg</b>	50.5	0.91611497	59.1611497
<b>11.jpg</b>	43.0740741	-0.4417644	45.5823555
<b>10.jpg</b>	41.0344828	-0.8147171	41.8528286
<b>38.jpg</b>	59.826087	2.62145133	76.2145133
<b>21.jpg</b>	43.9285714	-0.285514	47.1448602
<b>35.jpg</b>	45.5849057	0.01735763	50.1735763
<b>34.jpg</b>	47.5208333	0.37135474	53.7135474
<b>20.jpg</b>	42.7962963	-0.4925579	45.0744206
<b>36.jpg</b>	56.7317073	2.05562365	70.5562365
<b>22.jpg</b>	46.4821429	0.18142335	51.8142335
<b>23.jpg</b>	43.4693878	-0.3694787	46.3052126
<b>37.jpg</b>	55.2280702	1.78067371	67.8067371
<b>33.jpg</b>	49.8292683	0.79346726	57.9346726
<b>27.jpg</b>	42.46	-0.5540519	44.4594807
<b>26.jpg</b>	42.4705882	-0.5521158	44.478842
<b>32.jpg</b>	52.0943396	1.20765046	62.0765046
<b>18.jpg</b>	47.4246575	0.35376836	53.5376836
<b>24.jpg</b>	45.0833333	-0.0743582	49.2564183
<b>30.jpg</b>	41.6349206	-0.7049231	42.9507688
<b>31.jpg</b>	44.3653846	-0.2056398	47.9436018
<b>25.jpg</b>	39.7924528	-1.0418305	39.5816951

<b>19.jpg</b>	53.5517241	1.47414281	64.7414281
<b>4.jpg</b>	43.3289474	-0.3951592	46.0484081
<b>7.jpg</b>	37.8765432	-1.3921672	36.0783283
<b>41.jpg</b>	60.244898	2.69803368	76.9803368
<b>40.jpg</b>	49	0.6418301	56.418301
<b>6.jpg</b>	42.8846154	-0.4764082	45.2359178
<b>2.jpg</b>	41.4107143	-0.7459207	42.5407927
<b>3.jpg</b>	38.0506329	-1.3603337	36.3966628
<b>1.jpg</b>	44.3518519	-0.2081144	47.9188563
<hr/>			
<b>ave</b>	45.4899808		
<hr/>			
5.jpg	5.46876684		

標準化変量が-1～5に収まる個数

29

<b>6.jpg</b>	類似度	標準化變量	偏差值
<b>8.jpg</b>	45.6197183	-0.3073958	46.9260422
<b>9.jpg</b>	45.5454545	-0.3170558	46.8294422
<b>14.jpg</b>	37.0967742	-1.4160339	35.8396611
<b>28.jpg</b>	50.1568627	0.28278187	52.8278187
<b>29.jpg</b>	45.8409091	-0.278624	47.2137602
<b>15.jpg</b>	40.6153846	-0.958344	40.4165603
<b>17.jpg</b>	45.8488372	-0.2775927	47.2240729
<b>16.jpg</b>	47.5606061	-0.0549311	49.4506887
<b>12.jpg</b>	46.0833333	-0.2470902	47.5290982
<b>13.jpg</b>	47.0882353	-0.1163757	48.8362434
<b>39.jpg</b>	50.6615385	0.34842852	53.4842852
<b>11.jpg</b>	45.1538462	-0.367995	46.3200501
<b>10.jpg</b>	39.6037736	-1.0899312	39.1006881
<b>38.jpg</b>	70.3272727	2.90648617	79.0648617
<b>21.jpg</b>	45.9272727	-0.2673901	47.3260994
<b>35.jpg</b>	44.3508772	-0.4724427	45.275573
<b>34.jpg</b>	57.0727273	1.18237606	61.8237606
<b>20.jpg</b>	43.6458333	-0.5641526	44.3584739
<b>36.jpg</b>	59.2608696	1.46700281	64.6700281
<b>22.jpg</b>	50.4328358	0.31867959	53.1867959
<b>23.jpg</b>	39.85	-1.0579028	39.4209717
<b>37.jpg</b>	59.5409836	1.50343918	65.0343918
<b>33.jpg</b>	61.6875	1.78265136	67.8265136
<b>27.jpg</b>	42.7234043	-0.6841393	43.1586068
<b>26.jpg</b>	42.6808511	-0.6896745	43.1032549
<b>32.jpg</b>	58.9827586	1.430827	64.30827
<b>18.jpg</b>	50.3820225	0.31206995	53.1206995
<b>24.jpg</b>	45.14	-0.3697961	46.3020395
<b>30.jpg</b>	44.2131148	-0.4903624	45.0963759
<b>31.jpg</b>	47.3793103	-0.0785135	49.2148648
<b>25.jpg</b>	40.0181818	-1.0360263	39.6397374

<b>19.jpg</b>	63.55	2.02491958	70.2491958
<b>4.jpg</b>	40.2089552	-1.011211	39.8878895
<b>5.jpg</b>	42.8846154	-0.6631695	43.3683052
<b>7.jpg</b>	43.5972222	-0.5704758	44.295242
<b>41.jpg</b>	63.3571429	1.99983332	69.9983332
<b>40.jpg</b>	46.3333333	-0.214571	47.8542904
<b>2.jpg</b>	42.0454545	-0.7723249	42.2767508
<b>3.jpg</b>	41.9210526	-0.7885067	42.1149327
<b>1.jpg</b>	44.9272727	-0.397467	46.0253304
<hr/>			
<b>ave</b>	47.9829035		
<hr/>			
6.jpg	7.6877604		

標準化変量が-1~6に収まる個数

27

<b>7.jpg</b>	類似度	標準化變量	偏差值
<b>8.jpg</b>	41.3692308	-0.2879886	47.1201138
<b>9.jpg</b>	45.4583333	0.51107094	55.1107094
<b>14.jpg</b>	35.6896552	-1.3978456	36.0215436
<b>28.jpg</b>	41.98	-0.168637	48.31363
<b>29.jpg</b>	39.875	-0.5799792	44.2002081
<b>15.jpg</b>	39.015873	-0.7478629	42.5213712
<b>17.jpg</b>	48.2368421	1.0540248	60.540248
<b>16.jpg</b>	40.2531646	-0.5060813	44.9391869
<b>12.jpg</b>	41.9473684	-0.1750136	48.249864
<b>13.jpg</b>	40.5675676	-0.4446432	45.553568
<b>39.jpg</b>	46.9259259	0.79785609	57.9785609
<b>11.jpg</b>	39.4754098	-0.6580639	43.4193612
<b>10.jpg</b>	38.7884615	-0.7923018	42.076982
<b>38.jpg</b>	58.3541667	3.03107105	80.3107105
<b>21.jpg</b>	37.8852459	-0.9688009	40.3119906
<b>35.jpg</b>	41.3225806	-0.2971046	47.0289539
<b>34.jpg</b>	44.9555556	0.41282215	54.1282215
<b>20.jpg</b>	40.2758621	-0.5016459	44.9835406
<b>36.jpg</b>	49.3541667	1.27236338	62.7236338
<b>22.jpg</b>	45.1384615	0.44856417	54.4856417
<b>23.jpg</b>	35.3541667	-1.4634041	35.365959
<b>37.jpg</b>	48.4166667	1.08916467	60.8916467
<b>33.jpg</b>	49.5869565	1.3178533	63.178533
<b>27.jpg</b>	41.2153846	-0.318052	46.81948
<b>26.jpg</b>	36.3125	-1.2761343	37.238657
<b>32.jpg</b>	46.8653846	0.7860256	57.860256
<b>18.jpg</b>	46.5352113	0.72150577	57.2150577
<b>24.jpg</b>	40.7446809	-0.4100331	45.8996686
<b>30.jpg</b>	41.2985075	-0.3018088	46.981912
<b>31.jpg</b>	42.6734694	-0.0331248	49.6687521
<b>25.jpg</b>	38.2678571	-0.8940341	41.0596587

<b>19.jpg</b>	49.8461538	1.36850356	63.6850356
<b>4.jpg</b>	40.8795181	-0.3836843	46.1631566
<b>5.jpg</b>	37.8765432	-0.9705016	40.2949845
<b>41.jpg</b>	55.64	2.50069041	75.0069041
<b>40.jpg</b>	46.2777778	0.67120019	56.7120019
<b>6.jpg</b>	43.5972222	0.14738757	51.4738757
<b>2.jpg</b>	36.8846154	-1.1643361	38.3566389
<b>3.jpg</b>	38.6794872	-0.8135967	41.8640331
<b>1.jpg</b>	39.8983051	-0.5754251	44.2457491
<hr/>			
<b>ave</b>	42.842982		
<b>7.jpg</b>	5.11739396		

標準化変量が-1～7に収まる個数

29

<b>8.jpg</b>	類似度	標準化变量	偏差值
<b>9.jpg</b>	49.9736842	0.3504987	53.504987
<b>14.jpg</b>	40.7647059	-1.127284	38.7271597
<b>28.jpg</b>	46.2444444	-0.2479397	47.5206032
<b>29.jpg</b>	43.7924528	-0.6414156	43.5858443
<b>15.jpg</b>	45.3636364	-0.3892847	46.1071532
<b>17.jpg</b>	51.2133333	0.54942762	55.4942762
<b>16.jpg</b>	44.1911765	-0.5774316	44.225684
<b>12.jpg</b>	43.4923077	-0.6895804	43.1041956
<b>13.jpg</b>	41.6097561	-0.9916772	40.0832283
<b>39.jpg</b>	57.546875	1.56578341	65.6578341
<b>11.jpg</b>	48.084507	0.04733875	50.4733875
<b>10.jpg</b>	39.75	-1.2901159	37.0988414
<b>38.jpg</b>	65.4468085	2.83350116	78.3350116
<b>21.jpg</b>	44.9047619	-0.4629212	45.3707884
<b>35.jpg</b>	45.7358491	-0.329555	46.7044502
<b>34.jpg</b>	53.9259259	0.98472264	59.8472264
<b>20.jpg</b>	46.0517241	-0.2788659	47.2113411
<b>36.jpg</b>	55.1428571	1.18000597	61.8000597
<b>22.jpg</b>	47.0857143	-0.1129395	48.8706053
<b>23.jpg</b>	40.9019608	-1.1052585	38.9474153
<b>37.jpg</b>	58.6229508	1.7384634	67.384634
<b>33.jpg</b>	57.0612245	1.48785013	64.8785013
<b>27.jpg</b>	45.1818182	-0.4184614	45.8153861
<b>26.jpg</b>	42.5925926	-0.8339595	41.6604052
<b>32.jpg</b>	49.2	0.22634409	52.2634409
<b>18.jpg</b>	50.2631579	0.39695111	53.9695111
<b>24.jpg</b>	42.9811321	-0.7716098	42.2839021
<b>30.jpg</b>	44.0454545	-0.6008159	43.9918411
<b>31.jpg</b>	45.05	-0.4396145	45.6038548
<b>25.jpg</b>	44.4313725	-0.5388869	44.6111313
<b>19.jpg</b>	59.6666667	1.90595052	69.0595052

<b>4.jpg</b>	47.0533333	-0.1181357	48.8186429
<b>5.jpg</b>	46.2535211	-0.2464831	47.5351687
<b>7.jpg</b>	41.3692308	-1.0302747	39.6972526
<b>41.jpg</b>	61.8367347	2.25418557	72.5418557
<b>40.jpg</b>	49.509434	0.27599956	52.7599956
<b>6.jpg</b>	45.6197183	-0.3481907	46.5180929
<b>2.jpg</b>	40.4693878	-1.1746743	38.253257
<b>3.jpg</b>	45.32	-0.3962871	46.0371291
<b>1.jpg</b>	43.8301887	-0.63536	43.6463998
<hr/>			
<b>ave</b>	47.78951		
<hr/>			
8.jpg	6.23161859		

標準化変量が-1~8に収まる個数

28

<b>9.jpg</b>	類似度	標準化變量	偏差值
<b>8.jpg</b>	49.9736842	0.08244041	50.8244041
<b>14.jpg</b>	40.6896552	-1.4351686	35.6483138
<b>28.jpg</b>	50.6041667	0.1855019	51.855019
<b>29.jpg</b>	44.7291667	-0.7748519	42.2514805
<b>15.jpg</b>	43.1296296	-1.0363194	39.6368055
<b>17.jpg</b>	53.4	0.64252136	56.4252136
<b>16.jpg</b>	50.8448276	0.22484142	52.2484142
<b>12.jpg</b>	50.05	0.09491534	50.9491534
<b>13.jpg</b>	45.5	-0.6488481	43.5115193
<b>39.jpg</b>	54.7971014	0.87089783	58.7089783
<b>11.jpg</b>	47.9107143	-0.2547819	47.452181
<b>10.jpg</b>	44.4444444	-0.8213939	41.7860608
<b>38.jpg</b>	67.2	2.89833126	78.9833126
<b>21.jpg</b>	49.25	-0.0358563	49.6414375
<b>35.jpg</b>	47.4107143	-0.3365141	46.6348585
<b>34.jpg</b>	53.14	0.6000206	56.000206
<b>20.jpg</b>	44.8363636	-0.757329	42.4267095
<b>36.jpg</b>	55.755102	1.02749691	60.2749691
<b>22.jpg</b>	53.2241379	0.61377416	56.1377416
<b>23.jpg</b>	44.2666667	-0.8504543	41.4954573
<b>37.jpg</b>	59.109375	1.57580141	65.7580141
<b>33.jpg</b>	60.6481481	1.82733617	68.2733617
<b>27.jpg</b>	44.7924528	-0.7645069	42.3549309
<b>26.jpg</b>	48.1458333	-0.2163483	47.8365171
<b>32.jpg</b>	56.6	1.16560772	61.6560772
<b>18.jpg</b>	50.5753425	0.18079017	51.8079017
<b>24.jpg</b>	47.627451	-0.3010854	46.9891461
<b>30.jpg</b>	43.3269231	-1.004069	39.9593103
<b>31.jpg</b>	46.4	-0.50173	44.9826996
<b>25.jpg</b>	46.26	-0.5246151	44.7538494
<b>19.jpg</b>	60.245614	1.76153614	67.6153614

<b>4.jpg</b>	45.3731343	-0.6695861	43.304139
<b>5.jpg</b>	42.8028169	-1.0897417	39.1025828
<b>7.jpg</b>	45.4583333	-0.6556591	43.4434091
<b>41.jpg</b>	63.2166667	2.24719773	72.4719773
<b>40.jpg</b>	47.9791667	-0.2435924	47.5640763
<b>6.jpg</b>	45.5454545	-0.6414179	43.5858213
<b>2.jpg</b>	43.9767442	-0.8978463	41.021537
<b>3.jpg</b>	43.5342466	-0.9701789	40.2982105
<b>1.jpg</b>	46	-0.5671158	44.3288417
<hr/>			
<b>ave</b>	49.4693519		
<b>9.jpg</b>	6.11753677		
<hr/>			

標準化変量が-1~9に収まる個数

29

10.jpg	類似度	標準化變量	偏差值
8.jpg	39.75	-0.2977691	47.0223094
9.jpg	44.4444444	0.51775591	55.1775591
14.jpg	31.0555556	-1.8081792	31.918208
28.jpg	39.26	-0.3828925	46.1710751
29.jpg	35.38	-1.0569311	39.4306889
15.jpg	43.4210526	0.33997096	53.3997096
17.jpg	46.06	0.79841231	57.9841231
16.jpg	39.8888889	-0.2736411	47.263589
12.jpg	40.4313725	-0.1794001	48.2059986
13.jpg	39.2173913	-0.3902945	46.0970547
39.jpg	48.0869565	1.15053782	61.5053782
11.jpg	36.6666667	-0.8334097	41.6659028
38.jpg	56.2972973	2.57684885	75.7684885
21.jpg	40.1090909	-0.2353873	47.6461268
35.jpg	39.7272727	-0.3017173	46.9828273
34.jpg	45.2439024	0.65663879	56.5663879
20.jpg	39.5818182	-0.3269858	46.7301418
36.jpg	45.6097561	0.72019536	57.2019536
22.jpg	38.3666667	-0.5380835	44.6191649
23.jpg	37.5918367	-0.672688	43.2731203
37.jpg	54.2888889	2.22794554	72.2794554
33.jpg	43.1777778	0.29770893	52.9770893
27.jpg	38.1090909	-0.5828299	44.1717009
26.jpg	36.0434783	-0.9416708	40.5832919
32.jpg	41.0652174	-0.0692878	49.3071221
18.jpg	42.8809524	0.24614404	52.4614404
24.jpg	38.5	-0.5149207	44.8507932
30.jpg	37.6896552	-0.6556948	43.4430517
31.jpg	35.2131148	-1.0859226	39.1407736
25.jpg	38.3090909	-0.5480857	44.5191435
19.jpg	50.0425532	1.4902666	64.902666

<b>4.jpg</b>	38.2580645	-0.55695	44.4304998
<b>5.jpg</b>	41.0344828	-0.0746271	49.2537295
<b>7.jpg</b>	38.7884615	-0.4648088	45.3519124
<b>41.jpg</b>	60.5365854	3.31330346	83.1330346
<b>40.jpg</b>	42.4186047	0.1658244	51.658244
<b>6.jpg</b>	39.6037736	-0.3231717	46.768283
<b>2.jpg</b>	35.5961538	-1.0193806	39.8061941
<b>3.jpg</b>	40.7222222	-0.1288734	48.7112665
<b>1.jpg</b>	40.0943396	-0.2379499	47.6205007
<hr/>			
<b>ave</b>	41.4640619		
<b>10.jpg</b>	5.7563467		

標準化変量が-1~10に収まる個数

31

11.jpg	類似度	標準化變量	偏差值
8.jpg	48.084507	0.81169761	58.1169761
9.jpg	47.9107143	0.78433771	57.8433771
14.jpg	33.1176471	-1.5445097	34.5549031
28.jpg	41.1153846	-0.2854395	47.1456052
29.jpg	37.2954545	-0.8868046	41.1319543
15.jpg	40.2807018	-0.4168422	45.8315782
17.jpg	50.7708333	1.23460138	62.3460138
16.jpg	37.3684211	-0.8753176	41.2468242
12.jpg	42.7454545	-0.0288203	49.7117966
13.jpg	36.025641	-1.0867092	39.1329085
39.jpg	51.1052632	1.2872501	62.872501
10.jpg	36.6666667	-0.9857936	40.1420642
38.jpg	58.42	2.43879668	74.3879668
21.jpg	39.6071429	-0.5228794	44.7712059
35.jpg	43.2083333	0.04404988	50.4404988
34.jpg	44.6444444	0.2701344	52.701344
20.jpg	38.5849057	-0.6838085	43.1619152
36.jpg	52.6444444	1.52956079	65.2956079
22.jpg	41.516129	-0.222351	47.7764903
23.jpg	36.2916667	-1.0448292	39.5517081
37.jpg	52.6595745	1.53194269	65.3194269
33.jpg	48.0877193	0.81220331	58.1220331
27.jpg	37.3461538	-0.8788231	41.2117693
26.jpg	39.4807692	-0.5427742	44.572258
32.jpg	41.877193	-0.1655093	48.3449072
18.jpg	44.9245283	0.31422753	53.1422753
24.jpg	38.5833333	-0.684056	43.15944
30.jpg	38.1044776	-0.7594414	42.4055855
31.jpg	43.2075472	0.04392611	50.4392611
25.jpg	36.0701754	-1.0796982	39.2030182
19.jpg	54.9230769	1.88828203	68.8828203

<b>4.jpg</b>	42.1176471	-0.127655	48.7234499
<b>5.jpg</b>	43.0740741	0.02291367	50.2291367
<b>7.jpg</b>	39.4754098	-0.5436179	44.5638208
<b>41.jpg</b>	58.3333333	2.42515289	74.2515289
<b>40.jpg</b>	41	-0.3036043	46.9639572
<b>6.jpg</b>	45.1538462	0.35032865	53.5032865
<b>2.jpg</b>	33.1132075	-1.5452086	34.547914
<b>3.jpg</b>	40.5636364	-0.3723003	46.2769973
<b>1.jpg</b>	41.6415094	-0.2026125	47.9738746
<hr/>			
<b>ave</b>	42.9285242		
<b>11.jpg</b>	6.35209813		

標準化変量が-1~11に収まる個数

28

12.jpg	類似度	標準化變量	偏差值
8.jpg	43.4923077	-0.3351831	46.6481691
9.jpg	50.05	0.78917098	57.8917098
14.jpg	34.3513514	-1.9024526	30.9754735
28.jpg	45.8367347	0.0667824	50.667824
29.jpg	40.9387755	-0.7730009	42.2699912
15.jpg	41.0588235	-0.752418	42.4758205
17.jpg	51.3278689	1.00826894	60.0826894
16.jpg	39.3103448	-1.0522047	39.4779531
13.jpg	39.1282051	-1.0834336	39.1656642
39.jpg	53.7647059	1.42607867	64.2607867
11.jpg	42.7454545	-0.4632354	45.3676464
10.jpg	40.4313725	-0.859998	41.4000197
38.jpg	54.8627451	1.61434381	66.1434381
21.jpg	41.96	-0.5979061	44.0209394
35.jpg	41.2580645	-0.7182569	42.8174306
34.jpg	50.5869565	0.88123526	58.8123526
20.jpg	43.74	-0.2927148	47.0728518
36.jpg	53.5686275	1.3924599	63.924599
22.jpg	45.4081633	-0.0066986	49.9330137
23.jpg	38.6415094	-1.1668804	38.3311964
37.jpg	59.3559322	2.38472659	73.8472659
33.jpg	51.2826087	1.00050883	60.0050883
27.jpg	41.44	-0.6870631	43.1293695
26.jpg	39.8431373	-0.9608544	40.3914564
32.jpg	47.0983607	0.28309543	52.8309543
18.jpg	46.7457627	0.22264049	52.2264049
24.jpg	46.2692308	0.14093634	51.4093634
30.jpg	43.4927536	-0.3351066	46.6489336
31.jpg	44.9245283	-0.0896206	49.1037937
25.jpg	41.2115385	-0.7262341	42.737659
19.jpg	57.7358491	2.10695401	71.0695401

<b>4.jpg</b>	41.2769231	-0.7150235	42.8497647
<b>5.jpg</b>	42.4545455	-0.5131134	44.868866
<b>7.jpg</b>	41.9473684	-0.6000718	43.9992818
<b>41.jpg</b>	55.84	1.78189979	67.8189979
<b>40.jpg</b>	49.4583333	0.68772632	56.8772632
<b>6.jpg</b>	46.0833333	0.10906316	51.0906316
<b>2.jpg</b>	37.9583333	-1.2840148	37.1598517
<b>3.jpg</b>	41.8474576	-0.6172021	43.827979
<b>1.jpg</b>	49.1612903	0.63679659	56.3679659
<hr/>			
<b>ave</b>	45.4472324		
<b>12.jpg</b>	5.83240856		
<hr/>			

標準化変量が-1~12に収まる個数

27

13.jpg	類似度	標準化變量	偏差值
8.jpg	41.6097561	0.01661247	50.1661247
9.jpg	45.5	0.54415078	55.4415078
14.jpg	31.4897959	-1.3557094	36.4429064
28.jpg	39	-0.3372847	46.627153
29.jpg	35.25	-0.8458052	41.5419483
15.jpg	35.9166667	-0.7554015	42.4459847
17.jpg	48.56	0.95910348	59.5910348
16.jpg	41.1162791	-0.0503057	49.4969429
12.jpg	39.1282051	-0.3198994	46.8010062
39.jpg	50.5151515	1.2242327	62.242327
11.jpg	36.025641	-0.740624	42.5937599
10.jpg	39.2173913	-0.3078053	46.9219475
38.jpg	57.4736842	2.16784771	71.6784771
21.jpg	39.1538462	-0.3164223	46.8357768
35.jpg	38.25	-0.4389888	45.6101121
34.jpg	52.21875	1.45524995	64.5524995
20.jpg	34.5434783	-0.9416134	40.5838663
36.jpg	51.0232558	1.29313441	62.9313441
22.jpg	38	-0.4728902	45.2710984
23.jpg	34.2272727	-0.9844926	40.1550743
37.jpg	61.1212121	2.66247241	76.6247241
33.jpg	37.5333333	-0.5361727	44.638273
27.jpg	34.86	-0.8986913	41.013087
26.jpg	33.975	-1.0187021	39.8129787
32.jpg	37.9534884	-0.4791974	45.2080261
18.jpg	46.4848485	0.67770161	56.7770161
24.jpg	39.0789474	-0.326579	46.7342099
30.jpg	36.5434783	-0.6704025	43.2959754
31.jpg	38.6875	-0.3796614	46.203386
25.jpg	38.6744186	-0.3814353	46.1856469
19.jpg	53.6571429	1.65030387	66.5030387

<b>4.jpg</b>	34.212766	-0.9864598	40.1354023
<b>5.jpg</b>	39.4	-0.2830425	47.1695748
<b>7.jpg</b>	40.5675676	-0.124714	48.7528602
<b>41.jpg</b>	58.8	2.34770337	73.4770337
<b>40.jpg</b>	38.5833333	-0.393787	46.0621303
<b>6.jpg</b>	47.0882353	0.75952415	57.5952415
<b>2.jpg</b>	33.0416667	-1.1452672	38.5473278
<b>3.jpg</b>	37.6578947	-0.5192815	44.807185
<b>1.jpg</b>	43.35	0.25259904	52.5259904
<b>ave</b>	41.4872502		
<b>13.jpg</b>	7.37433443		

標準化変量が-1~13に収まる個数

30

14.jpg	類似度	標準化變量	偏差值
8.jpg	40.7647059	0.9099895	59.099895
9.jpg	40.6896552	0.89622064	58.9622064
28.jpg	31.25	-0.8355852	41.6441476
29.jpg	30.7391304	-0.9293097	40.7069027
15.jpg	35.0357143	-0.1410554	48.5894461
17.jpg	39	0.5862353	55.862353
16.jpg	36.125	0.05878574	50.5878574
12.jpg	34.3513514	-0.2666091	47.333909
13.jpg	31.4897959	-0.7915921	42.0840789
39.jpg	46.8695652	2.02999135	70.2999135
11.jpg	33.1176471	-0.4929454	45.0705462
10.jpg	31.0555556	-0.8712582	41.2874185
38.jpg	42.7692308	1.27774106	62.7774106
21.jpg	33.9512195	-0.3400176	46.5998242
35.jpg	31.8717949	-0.7215103	42.7848969
34.jpg	40.3809524	0.8395858	58.395858
20.jpg	32.2857143	-0.6455724	43.5442764
36.jpg	39.3125	0.64356677	56.4356677
22.jpg	36.5555556	0.13777577	51.3777577
23.jpg	29.95	-1.0740842	39.2591583
37.jpg	50.2608696	2.65216247	76.5216247
33.jpg	31.25	-0.8355852	41.6441476
27.jpg	31.3	-0.8264122	41.735878
26.jpg	27.7234043	-1.482577	35.1742299
32.jpg	35.25	-0.1017424	48.9825762
18.jpg	36.6551724	0.15605155	51.5605155
24.jpg	30.40625	-0.9903802	40.0961978
30.jpg	35.4878049	-0.0581145	49.4188547
31.jpg	30.5952381	-0.9557083	40.4429168
25.jpg	34.3333333	-0.2699147	47.300853
19.jpg	45.2413793	1.7312832	67.312832

<b>4.jpg</b>	29.2647059	-1.1998087	38.0019129
<b>5.jpg</b>	40	0.76969601	57.6969601
<b>7.jpg</b>	35.6896552	-0.0210829	49.7891707
<b>41.jpg</b>	49.173913	2.45274865	74.5274865
<b>40.jpg</b>	31.5517241	-0.7802307	42.1976929
<b>6.jpg</b>	37.0967742	0.23706813	52.3706813
<b>2.jpg</b>	29.725	-1.1153628	38.8463717
<b>3.jpg</b>	36.6666667	0.1581603	51.581603
<b>1.jpg</b>	36.9459459	0.20939707	52.0939707
<hr/>			
<b>ave</b>	35.8045731		
<b>14.jpg</b>	5.45075825		

標準化変量が-1~14に収まる個数

31

15.jpg	類似度	標準化变量	偏差值
8.jpg	45.3636364	0.48588582	54.8588582
9.jpg	43.1296296	0.04908818	50.4908818
14.jpg	35.0357143	-1.533451	34.66549
28.jpg	44.7959184	0.37488442	53.7488442
29.jpg	38.3076923	-0.893707	41.0629295
17.jpg	46.2321429	0.65569802	56.5569802
16.jpg	42.0535714	-0.161305	48.3869504
12.jpg	41.0588235	-0.3558001	46.4419986
13.jpg	35.9166667	-1.3612054	36.3879464
39.jpg	51.5581395	1.69704798	66.9704798
11.jpg	40.2807018	-0.5079401	44.9205987
10.jpg	43.4210526	0.10606781	51.0606781
38.jpg	55.0697674	2.38364878	73.8364878
21.jpg	40.3877551	-0.4870088	45.1299116
35.jpg	43.2833333	0.07914064	50.7914064
34.jpg	49.3023256	1.25598654	62.5598654
20.jpg	38.4482759	-0.8662199	41.3378014
36.jpg	52.1538462	1.81352178	68.1352178
22.jpg	40.4150943	-0.4816634	45.1833659
23.jpg	38.1111111	-0.932143	40.6785699
37.jpg	46.64	0.7354431	57.354431
33.jpg	45.787234	0.56870852	55.6870852
27.jpg	38.1785714	-0.918953	40.8104697
26.jpg	37.5111111	-1.0494563	39.5054374
32.jpg	47.490566	0.90174754	59.0174754
18.jpg	43.212766	0.06534316	50.6534316
24.jpg	41.1041667	-0.3469346	46.5306544
30.jpg	40.8923077	-0.3883577	46.1164233
31.jpg	38.5	-0.8561066	41.4389335
25.jpg	39.7857143	-0.6047211	43.9527889
19.jpg	52.0434783	1.79194242	67.9194242

<b>4.jpg</b>	42.5806452	-0.0582504	49.4174959
<b>5.jpg</b>	40.6451613	-0.4366802	45.6331975
<b>7.jpg</b>	39.015873	-0.7552421	42.4475792
<b>41.jpg</b>	56.4318182	2.64995977	76.4995977
<b>40.jpg</b>	42.4347826	-0.0867698	49.1323024
<b>6.jpg</b>	40.6153846	-0.4425022	45.5749776
<b>2.jpg</b>	36.1111111	-1.3231872	36.7681282
<b>3.jpg</b>	40.9714286	-0.3728878	46.2711221
<b>1.jpg</b>	40.8653846	-0.3936217	46.0637828
<hr/>			
<b>ave</b>	42.8785676		
<b>15.jpg</b>	5.11451183		
<hr/>			

標準化変量が-1~15に収まる個数

30

16.jpg	類似度	標準化变量	偏差值
8.jpg	44.1911765	0.07231446	50.7231446
9.jpg	50.8448276	1.09493277	60.9493277
14.jpg	36.125	-1.1673988	38.3260116
28.jpg	39.6296296	-0.6287625	43.7123752
29.jpg	38.4130435	-0.815743	41.8425698
15.jpg	42.0535714	-0.2562201	47.4377994
17.jpg	53.6774194	1.53028175	65.3028175
12.jpg	39.3103448	-0.6778343	43.2216575
13.jpg	41.1162791	-0.4002752	45.9972485
39.jpg	50.4285714	1.0309572	60.309572
11.jpg	37.3684211	-0.976294	40.2370603
10.jpg	39.8888889	-0.5889162	44.1108381
38.jpg	61.3333333	2.70694066	77.0694066
21.jpg	34.1454545	-1.4716407	35.2835926
35.jpg	45.3703704	0.25354808	52.5354808
34.jpg	53.5555556	1.51155216	65.1155216
20.jpg	40.375	-0.5142044	44.8579559
36.jpg	47.6875	0.60967423	56.0967423
22.jpg	39.90625	-0.5862479	44.1375208
23.jpg	38.2291667	-0.8440036	41.5599644
37.jpg	53.8	1.54912152	65.4912152
33.jpg	46.0416667	0.35672149	53.5672149
27.jpg	38.9152542	-0.7385568	42.6144316
26.jpg	36.9803922	-1.0359312	39.6406878
32.jpg	43.8679245	0.02263296	50.2263296
18.jpg	49.047619	0.81871475	58.1871475
24.jpg	37.7608696	-0.9159775	40.8402254
30.jpg	41.557377	-0.3324816	46.6751843
31.jpg	38.4318182	-0.8128575	41.8714252
25.jpg	37.953125	-0.8864292	41.1357082
19.jpg	55.5769231	1.82222181	68.2222181

<b>4.jpg</b>	43.1076923	-0.0942093	49.0579074
<b>5.jpg</b>	42.5079365	-0.1863874	48.1361259
<b>7.jpg</b>	40.2531646	-0.5329296	44.6707036
<b>41.jpg</b>	56.3571429	1.94213598	69.4213598
<b>40.jpg</b>	46.1489362	0.37320804	53.7320804
<b>6.jpg</b>	47.5606061	0.59017155	55.9017155
<b>2.jpg</b>	33.9019608	-1.509064	34.9093602
<b>3.jpg</b>	42.8870968	-0.1281132	48.7188679
<b>1.jpg</b>	42.5192308	-0.1846516	48.1534843
<hr/>			
<b>ave</b>	43.7206635		
<b>16.jpg</b>	6.50648539		

標準化変量が-1~16に収まる個数

28

17.jpg	類似度	標準化變量	偏差值
8.jpg	51.2133333	-0.1268499	48.7315014
9.jpg	53.4	0.19957861	51.9957861
14.jpg	39	-1.9500723	30.499277
28.jpg	55.826087	0.56174806	55.6174806
29.jpg	45.7941176	-0.9358375	40.641625
15.jpg	46.2321429	-0.8704485	41.2955148
16.jpg	53.6774194	0.24099214	52.4099214
12.jpg	51.3278689	-0.1097518	48.9024815
13.jpg	48.56	-0.5229429	44.7705705
39.jpg	57.7878788	0.85460692	58.5460692
11.jpg	50.7708333	-0.1929068	48.0709316
10.jpg	46.06	-0.8961462	41.0385377
38.jpg	64.3555556	1.83503833	68.3503833
21.jpg	48.9583333	-0.4634792	45.3652078
35.jpg	48.4893617	-0.5334879	44.6651207
34.jpg	58.0196078	0.88919974	58.8919974
20.jpg	51.3962264	-0.0995473	49.0045266
36.jpg	59.6190476	1.12796621	61.2796621
22.jpg	56.4576271	0.6560252	56.560252
23.jpg	47.6222222	-0.6629356	43.3706435
37.jpg	61.8333333	1.45851769	64.5851769
33.jpg	68.2045455	2.4096206	74.096206
27.jpg	48.1904762	-0.5781059	44.2189405
26.jpg	43.95	-1.2111298	37.888702
32.jpg	60.137931	1.2054258	62.054258
18.jpg	47.9805825	-0.6094391	43.9056085
24.jpg	54.6304348	0.38325953	53.8325953
30.jpg	51	-0.1586965	48.4130346
31.jpg	48.1052632	-0.5908267	44.0917334
25.jpg	43.1627907	-1.3286454	36.7135456
19.jpg	65.2089552	1.96243496	69.6243496

<b>4.jpg</b>	50.3918919	-0.2494757	47.5052428
<b>5.jpg</b>	44.2985075	-1.1591042	38.4089585
<b>7.jpg</b>	48.2368421	-0.5711844	44.2881562
<b>41.jpg</b>	64.2678571	1.8219466	68.219466
<b>40.jpg</b>	57.46	0.80566074	58.0566074
<b>6.jpg</b>	45.8488372	-0.9276689	40.7233111
<b>2.jpg</b>	49.2325581	-0.4225426	45.7745741
<b>3.jpg</b>	45.4810127	-0.9825782	40.1742178
<b>1.jpg</b>	50.3333333	-0.2582174	47.4178258
<b>ave</b>	52.0630704	0	50
<b>17.jpg</b>	6.69876207	-6.7720435	-17.720435

標準化変量が-1~17に収まる個数

29

18.jpg	類似度	標準化変量	偏差値
8.jpg	50.2631579	0.07877803	50.7877803
9.jpg	50.5753425	0.12304123	51.2304123
14.jpg	36.6551724	-1.8506347	31.4936526
28.jpg	55.1578947	0.77277993	57.7277993
29.jpg	45.8108108	-0.5524995	44.4750051
15.jpg	43.212766	-0.9208641	40.7913586
17.jpg	47.9805825	-0.2448577	47.5514232
16.jpg	49.047619	-0.0935675	49.0643245
12.jpg	46.7457627	-0.419937	45.8006298
13.jpg	46.4848485	-0.4569308	45.4306917
39.jpg	57.0153846	1.03614475	60.3614475
11.jpg	44.9245283	-0.6781613	43.2183865
10.jpg	42.8809524	-0.9679104	40.3208956
38.jpg	63.9130435	2.01413162	70.1413162
21.jpg	44.5227273	-0.7351308	42.6486916
35.jpg	42.7272727	-0.9897	40.1030004
34.jpg	58.9056604	1.30415813	63.0415813
20.jpg	44.5	-0.7383532	42.6164676
36.jpg	58.0816327	1.18732309	61.8732309
22.jpg	52.4181818	0.38432882	53.8432882
23.jpg	39.4285714	-1.4574074	35.4259257
37.jpg	60.2105263	1.48916899	64.8916899
33.jpg	61.8510638	1.72177315	67.2177315
27.jpg	43.35	-0.9014064	40.9859363
26.jpg	44.075	-0.798612	42.01388
32.jpg	52.9454545	0.45908836	54.5908836
24.jpg	49.7272727	0.00279737	50.0279737
30.jpg	48.3559322	-0.1916386	48.083614
31.jpg	50.3333333	0.08872788	50.8872788
25.jpg	44.0888889	-0.7966428	42.0335724
19.jpg	64.1525424	2.04808905	70.4808905

<b>4.jpg</b>	46.6811594	-0.4290968	45.7090318
<b>5.jpg</b>	47.4246575	-0.3236797	46.7632031
<b>7.jpg</b>	46.5352113	-0.4497901	45.5020987
<b>41.jpg</b>	67.88	2.57658788	75.7658788
<b>40.jpg</b>	53.26	0.50368629	55.0368629
<b>6.jpg</b>	50.3820225	0.09563129	50.9563129
<b>2.jpg</b>	46.7954545	-0.4128914	45.8710855
<b>3.jpg</b>	44.164557	-0.7859141	42.1408586
<b>1.jpg</b>	44.8367347	-0.6906092	43.0939081
<hr/>			
<b>ave</b>	49.7075431		
<b>18.jpg</b>	7.05291563		
<hr/>			

標準化変量が-1~18に収まる個数

30

19.jpg	類似度	標準化变量	偏差值
8.jpg	59.6666667	0.39252651	53.9252651
9.jpg	60.245614	0.47096219	54.7096219
14.jpg	45.2413793	-1.5618087	34.3819134
28.jpg	58.5434783	0.24035716	52.4035716
29.jpg	49.6923077	-0.9587977	40.4120227
15.jpg	52.0434783	-0.6402616	43.5973841
17.jpg	65.2089552	1.1433947	61.433947
16.jpg	55.5769231	-0.1615512	48.3844883
12.jpg	57.7358491	0.13093971	51.3093971
13.jpg	53.6571429	-0.4216426	45.7835738
39.jpg	63.8333333	0.95702571	59.5702571
11.jpg	54.9230769	-0.2501341	47.4986588
10.jpg	50.0425532	-0.9113465	40.8865346
38.jpg	71.4285714	1.98602712	69.8602712
21.jpg	54.5294118	-0.3034678	46.965322
35.jpg	56.2666667	-0.0681048	49.3189516
34.jpg	69.0961538	1.67003163	66.7003163
20.jpg	49.2272727	-1.0218006	39.7819942
36.jpg	62.627451	0.793653	57.93653
22.jpg	58.2241379	0.197093	51.97093
23.jpg	46.9268293	-1.3334642	36.6653578
37.jpg	73.140625	2.21797581	72.1797581
33.jpg	65.0392157	1.12039842	61.2039842
27.jpg	48.0512821	-1.1811236	38.1887643
26.jpg	50.3095238	-0.8751774	41.2482259
32.jpg	65.8448276	1.22954257	62.2954257
18.jpg	64.1525424	1.00027209	60.0027209
24.jpg	48.7435897	-1.0873299	39.1267014
30.jpg	50.1	-0.9035637	40.9643634
31.jpg	53.5869565	-0.4311515	45.6884855
25.jpg	48.5777778	-1.109794	38.9020597

<b>4.jpg</b>	57.7818182	0.1371676	51.371676
<b>5.jpg</b>	53.5517241	-0.4359247	45.6407527
<b>7.jpg</b>	49.8461538	-0.9379547	40.6204532
<b>41.jpg</b>	72.442623	2.12341062	71.2341062
<b>40.jpg</b>	51.3469388	-0.7346286	42.6537137
<b>6.jpg</b>	63.55	0.91863977	59.1863977
<b>2.jpg</b>	50.952381	-0.7880832	42.1191675
<b>3.jpg</b>	52.9821429	-0.5130915	44.8690851
<b>1.jpg</b>	56.037037	-0.099215	49.0078499
<hr/>			
<b>ave</b>	56.7693603		
<hr/>			
19.jpg	7.38117371		
<hr/>			

標準化変量が-1~19に収まる個数

26

20.jpg	類似度	標準化变量	偏差值
8.jpg	46.0517241	0.55679252	55.5679252
9.jpg	44.8363636	0.33653357	53.3653357
14.jpg	32.2857143	-1.9380119	30.6198807
28.jpg	42.2115385	-0.1391617	48.6083832
29.jpg	38.8125	-0.7551671	42.4483293
15.jpg	38.4482759	-0.8211752	41.7882484
17.jpg	51.3962264	1.52537297	65.2537297
16.jpg	40.375	-0.4719963	45.2800373
12.jpg	43.74	0.13784035	51.3784035
13.jpg	34.5434783	-1.5288389	34.7116108
39.jpg	51.6956522	1.57963769	65.7963769
11.jpg	38.5849057	-0.7964138	42.0358617
10.jpg	39.5818182	-0.6157441	43.8425593
38.jpg	54.7647059	2.13584017	71.3584017
21.jpg	40.2692308	-0.4911648	45.0883524
35.jpg	43.2040816	0.04071623	50.4071623
34.jpg	46.3255814	0.60642348	56.0642348
36.jpg	51.0222222	1.45759245	64.5759245
22.jpg	42.962963	-0.0029815	49.9701846
23.jpg	36.9607843	-1.0907522	39.0924778
37.jpg	52.1860465	1.66851152	66.6851152
33.jpg	41.8367347	-0.2070871	47.9291289
27.jpg	37.7213115	-0.9529224	40.4707759
26.jpg	40.5909091	-0.4328672	45.6713278
32.jpg	42.8958333	-0.0151474	49.8485261
18.jpg	44.5	0.27557462	52.7557462
24.jpg	42.9	-0.0143923	49.8560773
30.jpg	39.1666667	-0.6909817	43.0901831
31.jpg	39.4042553	-0.6479237	43.5207634
25.jpg	40.2745098	-0.490208	45.0979196
19.jpg	49.2272727	1.13229499	61.3229499

<b>4.jpg</b>	43.6229508	0.11662761	51.1662761
<b>5.jpg</b>	42.7962963	-0.0331864	49.6681358
<b>7.jpg</b>	40.2758621	-0.489963	45.1003703
<b>41.jpg</b>	59	2.90339959	79.0339959
<b>40.jpg</b>	40.0350877	-0.5335983	44.6640166
<b>6.jpg</b>	43.6458333	0.12077459	51.2077459
<b>2.jpg</b>	34.7209302	-1.4966794	35.0332057
<b>3.jpg</b>	43.5686275	0.10678262	51.0678262
<b>1.jpg</b>	42.7346939	-0.0443506	49.5564942
<hr/>			
<b>ave</b>	42.9794147		
<b>20.jpg</b>	5.51787131		
<hr/>			

標準化変量が-1~20に収まる個数

29

21.jpg	類似度	標準化變量	偏差值
8.jpg	44.9047619	0.26655324	52.6655324
9.jpg	49.25	1.01157767	60.1157767
14.jpg	33.9512195	-1.6115157	33.8848431
28.jpg	41.0851064	-0.388356	46.1164398
29.jpg	40.32	-0.5195394	44.8046062
15.jpg	40.3877551	-0.5079222	44.9207775
17.jpg	48.9583333	0.96156918	59.6156918
16.jpg	34.1454545	-1.5782126	34.217874
12.jpg	41.96	-0.2383488	47.6165121
13.jpg	39.1538462	-0.7194854	42.8051459
39.jpg	49.4583333	1.04729802	60.4729802
11.jpg	39.6071429	-0.6417642	43.5823579
10.jpg	40.1090909	-0.5557014	44.4429864
38.jpg	55.3404255	2.05582788	70.5582788
35.jpg	43.6666667	0.05427231	50.5427231
34.jpg	48.675	0.91298951	59.1298951
20.jpg	40.2692308	-0.5282442	44.7175585
36.jpg	49	0.96871325	59.6871325
22.jpg	40.0363636	-0.568171	44.3182899
23.jpg	36.4489796	-1.1832555	38.1674445
37.jpg	54.8979592	1.97996363	69.7996363
33.jpg	47.6415094	0.73578962	57.3578962
27.jpg	38.3469388	-0.8578359	41.4216413
26.jpg	37.7333333	-0.9630432	40.3695676
32.jpg	44.0851064	0.12601701	51.2601701
18.jpg	44.5227273	0.20105047	52.0105047
24.jpg	39.6842105	-0.6285504	43.7144963
30.jpg	41.3484848	-0.3431978	46.5680224
31.jpg	38.0869565	-0.9024118	40.9758817
25.jpg	39.037037	-0.7395132	42.6048677
19.jpg	54.5294118	1.91677335	69.1677335

<b>4.jpg</b>	45.4142857	0.35391501	53.5391501
<b>5.jpg</b>	43.9285714	0.09917789	50.9917789
<b>7.jpg</b>	37.8852459	-0.9369967	40.6300334
<b>41.jpg</b>	58.8478261	2.65719863	76.5719863
<b>40.jpg</b>	45.0204082	0.28638168	52.8638168
<b>6.jpg</b>	45.9272727	0.44187057	54.4187057
<b>2.jpg</b>	35.8148148	-1.291988	37.0801203
<b>3.jpg</b>	42.3157895	-0.177346	48.2265405
<b>1.jpg</b>	42.2096774	-0.1955397	48.0446032
<hr/>			
<b>ave</b>	43.3501319		
<b>21.jpg</b>	5.83234311		
<hr/>			

標準化変量が-1~21に収まる個数

30

22.jpg	類似度	標準化变量	偏差值
8.jpg	47.0857143	0.12640926	51.2640926
9.jpg	53.2241379	1.07370312	60.7370312
14.jpg	36.5555556	-1.498626	35.0137403
28.jpg	43.46	-0.4331182	45.6688175
29.jpg	43.7719298	-0.3849806	46.1501939
15.jpg	40.4150943	-0.9030142	40.969858
17.jpg	56.4576271	1.57270166	65.7270166
16.jpg	39.90625	-0.9815401	40.1845992
12.jpg	45.4081633	-0.1324738	48.6752622
13.jpg	38	-1.2757164	37.2428359
39.jpg	55.5957447	1.43969423	64.3969423
11.jpg	41.516129	-0.7331003	42.6689969
10.jpg	38.3666667	-1.2191317	37.8086833
38.jpg	57.6595745	1.75818859	67.5818859
21.jpg	40.0363636	-0.9614607	40.3853932
35.jpg	51.8235294	0.8575584	58.575584
34.jpg	51.55	0.81534679	58.1534679
20.jpg	42.962963	-0.509822	44.90178
36.jpg	47.1590909	0.13773289	51.3773289
23.jpg	41.372549	-0.7552579	42.4474213
37.jpg	58.1836735	1.8390686	68.390686
33.jpg	47.5510204	0.19821624	51.9821624
27.jpg	40.7413793	-0.8526612	41.4733875
26.jpg	36.7234043	-1.4727232	35.2727678
32.jpg	44.9473684	-0.2035846	47.9641544
18.jpg	52.4181818	0.94932636	59.4932636
24.jpg	44.0163934	-0.3472545	46.5274551
30.jpg	41.7536232	-0.6964497	43.0355026
31.jpg	45.58	-0.1059556	48.9404441
25.jpg	43.875	-0.3690746	46.3092539
19.jpg	58.2241379	1.84531316	68.4531316

<b>4.jpg</b>	47.0151515	0.11551987	51.1551987
<b>5.jpg</b>	46.4821429	0.03326491	50.3326491
<b>7.jpg</b>	45.1384615	-0.1740947	48.2590531
<b>41.jpg</b>	62.0392157	2.43406361	74.3406361
<b>40.jpg</b>	45.4897959	-0.1198761	48.8012394
<b>6.jpg</b>	50.4328358	0.64294378	56.4294378
<b>2.jpg</b>	37.2040816	-1.3985441	36.0145587
<b>3.jpg</b>	47.1551724	0.13712818	51.3712818
<b>1.jpg</b>	43.3653846	-0.4477195	45.5228052
<hr/>			
<b>ave</b>	46.2665877		
<b>22.jpg</b>	6.47995718		
<hr/>			

標準化変量が-1~22に収まる個数

28

23.jpg	類似度	標準化變量	偏差值
8.jpg	40.9019608	0.24247896	52.4247896
9.jpg	44.2666667	0.91892164	59.1892164
14.jpg	29.95	-1.9593104	30.4068955
28.jpg	37.425	-0.4565315	45.4346847
29.jpg	33.72	-1.2013872	37.9861283
15.jpg	38.1111111	-0.3185953	46.814047
17.jpg	47.6222222	1.59352474	65.9352474
16.jpg	38.2291667	-0.2948613	47.0513867
12.jpg	38.6415094	-0.2119637	47.8803633
13.jpg	34.2272727	-1.0994047	39.0059528
39.jpg	46.6666667	1.40141922	64.0141922
11.jpg	36.2916667	-0.6843776	43.1562239
10.jpg	37.5918367	-0.4229906	45.7700944
38.jpg	48.4634146	1.76263862	67.6263862
21.jpg	36.4489796	-0.6527513	43.4724869
35.jpg	40.06	0.07321061	50.7321061
34.jpg	45.2894737	1.12454744	61.2454744
20.jpg	36.9607843	-0.5498578	44.5014225
36.jpg	45.2708333	1.12079997	61.2079997
22.jpg	41.372549	0.33708633	53.3708633
37.jpg	52.2162162	2.51710432	75.1710432
33.jpg	35.8205128	-0.7790987	42.2090131
27.jpg	35.7017544	-0.802974	41.9702604
26.jpg	38	-0.3409331	46.5906685
32.jpg	34.5531915	-1.0338818	39.661182
18.jpg	39.4285714	-0.0537322	49.4626779
24.jpg	36.9	-0.5620779	44.3792213
30.jpg	35	-0.9440551	40.5594488
31.jpg	36.2978723	-0.68313	43.1686999
25.jpg	36.1090909	-0.7210828	42.7891724
19.jpg	46.9268293	1.45372249	64.5372249

<b>4.jpg</b>	38.6792453	-0.2043772	47.9562277
<b>5.jpg</b>	43.4693878	0.75863617	57.5863617
<b>7.jpg</b>	35.3541667	-0.8728532	41.2714678
<b>41.jpg</b>	51.125	2.29772549	72.9772549
<b>40.jpg</b>	37.826087	-0.3758967	46.2410326
<b>6.jpg</b>	39.85	0.03099207	50.3099207
<b>2.jpg</b>	35.893617	-0.7644018	42.3559823
<b>3.jpg</b>	40.3043478	0.12233446	51.2233446
<b>1.jpg</b>	40.8666667	0.23538341	52.3538341
<hr/>			
<b>ave</b>	39.6958418		
<b>23.jpg</b>	4.97411821		
<hr/>			

標準化変量が-1~23に収まる個数

28

24.jpg	類似度	標準化变量	偏差值
8.jpg	42.9811321	-0.0892851	49.1071486
9.jpg	47.627451	0.69092255	56.9092255
14.jpg	30.40625	-2.2008534	27.9914656
28.jpg	40.6590909	-0.4792012	45.2079879
29.jpg	40.9387755	-0.4322367	45.677633
15.jpg	41.1041667	-0.4044643	45.9553571
17.jpg	54.6304348	1.8668603	68.668603
16.jpg	37.7608696	-0.9658692	40.3413082
12.jpg	46.2692308	0.46285085	54.6285085
13.jpg	39.0789474	-0.7445382	42.5546183
39.jpg	52.4888889	1.50725292	65.0725292
11.jpg	38.5833333	-0.8277614	41.7223855
10.jpg	38.5	-0.8417547	41.5824526
38.jpg	51.7222222	1.37851461	63.7851461
21.jpg	39.6842105	-0.6429027	43.5709734
35.jpg	44.2954545	0.13141527	51.3141527
34.jpg	49.5263158	1.00977904	60.0977904
20.jpg	42.9	-0.1029088	48.970912
36.jpg	47.8684211	0.73138613	57.3138613
22.jpg	44.0163934	0.08455546	50.8455546
23.jpg	36.9	-1.110426	38.8957401
37.jpg	53.9736842	1.75657906	67.5657906
33.jpg	40.0769231	-0.5769586	44.2304144
27.jpg	39.1489362	-0.7327857	42.6721432
26.jpg	38.3636364	-0.8646529	41.3534714
32.jpg	40.3181818	-0.5364465	44.635535
18.jpg	49.7272727	1.04352363	60.4352363
30.jpg	39.1929825	-0.7253895	42.7461055
31.jpg	39.826087	-0.6190788	43.8092116
25.jpg	39.7818182	-0.6265124	43.7348757
19.jpg	48.7435897	0.87834405	58.7834405

<b>4.jpg</b>	45.9454545	0.4084825	54.084825
<b>5.jpg</b>	45.0833333	0.26371551	52.6371551
<b>7.jpg</b>	40.7446809	-0.464829	45.3517102
<b>41.jpg</b>	61.9473684	3.09551637	80.9551637
<b>40.jpg</b>	42.4146341	-0.1844112	48.1558879
<b>6.jpg</b>	45.14	0.27323095	52.7323095
<b>2.jpg</b>	35.5909091	-1.3302479	36.6975208
<b>3.jpg</b>	42.5102041	-0.1683632	48.3163685
<b>1.jpg</b>	44.0425532	0.08894819	50.8894819
<hr/>			
<b>ave</b>	43.5128459		
<b>24.jpg</b>	5.9552334		

標準化変量が-1~24に収まる個数

30

25.jpg	類似度	標準化變量	偏差值
8.jpg	44.4313725	0.51236787	55.1236787
9.jpg	46.26	0.89806352	58.9806352
14.jpg	34.3333333	-1.6175192	33.8248084
28.jpg	40.9148936	-0.2293309	47.7066914
29.jpg	38.245283	-0.7924074	42.075926
15.jpg	39.7857143	-0.4674983	45.3250167
17.jpg	43.1627907	0.2447975	52.447975
16.jpg	37.953125	-0.8540296	41.4597038
12.jpg	41.2115385	-0.1667623	48.3323772
13.jpg	38.6744186	-0.7018938	42.9810624
39.jpg	49.7826087	1.64105515	66.4105515
11.jpg	36.0701754	-1.2511829	37.4881706
10.jpg	38.3090909	-0.778949	42.2105101
38.jpg	51.6585366	2.03672746	70.3672746
21.jpg	39.037037	-0.62541	43.7459003
35.jpg	41.1132075	-0.1875023	48.1249768
34.jpg	47.4186047	1.1424374	61.424374
20.jpg	40.2745098	-0.3644012	46.3559884
36.jpg	48.0909091	1.28424043	62.8424043
22.jpg	43.875	0.39501729	53.9501729
23.jpg	36.1090909	-1.2429749	37.5702514
37.jpg	53.3076923	2.38456878	73.8456878
33.jpg	43.0638298	0.22392458	52.2392458
27.jpg	37.4464286	-0.9609025	40.3909754
26.jpg	38.3965517	-0.7605017	42.3949832
32.jpg	46.3888889	0.92524888	59.2524888
18.jpg	44.0888889	0.44013092	54.4013092
24.jpg	39.7818182	-0.4683201	45.316799
30.jpg	37.952381	-0.8541866	41.4581344
31.jpg	44.0526316	0.4324835	54.324835
19.jpg	48.5777778	1.38693119	63.8693119

<b>4.jpg</b>	41.5283019	-0.0999503	49.0004973
<b>5.jpg</b>	39.7924528	-0.466077	45.3392297
<b>7.jpg</b>	38.2678571	-0.787646	42.1235395
<b>41.jpg</b>	51.5714286	2.01835456	70.1835456
<b>40.jpg</b>	44.0638298	0.43484543	54.3484543
<b>6.jpg</b>	40.0181818	-0.4184661	45.8153392
<b>2.jpg</b>	34	-1.6878261	33.1217389
<b>3.jpg</b>	39.0192308	-0.6291657	43.7083432
<b>1.jpg</b>	42.0576923	0.01170921	50.1170921
<hr/>			
<b>ave</b>	42.0021776		
<b>25.jpg</b>	4.74111495		

標準化変量が-1~25に収まる個数

29

26.jpg	類似度	標準化變量	偏差值
8.jpg	42.5925926	0.19984794	51.9984794
9.jpg	48.1458333	1.16473191	61.6473191
14.jpg	27.7234043	-2.383696	26.1630398
28.jpg	42.1590909	0.12452637	51.2452637
29.jpg	35.0535714	-1.1100684	38.8993161
15.jpg	37.5111111	-0.6830672	43.1693285
17.jpg	43.95	0.43569953	54.3569953
16.jpg	36.9803922	-0.7752804	42.2471963
12.jpg	39.8431373	-0.2778741	47.2212592
13.jpg	33.975	-1.2974718	37.025282
39.jpg	50.4761905	1.56963499	65.6963499
11.jpg	39.4807692	-0.3408361	46.5916393
10.jpg	36.0434783	-0.9380706	40.6192942
38.jpg	48.475	1.22192512	62.2192512
21.jpg	37.7333333	-0.6444557	43.555443
35.jpg	39.7115385	-0.3007396	46.9926043
34.jpg	51.75	1.79096132	67.9096132
20.jpg	40.5909091	-0.1479476	48.520524
36.jpg	47.2368421	1.00679331	60.0679331
22.jpg	36.7234043	-0.8199324	41.8006759
23.jpg	38	-0.598122	44.0187803
37.jpg	56.2222222	2.5680167	75.680167
33.jpg	38.96	-0.4313205	45.6867948
27.jpg	38.7192982	-0.4731428	45.2685719
32.jpg	41.4423077	-1.58E-05	49.999842
18.jpg	44.075	0.45741847	54.5741847
24.jpg	38.3636364	-0.5349396	44.650604
30.jpg	40.25	-0.2071811	47.9281893
31.jpg	40.8571429	-0.1016891	48.9831092
25.jpg	38.3965517	-0.5292205	44.7077949
19.jpg	50.3095238	1.54067641	65.4067641

<b>4.jpg</b>	41.6909091	0.04317907	50.4317907
<b>5.jpg</b>	42.4705882	0.1786495	51.786495
<b>7.jpg</b>	36.3125	-0.8913276	41.0867236
<b>41.jpg</b>	55.0882353	2.37098475	73.7098475
<b>40.jpg</b>	41	-0.0768674	49.2313257
<b>6.jpg</b>	42.6808511	0.21518298	52.1518298
<b>2.jpg</b>	35.1724138	-1.0894193	39.1058065
<b>3.jpg</b>	40.7291667	-0.1239251	48.7607487
<b>1.jpg</b>	40.8	-0.1116177	48.8838227
<hr/>			
<b>ave</b>	41.4423986		
<b>26.jpg</b>	5.7553456		
<hr/>			

標準化変量が-1~26に収まる個数

28

27.jpg	類似度	標準化變量	偏差值
8.jpg	45.1818182	0.70207142	57.0207142
9.jpg	44.7924528	0.63076007	56.3076007
14.jpg	31.3	-1.840351	31.5964902
28.jpg	40.2978723	-0.1924118	48.0758821
29.jpg	37.5833333	-0.6895732	43.1042676
15.jpg	38.1785714	-0.5805568	44.1944322
17.jpg	48.1904762	1.25310007	62.5310007
16.jpg	38.9152542	-0.445635	45.5436495
12.jpg	41.44	0.01676621	50.1676621
13.jpg	34.86	-1.1883453	38.1165466
39.jpg	51.5769231	1.87331987	68.7331987
11.jpg	37.3461538	-0.7330121	42.669879
10.jpg	38.1090909	-0.593282	44.0671803
38.jpg	51.775	1.90959719	69.0959719
21.jpg	38.3469388	-0.5497207	44.5027931
35.jpg	37.8695652	-0.6371505	43.6284946
34.jpg	50.0526316	1.59414946	65.9414946
20.jpg	37.7213115	-0.6643029	43.3569714
36.jpg	45.6875	0.79468586	57.9468586
22.jpg	40.7413793	-0.1111845	48.8881547
23.jpg	35.7017544	-1.03418	39.6582
37.jpg	55.8181818	2.65009645	76.5009645
33.jpg	39.3125	-0.3728804	46.2711958
26.jpg	38.7192982	-0.4815239	45.1847607
32.jpg	39.92	-0.2616182	47.3838178
18.jpg	43.35	0.36657822	53.6657822
24.jpg	39.1489362	-0.4028368	45.9716325
30.jpg	36.9833333	-0.7994618	42.0053817
31.jpg	37.4181818	-0.7198203	42.8017965
25.jpg	37.4464286	-0.714647	42.8535298
19.jpg	48.0512821	1.22760699	62.2760699

<b>4.jpg</b>	42.0689655	0.13195977	51.3195977
<b>5.jpg</b>	42.46	0.20357681	52.0357681
<b>7.jpg</b>	41.2153846	-0.0243716	49.7562843
<b>41.jpg</b>	53.3142857	2.19151376	71.9151376
<b>40.jpg</b>	39.2	-0.3934845	46.0651547
<b>6.jpg</b>	42.7234043	0.25181869	52.5181869
<b>2.jpg</b>	34.44	-1.2652674	37.3473265
<b>3.jpg</b>	37.8	-0.6498912	43.5010876
<b>1.jpg</b>	38.88	-0.4520918	45.4790822
<hr/>			
<b>ave</b>	41.3484552		
<b>27.jpg</b>	5.46007546		
<hr/>			

標準化変量が-1~27に収まる個数

28.jpg	類似度	標準化變量	偏差值
8.jpg	46.2444444	0.05811232	50.5811232
9.jpg	50.6041667	0.67769282	56.7769282
14.jpg	31.25	-2.0728183	29.2718171
29.jpg	38.3255814	-1.0672743	39.3272566
15.jpg	44.7959184	-0.1477445	48.522555
17.jpg	55.826087	1.41980433	64.1980433
16.jpg	39.6296296	-0.8819499	41.1805006
12.jpg	45.8367347	0.00017078	50.0017078
13.jpg	39	-0.9714296	40.2857045
39.jpg	54.5405405	1.23710932	62.3710932
11.jpg	41.1153846	-0.6708024	43.2919764
10.jpg	39.26	-0.9344797	40.6552026
38.jpg	59.2619048	1.90808446	69.0808446
21.jpg	41.0851064	-0.6751053	43.2489466
35.jpg	48.9361702	0.44064605	54.4064605
34.jpg	53.8421053	1.13785142	61.3785142
20.jpg	42.2115385	-0.5150228	44.8497719
36.jpg	50	0.59183187	55.9183187
22.jpg	43.46	-0.3375981	46.624019
23.jpg	37.425	-1.1952602	38.0473983
37.jpg	56.4444444	1.50768201	65.0768201
33.jpg	42.8181818	-0.4288099	45.7119011
27.jpg	40.2978723	-0.7869828	42.1301715
26.jpg	42.1590909	-0.5224764	44.7752362
32.jpg	45.175	-0.0938714	49.0612857
18.jpg	55.1578947	1.32484441	63.2484441
24.jpg	40.6590909	-0.7356484	42.6435161
30.jpg	38.7169811	-1.0116507	39.8834931
31.jpg	45.7234043	-0.0159351	49.8406486
25.jpg	40.9148936	-0.6992951	43.0070493
19.jpg	58.5434783	1.80598551	68.0598551

<b>4.jpg</b>	47	0.16548785	51.6548785
<b>5.jpg</b>	46.7608696	0.1315039	51.315039
<b>7.jpg</b>	41.98	-0.5479278	44.5207218
<b>41.jpg</b>	63.9761905	2.57805365	75.7805365
<b>40.jpg</b>	39.902439	-0.8431797	41.5682027
<b>6.jpg</b>	50.1568627	0.61412437	56.1412437
<b>2.jpg</b>	38.5777778	-1.0314335	39.6856647
<b>3.jpg</b>	48.0222222	0.31076063	53.1076063
<b>1.jpg</b>	47.7843137	0.27695034	52.7695034
<hr/>			
<b>ave</b>	45.835533		
<b>28.jpg</b>	7.03657097		
<hr/>			

標準化変量が-1~28に収まる個数

27

29.jpg	類似度	標準化変量	偏差値
8.jpg	43.7924528	0.35839793	53.5839793
9.jpg	44.7291667	0.51239965	55.1239965
14.jpg	30.7391304	-1.7876513	32.1234869
28.jpg	38.3255814	-0.5403905	44.5960949
15.jpg	38.3076923	-0.5433316	44.5666841
17.jpg	45.7941176	0.68748436	56.8748436
16.jpg	38.4130435	-0.5260112	44.7398881
12.jpg	40.9387755	-0.1107648	48.8923523
13.jpg	35.25	-1.0460357	39.5396434
39.jpg	51.75	1.66666931	66.6666931
11.jpg	37.2954545	-0.7097499	42.9025008
10.jpg	35.38	-1.0246628	39.7533717
38.jpg	48.902439	1.19851217	61.9851217
21.jpg	40.32	-0.2124954	47.875046
35.jpg	37.1627907	-0.7315607	42.684393
34.jpg	46.0606061	0.73129675	57.3129675
20.jpg	38.8125	-0.460338	45.3966201
36.jpg	46.3658537	0.7814814	57.814814
22.jpg	43.7719298	0.35502382	53.5502382
23.jpg	33.72	-1.2975774	37.0242261
37.jpg	59.3421053	2.91485972	79.1485972
33.jpg	37.72	-0.6399519	43.6004806
27.jpg	37.5833333	-0.6624208	43.3757919
26.jpg	35.0535714	-1.0783298	39.2167023
32.jpg	43.0434783	0.23526175	52.3526175
18.jpg	45.8108108	0.69022883	56.9022883
24.jpg	40.9387755	-0.1107648	48.8923523
30.jpg	39.2909091	-0.3816845	46.183155
31.jpg	38.3529412	-0.5358924	44.6410761
25.jpg	38.245283	-0.5535921	44.4640793
19.jpg	49.6923077	1.32837161	63.2837161

<b>4.jpg</b>	37.9591837	-0.6006286	43.9937137
<b>5.jpg</b>	42.4444444	0.13677678	51.3677678
<b>7.jpg</b>	39.875	-0.2856562	47.1434377
<b>41.jpg</b>	59.6451613	2.96468406	79.6468406
<b>40.jpg</b>	42.9361702	0.21761962	52.1761962
<b>6.jpg</b>	45.8409091	0.69517717	56.9517717
<b>2.jpg</b>	36.0517241	-0.9142271	40.8577289
<b>3.jpg</b>	38.7692308	-0.4674517	45.3254827
<b>1.jpg</b>	40.0731707	-0.2530757	47.4692429
<hr/>			
<b>ave</b>	41.6125011		
<b>29.jpg</b>	6.08248968		
<hr/>			

標準化変量が-1~29に収まる個数

30

30.jpg	類似度	標準化变量	偏差值
8.jpg	44.0454545	0.18615162	51.8615162
9.jpg	43.3269231	0.05665178	50.5665178
14.jpg	35.4878049	-1.3561806	36.438194
28.jpg	38.7169811	-0.7741911	42.2580894
29.jpg	39.2909091	-0.6707529	43.292471
15.jpg	40.8923077	-0.3821353	46.1786474
17.jpg	51	1.43955879	64.3955879
16.jpg	41.557377	-0.2622708	47.3772919
12.jpg	43.4927536	0.08653917	50.8653917
13.jpg	36.5434783	-1.1659182	38.3408181
39.jpg	50.52	1.35304912	63.5304912
11.jpg	38.1044776	-0.8845816	41.1541836
10.jpg	37.6896552	-0.9593445	40.4065554
38.jpg	55.3095238	2.21625773	72.1625773
21.jpg	41.3484848	-0.2999191	47.0008086
35.jpg	43.5535714	0.09750027	50.9750027
34.jpg	48.9090909	1.06271742	60.6271742
20.jpg	39.1666667	-0.6931449	43.0685508
36.jpg	50.3863636	1.32896404	63.2896404
22.jpg	41.7536232	-0.2269017	47.7309833
23.jpg	35	-1.4440969	35.5590307
37.jpg	55.8679245	2.31689745	73.1689745
33.jpg	43.52	0.09144974	50.9144974
27.jpg	36.9833333	-1.0866438	39.1335623
26.jpg	40.25	-0.4978974	45.021026
32.jpg	39.9411765	-0.5535562	44.4644381
18.jpg	48.3559322	0.96302247	59.6302247
24.jpg	39.1929825	-0.6884021	43.1159794
31.jpg	43.537037	0.0945203	50.945203
25.jpg	37.952381	-0.9119938	40.8800621
19.jpg	50.1	1.27735316	62.7735316

<b>4.jpg</b>	41.15625	-0.3345653	46.6543467
<b>5.jpg</b>	41.6349206	-0.2482953	47.5170475
<b>7.jpg</b>	41.2985075	-0.3089265	46.9107351
<b>41.jpg</b>	57.7804878	2.66159582	76.6159582
<b>40.jpg</b>	38.5416667	-0.8057877	41.9421228
<b>6.jpg</b>	44.2131148	0.21636876	52.1636876
<b>2.jpg</b>	40.3888889	-0.4728657	45.2713434
<b>3.jpg</b>	42.3387097	-0.1214524	48.7854758
<b>1.jpg</b>	41.3548387	-0.298774	47.0122601
<hr/>			
<b>ave</b>	43.01259		
<b>30.jpg</b>	5.54851256		

標準化変量が-1~30に収まる個数

28

31.jpg	類似度	標準化変量	偏差値
8.jpg	45.05	0.19797926	51.9797926
9.jpg	46.4	0.4190308	54.190308
14.jpg	30.5952381	-2.1688706	28.3112937
28.jpg	45.7234043	0.30824374	53.0824374
29.jpg	38.3529412	-0.8986097	41.0139026
15.jpg	38.5	-0.8745301	41.2546995
17.jpg	48.1052632	0.6982538	56.982538
16.jpg	38.4318182	-0.8856943	41.1430573
12.jpg	44.9245283	0.17743429	51.7743429
13.jpg	38.6875	-0.8438285	41.5617155
39.jpg	51.3409091	1.22806455	62.2806455
11.jpg	43.2075472	-0.1037074	48.9629257
10.jpg	35.2131148	-1.4127308	35.8726918
38.jpg	56.2682927	2.0348836	70.348836
21.jpg	38.0869565	-0.9421626	40.5783743
35.jpg	43.4339623	-0.0666338	49.333662
34.jpg	46.0681818	0.36469827	53.6469827
20.jpg	39.4042553	-0.7264656	42.7353441
36.jpg	48.4	0.74651456	57.4651456
22.jpg	45.58	0.28476246	52.8476246
23.jpg	36.2978723	-1.2351106	37.6488942
37.jpg	55.7857143	1.95586531	69.5586531
33.jpg	42.1707317	-0.2734775	47.2652246
27.jpg	37.4181818	-1.051669	39.48331
26.jpg	40.8571429	-0.4885671	45.1143295
32.jpg	48.4897959	0.76121791	57.6121791
18.jpg	50.3333333	1.0630822	60.630822
24.jpg	39.826087	-0.6573941	43.4260592
30.jpg	43.537037	-0.0497561	49.5024386
25.jpg	44.0526316	0.03466828	50.3466828
19.jpg	53.5869565	1.59583658	65.9583658

<b>4.jpg</b>	44.0483871	0.03397328	50.3397328
<b>5.jpg</b>	44.3653846	0.08587905	50.8587905
<b>7.jpg</b>	42.6734694	-0.1911583	48.0884167
<b>41.jpg</b>	60.5365854	2.73378187	77.3378187
<b>40.jpg</b>	42.7173913	-0.1839665	48.1603353
<b>6.jpg</b>	47.3793103	0.57938492	55.7938492
<b>2.jpg</b>	36.3035714	-1.2341774	37.658226
<b>3.jpg</b>	39	-0.7926591	42.0734089
<b>1.jpg</b>	42.4827586	-0.2223857	47.7761433
<hr/>			
<b>ave</b>	43.8409064		
<b>31.jpg</b>	6.10717306		

標準化変量が-1~31に収まる個数

32.jpg	類似度	標準化变量	偏差值
8.jpg	49.2	0.16024339	51.6024339
9.jpg	56.6	1.11066371	61.1066371
14.jpg	35.25	-1.6314274	33.6857265
28.jpg	45.175	-0.3567082	46.4329179
29.jpg	43.0434783	-0.6304706	43.6952942
15.jpg	47.490566	-0.0593081	49.4069193
17.jpg	60.137931	1.56505852	65.6505852
16.jpg	43.8679245	-0.5245827	44.7541732
12.jpg	47.0983607	-0.109681	48.9031896
13.jpg	37.9534884	-1.2842043	37.1579566
39.jpg	56.6034483	1.11110659	61.11110659
11.jpg	41.877193	-0.7802626	42.1973736
10.jpg	41.0652174	-0.8845489	41.1545113
38.jpg	56.1521739	1.05314709	60.5314709
21.jpg	44.0851064	-0.4966889	45.0331111
35.jpg	45.7843137	-0.2784509	47.2154911
34.jpg	59.4222222	1.47313633	64.7313633
20.jpg	42.8958333	-0.6494334	43.5056662
36.jpg	47.2926829	-0.0847232	49.1527678
22.jpg	44.9473684	-0.3859441	46.1405589
23.jpg	34.5531915	-1.7209221	32.7907792
37.jpg	63.0454545	1.93848682	69.3848682
33.jpg	48.8113208	0.1103233	51.103233
27.jpg	39.92	-1.0316351	39.6836493
26.jpg	41.4423077	-0.8361172	41.6388279
18.jpg	52.9454545	0.64129151	56.4129151
24.jpg	40.3181818	-0.9804945	40.1950548
30.jpg	39.9411765	-1.0289153	39.7108473
31.jpg	48.4897959	0.0690282	50.690282
25.jpg	46.3888889	-0.2008022	47.9919783
19.jpg	65.8448276	2.2980248	72.980248

<b>4.jpg</b>	50.7	0.35289616	53.5289616
<b>5.jpg</b>	52.0943396	0.53197842	55.3197842
<b>7.jpg</b>	46.8653846	-0.1396034	48.6039665
<b>41.jpg</b>	63.375	1.98081205	69.8081205
<b>40.jpg</b>	45.1875	-0.3551028	46.4489723
<b>6.jpg</b>	58.9827586	1.41669374	64.1669374
<b>2.jpg</b>	38.4130435	-1.2251813	37.748187
<b>3.jpg</b>	49.254902	0.16729473	51.6729473
<b>1.jpg</b>	45.5777778	-0.3049774	46.9502263
<hr/>			
<b>ave</b>	47.9523404		
<b>32.jpg</b>	7.7860288		

標準化変量が-1~32に収まる個数

25

33.jpg	類似度	標準化变量	偏差值
8.jpg	57.0612245	0.53310183	55.3310183
9.jpg	60.6481481	0.83919207	58.3919207
14.jpg	31.25	-1.6694998	33.305002
28.jpg	42.8181818	-0.6823287	43.1767135
29.jpg	37.72	-1.1173822	38.8261785
15.jpg	45.787234	-0.4289645	45.7103551
17.jpg	68.2045455	1.48401746	64.8401746
16.jpg	46.0416667	-0.4072525	45.9274753
12.jpg	51.2826087	0.03998347	50.3998347
13.jpg	37.5333333	-1.1333114	38.6668864
39.jpg	64.4705882	1.16538011	61.6538011
11.jpg	48.0877193	-0.2326525	47.6734749
10.jpg	43.1777778	-0.6516425	43.4835748
38.jpg	72.8225806	1.87809764	68.7809764
21.jpg	47.6415094	-0.2707298	47.2927016
35.jpg	48.4	-0.206004	47.9399597
34.jpg	79.516129	2.44929179	74.4929179
20.jpg	41.8367347	-0.7660805	42.3391953
36.jpg	57.4423077	0.56562158	55.6562158
22.jpg	47.5510204	-0.2784517	47.2154827
23.jpg	35.8205128	-1.2794749	37.2052505
37.jpg	74.4561404	2.0174975	70.174975
27.jpg	39.3125	-0.9814861	40.1851388
26.jpg	38.96	-1.0115667	39.8843328
32.jpg	48.8113208	-0.170904	48.2909604
18.jpg	61.8510638	0.94184291	59.4184291
24.jpg	40.0769231	-0.9162541	40.8374595
30.jpg	43.52	-0.622439	43.7756102
31.jpg	42.1707317	-0.7375788	42.6242117
25.jpg	43.0638298	-0.6613663	43.3863372
19.jpg	65.0392157	1.21390395	62.1390395

<b>4.jpg</b>	49.5714286	-0.1060401	48.9395987
<b>5.jpg</b>	49.8292683	-0.0840374	49.1596263
<b>7.jpg</b>	49.5869565	-0.1047151	48.9528494
<b>41.jpg</b>	71.3409091	1.75165915	67.5165915
<b>40.jpg</b>	42.9285714	-0.6729086	43.2709145
<b>6.jpg</b>	61.6875	0.92788519	59.2788519
<b>2.jpg</b>	37.6170213	-1.1261698	38.7383015
<b>3.jpg</b>	56.5116279	0.48620199	54.8620199
<b>1.jpg</b>	51.1136364	0.02556421	50.2556421
<hr/>			
<b>ave</b>	50.8140617		
<hr/>			
33.jpg	11.7185169		
<hr/>			

標準化変量が-1~33に収まる個数

34.jpg	類似度	標準化變量	偏差值
8.jpg	53.9259259	0.04233448	50.4233448
9.jpg	53.14	-0.0379792	49.6202078
14.jpg	40.3809524	-1.341825	36.5817499
28.jpg	53.8421053	0.03376885	50.3376885
29.jpg	46.0606061	-0.7614218	42.3857823
15.jpg	49.3023256	-0.4301508	45.6984922
17.jpg	58.0196078	0.46066742	54.6066742
16.jpg	53.5555556	0.00448637	50.0448637
12.jpg	50.5869565	-0.2988745	47.0112553
13.jpg	52.21875	-0.1321217	48.6787834
39.jpg	56.3777778	0.29288897	52.9288897
11.jpg	44.6444444	-0.9061392	40.9386081
10.jpg	45.2439024	-0.8448806	41.5511937
38.jpg	73.15	2.00684068	70.0684068
21.jpg	48.675	-0.4942571	45.0574288
35.jpg	50.8648649	-0.270475	47.2952495
20.jpg	46.3255814	-0.734344	42.6565603
36.jpg	68.2	1.50100068	65.0100068
22.jpg	51.55	-0.2004612	47.9953884
23.jpg	45.2894737	-0.8402237	41.5977629
37.jpg	77.9344262	2.49576072	74.9576072
33.jpg	79.516129	2.65739477	76.5739477
27.jpg	50.0526316	-0.3534771	46.4652292
26.jpg	51.75	-0.1800232	48.1997682
32.jpg	59.4222222	0.60400044	56.0400044
18.jpg	58.9056604	0.55121304	55.5121304
24.jpg	49.5263158	-0.4072612	45.9273876
30.jpg	48.9090909	-0.4703354	45.2966461
31.jpg	46.0681818	-0.7606476	42.3935239
25.jpg	47.4186047	-0.622648	43.7735197
19.jpg	69.0961538	1.59257855	65.9257855

<b>4.jpg</b>	45.2173913	-0.8475898	41.524102
<b>5.jpg</b>	47.5208333	-0.6122013	43.8779871
<b>7.jpg</b>	44.9555556	-0.8743468	41.2565323
<b>41.jpg</b>	77.015625	2.40186851	74.0186851
<b>40.jpg</b>	46.3428571	-0.7325786	42.6742144
<b>6.jpg</b>	57.0727273	0.36390579	53.6390579
<b>2.jpg</b>	44.3611111	-0.935093	40.6490701
<b>3.jpg</b>	49.6458333	-0.3950478	46.0495224
<b>1.jpg</b>	48.3809524	-0.5243058	44.7569419
<hr/>			
<b>ave</b>	53.5116533		
<b>34.jpg</b>	9.78570291		
<hr/>			

標準化変量が-1~34に収まる個数

33

35.jpg	類似度	標準化変量	偏差値
8.jpg	45.7358491	0.19168739	51.9168739
9.jpg	47.4107143	0.51485748	55.1485748
14.jpg	31.8717949	-2.483422	25.1657802
28.jpg	48.9361702	0.80919862	58.0919862
29.jpg	37.1627907	-1.462509	35.3749097
15.jpg	43.2833333	-0.2815326	47.1846739
17.jpg	48.4893617	0.72298562	57.2298562
16.jpg	45.3703704	0.12116722	51.2116722
12.jpg	41.2580645	-0.6723141	43.2768591
13.jpg	38.25	-1.2527288	37.4727116
39.jpg	54.7017544	1.92168477	69.2168477
11.jpg	43.2083333	-0.2960041	47.0399592
10.jpg	39.7272727	-0.9676848	40.323152
38.jpg	54.3023256	1.84461382	68.4461382
21.jpg	43.6666667	-0.2075673	47.9243266
34.jpg	50.8648649	1.18134583	61.8134583
20.jpg	43.2040816	-0.2968245	47.0317554
36.jpg	53.4418605	1.67858459	66.7858459
22.jpg	51.8235294	1.36632293	63.6632293
23.jpg	40.06	-0.9034841	40.9651589
37.jpg	48.3902439	0.70386056	57.0386056
33.jpg	48.4	0.70574302	57.0574302
27.jpg	37.8695652	-1.3261348	36.7386516
26.jpg	39.7115385	-0.9707208	40.2927923
32.jpg	45.7843137	0.20103879	52.0103879
18.jpg	42.7272727	-0.3888261	46.1117388
24.jpg	44.2954545	-0.0862409	49.137591
30.jpg	43.5535714	-0.2293894	47.7061061
31.jpg	43.4339623	-0.2524683	47.4753167
25.jpg	41.1132075	-0.7002647	42.9973534
19.jpg	56.2666667	2.22363912	72.2363912

<b>4.jpg</b>	42.1527778	-0.4996766	45.0032342
<b>5.jpg</b>	45.5849057	0.16256243	51.6256243
<b>7.jpg</b>	41.3225806	-0.6598655	43.4013448
<b>41.jpg</b>	51.2244898	1.2507365	62.507365
<b>40.jpg</b>	45.6666667	0.17833845	51.7833845
<b>6.jpg</b>	44.3508772	-0.0755469	49.2445306
<b>2.jpg</b>	40.1320755	-0.8895769	41.1042306
<b>3.jpg</b>	41.9655172	-0.535809	44.6419096
<b>1.jpg</b>	42.9814815	-0.3397758	46.602242
<hr/>			
<b>ave</b>	44.7424077		
<hr/>			
35.jpg	5.1826121		
<hr/>			

標準化変量が-1~35に収まる個数

29

36.jpg	類似度	標準化變量	偏差值
8.jpg	55.1428571	0.31022906	53.1022906
9.jpg	55.755102	0.39933991	53.9933991
14.jpg	39.3125	-1.9938433	30.0615673
28.jpg	50	-0.4383021	45.6169795
29.jpg	46.3658537	-0.9672438	40.3275625
15.jpg	52.1538462	-0.1248147	48.7518534
17.jpg	59.6190476	0.96172836	59.6172836
16.jpg	47.6875	-0.7748811	42.2511885
12.jpg	53.5686275	0.08110352	50.8110352
13.jpg	51.0232558	-0.2893695	47.1063049
39.jpg	63.7297297	1.56002875	65.6002875
11.jpg	52.6444444	-0.0534092	49.465908
10.jpg	45.6097561	-1.077292	39.2270797
38.jpg	64.7560976	1.70941425	67.0941425
21.jpg	49	-0.5838498	44.1615023
35.jpg	53.4418605	0.06265288	50.6265288
34.jpg	68.2	2.21066638	72.1066638
20.jpg	51.0222222	-0.2895199	47.1048006
22.jpg	47.1590909	-0.8517899	41.4821012
23.jpg	45.2708333	-1.1266215	38.7337854
37.jpg	66.3333333	1.93897731	69.3897731
33.jpg	57.4423077	0.64490884	56.4490884
27.jpg	45.6875	-1.0659766	39.3402342
26.jpg	47.2368421	-0.8404734	41.5952663
32.jpg	47.2926829	-0.8323459	41.6765413
18.jpg	58.0816327	0.73796112	57.3796112
24.jpg	47.8684211	-0.7485485	42.514515
30.jpg	50.3863636	-0.3820677	46.1793229
31.jpg	48.4	-0.6711784	43.288216
25.jpg	48.0909091	-0.7161659	42.8383412
19.jpg	62.627451	1.3995946	63.995946

<b>4.jpg</b>	50.8444444	-0.3153951	46.8460491
<b>5.jpg</b>	56.7317073	0.54148257	55.4148257
<b>7.jpg</b>	49.3541667	-0.5323016	44.6769838
<b>41.jpg</b>	68.3333333	2.23007275	72.3007275
<b>40.jpg</b>	54.6	0.23121744	52.3121744
<b>6.jpg</b>	59.2608696	0.90959636	59.0959636
<b>2.jpg</b>	43.8888889	-1.3277603	36.7223968
<b>3.jpg</b>	53.1794872	0.02446504	50.2446504
<b>1.jpg</b>	53.3529412	0.04971088	50.4971088
<hr/>			
<b>ave</b>	53.0113977		
<hr/>			
36.jpg	6.87059904		

標準化変量が-1~36に収まる個数

29

37.jpg	類似度	標準化变量	偏差值
8.jpg	58.6229508	0.015569	50.15569
9.jpg	59.109375	0.07760858	50.7760858
14.jpg	50.2608696	-1.0509486	39.4905136
28.jpg	56.4444444	-0.2622823	47.3771766
29.jpg	59.3421053	0.10729149	51.0729149
15.jpg	46.64	-1.5127621	34.8723794
17.jpg	61.8333333	0.42502802	54.2502802
16.jpg	53.8	-0.5995604	44.0043959
12.jpg	59.3559322	0.10905501	51.0905501
13.jpg	61.1212121	0.33420256	53.3420256
39.jpg	63.6458333	0.65619813	56.5619813
11.jpg	52.6595745	-0.7450127	42.5498729
10.jpg	54.2888889	-0.5372065	44.6279351
38.jpg	77.4482759	2.41659103	74.1659103
21.jpg	54.8979592	-0.4595244	45.4047564
35.jpg	48.3902439	-1.2895322	37.1046778
34.jpg	77.9344262	2.47859568	74.7859568
20.jpg	52.1860465	-0.8054075	41.9459252
36.jpg	66.3333333	0.9989676	59.989676
22.jpg	58.1836735	-0.0404574	49.5954263
23.jpg	52.2162162	-0.8015596	41.9844043
33.jpg	74.4561404	2.0349677	70.349677
27.jpg	55.8181818	-0.3421572	46.5784279
26.jpg	56.2222222	-0.290625	47.0937496
32.jpg	63.0454545	0.57962454	55.7962454
18.jpg	60.2105263	0.21805176	52.1805176
24.jpg	53.9736842	-0.5774084	44.2259164
30.jpg	55.8679245	-0.3358129	46.6418708
31.jpg	55.7857143	-0.3462982	46.5370181
25.jpg	53.3076923	-0.6623504	43.3764961
19.jpg	73.140625	1.86718407	68.6718407

<b>4.jpg</b>	56.5178571	-0.2529191	47.4708087
<b>5.jpg</b>	55.2280702	-0.4174213	45.825787
<b>7.jpg</b>	48.4166667	-1.2861622	37.1383779
<b>41.jpg</b>	75.9166667	2.22124633	72.2124633
<b>40.jpg</b>	54.8043478	-0.4714638	45.2853625
<b>6.jpg</b>	59.5409836	0.13265686	51.3265686
<b>2.jpg</b>	53.4285714	-0.6469332	43.5306679
<b>3.jpg</b>	48.5192308	-1.273081	37.2691904
<b>1.jpg</b>	61.12	0.33404797	53.3404797
<b>ave</b>	58.5008814		
<b>37.jpg</b>	7.84054656		

標準化変量が-1～37に収まる個数

30

38.jpg	類似度	標準化變量	偏差值
8.jpg	65.4468085	0.77976424	57.7976424
9.jpg	67.2	1.00375822	60.0375822
14.jpg	42.7692308	-2.1176037	28.8239628
28.jpg	59.2619048	-0.010441	49.8955895
29.jpg	48.902439	-1.3340032	36.6599677
15.jpg	55.0697674	-0.5460434	44.5395658
17.jpg	64.3555556	0.64034189	56.4034189
16.jpg	61.3333333	0.25421203	52.5421203
12.jpg	54.8627451	-0.5724933	44.2750667
13.jpg	57.4736842	-0.2389105	47.6108953
39.jpg	66.1851852	0.87410187	58.7410187
11.jpg	58.42	-0.1180058	48.819942
10.jpg	56.2972973	-0.3892098	46.1079016
21.jpg	55.3404255	-0.5114632	44.8853682
35.jpg	54.3023256	-0.6440945	43.5590548
34.jpg	73.15	1.76395138	67.6395138
20.jpg	54.7647059	-0.5850192	44.1498083
36.jpg	64.7560976	0.69151656	56.9151656
22.jpg	57.6595745	-0.2151605	47.8483953
23.jpg	48.4634146	-1.3900945	36.0990546
37.jpg	77.4482759	2.31311438	73.1311438
33.jpg	72.8225806	1.72211912	67.2211912
27.jpg	51.775	-0.9669946	40.3300538
26.jpg	48.475	-1.3886144	36.1138565
32.jpg	56.1521739	-0.4077513	45.9224868
18.jpg	63.9130435	0.58380497	55.8380497
24.jpg	51.7222222	-0.9737377	40.262623
30.jpg	55.3095238	-0.5154113	44.8458871
31.jpg	56.2682927	-0.3929156	46.0708443
25.jpg	51.6585366	-0.9818744	40.181256
19.jpg	71.4285714	1.54401554	65.4401554

<b>4.jpg</b>	61.2777778	0.24711405	52.4711405
<b>5.jpg</b>	59.826087	0.06164087	50.6164087
<b>7.jpg</b>	58.3541667	-0.1264169	48.735831
<b>41.jpg</b>	72.9375	1.73680162	67.3680162
<b>40.jpg</b>	56.1521739	-0.4077513	45.9224868
<b>6.jpg</b>	70.3272727	1.4033097	64.033097
<b>2.jpg</b>	49.2702703	-1.2870078	37.129922
<b>3.jpg</b>	62.24	0.37005099	53.7005099
<b>1.jpg</b>	60.372093	0.13140055	51.3140055
<hr/>			
<b>ave</b>	59.3436264		
<hr/>			
38.jpg	7.82695814		
<hr/>			

標準化変量が-1~38に収まる個数

28

39.jpg	類似度	標準化变量	偏差值
8.jpg	57.546875	0.70265047	57.0265047
9.jpg	54.7971014	0.1989015	51.989015
14.jpg	46.8695652	-1.2533956	37.4660439
28.jpg	54.5405405	0.15190043	51.5190043
29.jpg	51.75	-0.3593169	46.406831
15.jpg	51.5581395	-0.3944651	46.0553493
17.jpg	57.7878788	0.74680153	57.4680153
16.jpg	50.4285714	-0.601398	43.9860197
12.jpg	53.7647059	0.00977022	50.0977022
13.jpg	50.5151515	-0.5855369	44.1446314
11.jpg	51.1052632	-0.4774305	45.2256955
10.jpg	48.0869565	-1.0303737	39.6962625
38.jpg	66.1851852	2.2851589	72.851589
21.jpg	49.4583333	-0.7791423	42.2085772
35.jpg	54.7017544	0.18143425	51.8143425
34.jpg	56.3777778	0.48847592	54.8847592
20.jpg	51.6956522	-0.3692732	46.3072677
36.jpg	63.7297297	1.83532798	68.3532798
22.jpg	55.5957447	0.34521017	53.4521017
23.jpg	46.6666667	-1.2905659	37.0943408
37.jpg	63.6458333	1.81995846	68.1995846
33.jpg	64.4705882	1.97105069	69.7105069
27.jpg	51.5769231	-0.391024	46.0897601
26.jpg	50.4761905	-0.5926744	44.0732562
32.jpg	56.6034483	0.52981797	55.2981797
18.jpg	57.0153846	0.60528328	56.0528328
24.jpg	52.4888889	-0.223955	47.7604498
30.jpg	50.52	-0.5846486	44.1535137
31.jpg	51.3409091	-0.4342609	45.6573906
25.jpg	49.7826087	-0.7197362	42.8026384
19.jpg	63.8333333	1.8543078	68.543078

<b>4.jpg</b>	50.4666667	-0.5944191	44.0558089
<b>5.jpg</b>	50.5	-0.5883126	44.1168744
<b>7.jpg</b>	46.9259259	-1.2430705	37.5692948
<b>41.jpg</b>	66.8163265	2.4007818	74.007818
<b>40.jpg</b>	48.5434783	-0.9467405	40.5325945
<b>6.jpg</b>	50.6615385	-0.5587193	44.4128072
<b>2.jpg</b>	49.4102564	-0.7879498	42.120502
<b>3.jpg</b>	49.2372881	-0.819637	41.8036301
<b>1.jpg</b>	50.9777778	-0.5007853	44.9921467
<hr/>			
<b>ave</b>	53.711374		
<b>39.jpg</b>	5.45861875		
<hr/>			

標準化変量が-1~39に収まる個数

30

40.jpg	類似度	標準化變量	偏差值
8.jpg	49.509434	0.71410791	57.1410791
9.jpg	47.9791667	0.44158548	54.4158548
14.jpg	31.5517241	-2.4839469	25.1605305
28.jpg	39.902439	-0.9967838	40.032162
29.jpg	42.9361702	-0.4565123	45.434877
15.jpg	42.4347826	-0.5458035	44.5419652
17.jpg	57.46	2.13000931	71.3000931
16.jpg	46.1489362	0.11564316	51.1564316
12.jpg	49.4583333	0.7050075	57.050075
13.jpg	38.5833333	-1.2317009	37.6829914
39.jpg	48.5434783	0.54208267	55.4208267
11.jpg	41	-0.8013212	41.9867878
10.jpg	42.4186047	-0.5486846	44.5131542
38.jpg	56.1521739	1.89710101	68.9710101
21.jpg	45.0204082	-0.0853343	49.1466573
35.jpg	45.6666667	0.02975669	50.2975669
34.jpg	46.3428571	0.15017819	51.5017819
20.jpg	40.0350877	-0.9731606	40.2683936
36.jpg	54.6	1.62067727	66.2067727
22.jpg	45.4897959	-0.0017419	49.9825811
23.jpg	37.826087	-1.3665574	36.3344256
37.jpg	54.8043478	1.65706919	66.5706919
33.jpg	42.9285714	-0.4578656	45.4213445
27.jpg	39.2	-1.1218798	38.7812015
26.jpg	41	-0.8013212	41.9867878
32.jpg	45.1875	-0.0555772	49.444228
18.jpg	53.26	1.38203918	63.8203918
24.jpg	42.4146341	-0.5493917	44.5060832
30.jpg	38.5416667	-1.2391212	37.608788
31.jpg	42.7173913	-0.4954742	45.0452577
25.jpg	44.0638298	-0.2556895	47.4431048

<b>19.jpg</b>	51.3469388	1.0413457	60.413457
<b>4.jpg</b>	45.2363636	-0.0468752	49.5312483
<b>5.jpg</b>	49	0.62338377	56.2338377
<b>7.jpg</b>	46.2777778	0.13858832	51.3858832
<b>41.jpg</b>	56.6808511	1.99125213	69.9125213
<b>6.jpg</b>	46.3333333	0.14848211	51.4848211
<b>2.jpg</b>	42.4651163	-0.5404014	44.5959859
<b>3.jpg</b>	44.1111111	-0.2472693	47.5273072
<b>1.jpg</b>	45.3541667	-0.0258958	49.7410415
<hr/> <b>ave</b>	<hr/> 45.499577		
<b>40.jpg</b>	5.61519755		

標準化変量が-1~40に収まる個数

41.jpg	類似度	標準化變量	偏差值
8.jpg	61.8367347	0.13595647	51.3595647
9.jpg	63.2166667	0.34610114	53.4610114
14.jpg	49.173913	-1.7924173	32.0758274
28.jpg	63.9761905	0.46176618	54.6176618
29.jpg	59.6451613	-0.19779	48.0220995
15.jpg	56.4318182	-0.687138	43.1286196
17.jpg	64.2678571	0.50618301	55.0618301
16.jpg	56.3571429	-0.6985101	43.0148993
12.jpg	55.84	-0.7772638	42.2273618
13.jpg	58.8	-0.3264965	46.735035
39.jpg	66.8163265	0.89427987	58.9427987
11.jpg	58.3333333	-0.3975634	46.0243658
10.jpg	60.5365854	-0.0620384	49.3796159
38.jpg	72.9375	1.82645048	68.2645048
21.jpg	58.8478261	-0.3192132	46.8078676
35.jpg	51.2244898	-1.4801426	35.198574
34.jpg	77.015625	2.44749287	74.4749287
20.jpg	59	-0.2960392	47.0396076
36.jpg	68.3333333	1.12529916	61.2529916
22.jpg	62.0392157	0.16679154	51.6679154
23.jpg	51.125	-1.4952935	35.0470648
37.jpg	75.9166667	2.28013662	72.8013662
33.jpg	71.3409091	1.58331162	65.8331162
27.jpg	53.3142857	-1.1618954	38.381046
26.jpg	55.0882353	-0.8917473	41.0825275
32.jpg	63.375	0.37021313	53.7021313
18.jpg	67.88	1.05626273	60.5626273
24.jpg	61.9473684	0.15280446	51.5280446
30.jpg	57.7804878	-0.4817542	45.1824581
31.jpg	60.5365854	-0.0620384	49.3796159
25.jpg	51.5714286	-1.4273086	35.7269141

<b>19.jpg</b>	72.442623	1.7510875	67.510875
<b>4.jpg</b>	56.8076923	-0.6298976	43.7010242
<b>5.jpg</b>	60.244898	-0.1064584	48.9354161
<b>7.jpg</b>	55.64	-0.8077211	41.9227893
<b>40.jpg</b>	56.6808511	-0.6492138	43.5078624
<b>6.jpg</b>	63.3571429	0.36749374	53.6749374
<b>2.jpg</b>	59.7297297	-0.1849114	48.1508857
<b>3.jpg</b>	59.6	-0.2046675	47.9533251
<b>1.jpg</b>	58.75	-0.3341108	46.6588919
<hr/>			
<b>ave</b>	60.9439656		
<b>41.jpg</b>	6.56658069		

標準化変量が-1~41に収まる個数

28

保存状態が良い個体のみを対象とした解析結果：二重線の上のファイル名（○.jpg）が対象個体。

対象個体とその他の個体の結果並示される

<b>1.jpg</b>	類似度	標準化変量	<b>3.jpg</b>	類似度	標準化変量
<b>8.jpg</b>	43.8301887	0.17886819	<b>8.jpg</b>	45.32	1.48693311
<b>9.jpg</b>	46	0.88663368	<b>9.jpg</b>	43.5342466	0.74480267
<b>15.jpg</b>	40.8653846	-0.788214	<b>15.jpg</b>	40.9714286	-0.3202633
<b>17.jpg</b>	50.3333333	2.30011315	<b>17.jpg</b>	45.4810127	1.55384739
<b>16.jpg</b>	42.5192308	-0.24875	<b>16.jpg</b>	42.8870968	0.47585761
<b>12.jpg</b>	49.1612903	1.91780729	<b>12.jpg</b>	41.8474576	0.04380028
<b>11.jpg</b>	41.6415094	-0.5350518	<b>11.jpg</b>	40.5636364	-0.4897352
<b>10.jpg</b>	40.0943396	-1.0397193	<b>10.jpg</b>	40.7222222	-0.4238295
<b>27.jpg</b>	38.88	-1.4358218	<b>27.jpg</b>	37.8	-1.6382581
<b>26.jpg</b>	40.8	-0.8095417	<b>26.jpg</b>	40.7291667	-0.4209435
<b>18.jpg</b>	44.8367347	0.50719099	<b>18.jpg</b>	44.164557	1.00674955
<b>30.jpg</b>	41.3548387	-0.6285602	<b>30.jpg</b>	42.3387097	0.24795674
<b>31.jpg</b>	42.4827586	-0.2606467	<b>31.jpg</b>	39	-1.1395574
<b>4.jpg</b>	41.2923077	-0.648957	<b>4.jpg</b>	41.5428571	-0.0827868
<b>5.jpg</b>	44.3518519	0.34902823	<b>5.jpg</b>	38.0506329	-1.5340991
<b>7.jpg</b>	39.8983051	-1.1036634	<b>7.jpg</b>	38.6794872	-1.2727573
<b>6.jpg</b>	44.9272727	0.53672337	<b>6.jpg</b>	41.9210526	0.07438518
<b>3.jpg</b>	45.8035714	0.82256112	<b>1.jpg</b>	45.8035714	1.68789763
1.jpg			3.jpg		
	43.2818288		1	41.7420631	1
	3.06572074			2.40625277	

標準化変量が-1~1に収まる個数

13 標準化変量が-1~2に収まる個数

10

4.jpg	類似度	標準化変量	5.jpg	類似度	標準化変量
8.jpg	47.0533333	1.46622928	8.jpg	46.2535211	1.54880162
9.jpg	45.3731343	0.86619439	9.jpg	42.8028169	0.06065228
15.jpg	42.5806452	-0.131063	15.jpg	40.6451613	-0.8698574
17.jpg	50.3918919	2.65849973	17.jpg	44.2985075	0.7056832
16.jpg	43.1076923	0.05715674	16.jpg	42.5079365	-0.0665177
12.jpg	41.2769231	-0.59665	12.jpg	42.4545455	-0.0895431
11.jpg	42.1176471	-0.2964095	11.jpg	43.0740741	0.17763454
10.jpg	38.2580645	-1.6747488	10.jpg	41.0344828	-0.7019588
27.jpg	42.0689655	-0.3137947	27.jpg	42.46	-0.0871908
26.jpg	41.6909091	-0.4488068	26.jpg	42.4705882	-0.0826245
18.jpg	46.6811594	1.33331804	18.jpg	47.4246575	2.05386545
30.jpg	41.15625	-0.6397449	30.jpg	41.6349206	-0.4430142
31.jpg	44.0483871	0.3930989	31.jpg	44.3653846	0.73452461
5.jpg	43.3289474	0.13617164	4.jpg	43.3289474	0.2875511
7.jpg	40.8795181	-0.7385718	7.jpg	37.8765432	-2.0638506
6.jpg	40.2089552	-0.9780441	6.jpg	42.8846154	0.09592866
3.jpg	41.5428571	-0.5016793	3.jpg	38.0506329	-1.9887727
1.jpg	41.2923077	-0.5911558	1.jpg	44.3518519	0.72868848

4.jpg	5.jpg		
42.9476438	1	42.6621771	1
2.80016883		2.31878893	

標準化変量が-1~3に収まる個数

14 標準化変量が-1~4に収まる個数

14

<b>6.jpg</b>	類似度	標準化変量	<b>7.jpg</b>	類似度	標準化変量
<b>8.jpg</b>	45.6197183	0.49523351	<b>8.jpg</b>	41.3692308	0.02102663
<b>9.jpg</b>	45.5454545	0.467885	<b>9.jpg</b>	45.4583333	1.38420022
<b>15.jpg</b>	40.6153846	-1.3476717	<b>15.jpg</b>	39.015873	-0.7635062
<b>17.jpg</b>	45.8488372	0.57960926	<b>17.jpg</b>	48.2368421	2.31046454
<b>16.jpg</b>	47.5606061	1.20998842	<b>16.jpg</b>	40.2531646	-0.3510335
<b>12.jpg</b>	46.0833333	0.66596524	<b>12.jpg</b>	41.9473684	0.21375889
<b>11.jpg</b>	45.1538462	0.32367057	<b>11.jpg</b>	39.4754098	-0.6103116
<b>10.jpg</b>	39.6037736	-1.7202094	<b>10.jpg</b>	38.7884615	-0.8393178
<b>27.jpg</b>	42.7234043	-0.5713685	<b>27.jpg</b>	41.2153846	-0.0302607
<b>26.jpg</b>	42.6808511	-0.5870392	<b>26.jpg</b>	36.3125	-1.6647227
<b>18.jpg</b>	50.3820225	2.24900844	<b>18.jpg</b>	46.5352113	1.74319625
<b>30.jpg</b>	44.2131148	-0.0227649	<b>30.jpg</b>	41.2985075	-0.0025502
<b>31.jpg</b>	47.3793103	1.14322413	<b>31.jpg</b>	42.6734694	0.4558173
<b>4.jpg</b>	40.2089552	-1.4973441	<b>4.jpg</b>	40.8795181	-0.1422276
<b>5.jpg</b>	42.8846154	-0.5120005	<b>5.jpg</b>	37.8765432	-1.1433216
<b>7.jpg</b>	43.5972222	-0.2495746	<b>6.jpg</b>	43.5972222	0.7637664
<b>3.jpg</b>	41.9210526	-0.8668439	<b>3.jpg</b>	38.6794872	-0.8756463
<b>1.jpg</b>	44.9272727	0.24023222	<b>1.jpg</b>	39.8983051	-0.4693321

6.jpg	7.jpg		
44.2749319	1	41.3061573	1
2.71545914		2.9996932	

標準化変量が-1~5に収まる個数

12 標準化変量が-1~6に収まる個数

13

<b>8.jpg</b>	類似度	標準化変量	<b>9.jpg</b>	類似度	標準化変量
<b>9.jpg</b>	49.9736842	1.53321503	<b>8.jpg</b>	49.9736842	1.05839629
<b>15.jpg</b>	45.3636364	-0.0398515	<b>15.jpg</b>	43.1296296	-1.1967131
<b>17.jpg</b>	51.2133333	1.95621509	<b>17.jpg</b>	53.4	2.18736406
<b>16.jpg</b>	44.1911765	-0.4399248	<b>16.jpg</b>	50.8448276	1.3454372
<b>12.jpg</b>	43.4923077	-0.6783968	<b>12.jpg</b>	50.05	1.08354227
<b>11.jpg</b>	48.084507	0.88857935	<b>11.jpg</b>	47.9107143	0.37864967
<b>10.jpg</b>	39.75	-1.9553681	<b>10.jpg</b>	44.4444444	-0.7634829
<b>27.jpg</b>	45.1818182	-0.1018925	<b>27.jpg</b>	44.7924528	-0.6488145
<b>26.jpg</b>	42.5925926	-0.9854026	<b>26.jpg</b>	48.1458333	0.45612118
<b>18.jpg</b>	50.2631579	1.63199087	<b>18.jpg</b>	50.5753425	1.25664211
<b>30.jpg</b>	44.0454545	-0.4896489	<b>30.jpg</b>	43.3269231	-1.1317051
<b>31.jpg</b>	45.05	-0.1468722	<b>31.jpg</b>	46.4	-0.1191292
<b>4.jpg</b>	47.0533333	0.53671644	<b>4.jpg</b>	45.3731343	-0.4574805
<b>5.jpg</b>	46.2535211	0.26380002	<b>5.jpg</b>	42.8028169	-1.3043976
<b>7.jpg</b>	41.3692308	-1.4028451	<b>7.jpg</b>	45.4583333	-0.4294075
<b>6.jpg</b>	45.6197183	0.04753025	<b>6.jpg</b>	45.5454545	-0.4007011
<b>3.jpg</b>	45.32	-0.0547413	<b>3.jpg</b>	43.5342466	-1.0633922
<b>1.jpg</b>	43.8301887	-0.5631031	<b>1.jpg</b>	46	-0.2509289

8.jpg	9.jpg
45.4804256	1
2.93061217	46.7615465 3.03491019

標準化変量が-1~7に収まる個数

13 標準化変量が-1~8に収まる個数

9

<b>10.jpg</b>	類似度	標準化変量	<b>11.jpg</b>	類似度	標準化変量
<b>8.jpg</b>	39.75	-0.0713216	<b>8.jpg</b>	48.084507	1.51605954
<b>9.jpg</b>	44.4444444	1.6027255	<b>9.jpg</b>	47.9107143	1.47157122
<b>15.jpg</b>	43.4210526	1.2377822	<b>15.jpg</b>	40.2807018	-0.4815967
<b>17.jpg</b>	46.06	2.17883542	<b>17.jpg</b>	50.7708333	2.20371847
<b>16.jpg</b>	39.8888889	-0.0217935	<b>16.jpg</b>	37.3684211	-1.2270965
<b>12.jpg</b>	40.4313725	0.17165708	<b>12.jpg</b>	42.7454545	0.14934278
<b>11.jpg</b>	36.6666667	-1.1708436	<b>10.jpg</b>	36.6666667	-1.4067351
<b>27.jpg</b>	38.1090909	-0.6564726	<b>27.jpg</b>	37.3461538	-1.2327966
<b>26.jpg</b>	36.0434783	-1.3930737	<b>26.jpg</b>	39.4807692	-0.6863673
<b>18.jpg</b>	42.8809524	1.04518151	<b>18.jpg</b>	44.9245283	0.70715273
<b>30.jpg</b>	37.6896552	-0.8060441	<b>30.jpg</b>	38.1044776	-1.0386772
<b>31.jpg</b>	35.2131148	-1.6891827	<b>31.jpg</b>	43.2075472	0.26763151
<b>4.jpg</b>	38.2580645	-0.6033483	<b>4.jpg</b>	42.1176471	-0.0113665
<b>5.jpg</b>	41.0344828	0.38672723	<b>5.jpg</b>	43.0740741	0.23346441
<b>7.jpg</b>	38.7884615	-0.4142078	<b>7.jpg</b>	39.4754098	-0.6877393
<b>6.jpg</b>	39.6037736	-0.1234661	<b>6.jpg</b>	45.1538462	0.76585464
<b>3.jpg</b>	40.7222222	0.27537458	<b>3.jpg</b>	40.5636364	-0.4091697
<b>1.jpg</b>	40.0943396	0.05147055	<b>1.jpg</b>	41.6415094	-0.1332505

10.jpg	11.jpg		
39.9500034	1	42.1620499	1
2.8042488		3.9064806	

標準化変量が-1~9に収まる個数

11 標準化変量が-1~10に収まる個数

11

12.jpg	類似度	標準化変量	15.jpg	類似度	標準化変量
8.jpg	43.4923077	-0.0764269	8.jpg	45.3636364	1.74991174
9.jpg	50.05	1.81414566	9.jpg	43.1296296	0.77281736
15.jpg	41.0588235	-0.7779966	17.jpg	46.2321429	2.1297731
17.jpg	51.3278689	2.18255326	16.jpg	42.0535714	0.30217848
16.jpg	39.3103448	-1.2820803	12.jpg	41.0588235	-0.1328975
11.jpg	42.7454545	-0.2917435	11.jpg	40.2807018	-0.473227
10.jpg	40.4313725	-0.9588897	10.jpg	43.4210526	0.90027793
27.jpg	41.44	-0.668104	27.jpg	38.1785714	-1.3926422
26.jpg	39.8431373	-1.128477	26.jpg	37.5111111	-1.6845713
18.jpg	46.7457627	0.86153918	18.jpg	43.212766	0.80917895
30.jpg	43.4927536	-0.0762983	30.jpg	40.8923077	-0.205727
31.jpg	44.9245283	0.33648012	31.jpg	38.5	-1.252058
4.jpg	41.2769231	-0.7151188	4.jpg	42.5806452	0.53270634
5.jpg	42.4545455	-0.3756121	5.jpg	40.6451613	-0.3138222
7.jpg	41.9473684	-0.5218304	7.jpg	39.015873	-1.026429
6.jpg	46.0833333	0.67056181	6.jpg	40.6153846	-0.3268457
3.jpg	41.8474576	-0.5506346	3.jpg	40.9714286	-0.1711217
1.jpg	49.1612903	1.55793204	1.jpg	40.8653846	-0.2175024
12.jpg			15.jpg		
	43.757404		1	41.3626773	1
	3.46862776			2.28637762	

標準化変量が-1~11に収まる個数

13 標準化変量が-1~12に収まる個数

12

<b>16.jpg</b>	類似度	標準化変量	<b>17.jpg</b>	類似度	標準化変量
<b>8.jpg</b>	44.1911765	0.29675562	<b>8.jpg</b>	51.2133333	0.87252128
<b>9.jpg</b>	50.8448276	1.75705046	<b>9.jpg</b>	53.4	1.62993601
<b>15.jpg</b>	42.0535714	-0.1723903	<b>15.jpg</b>	46.2321429	-0.8528569
<b>17.jpg</b>	53.6774194	2.37872704	<b>16.jpg</b>	53.6774194	1.72602816
<b>12.jpg</b>	39.3103448	-0.7744537	<b>12.jpg</b>	51.3278689	0.91219395
<b>11.jpg</b>	37.3684211	-1.200653	<b>11.jpg</b>	50.7708333	0.71924872
<b>10.jpg</b>	39.8888889	-0.6474791	<b>10.jpg</b>	46.06	-0.9124835
<b>27.jpg</b>	38.9152542	-0.8611653	<b>27.jpg</b>	48.1904762	-0.174532
<b>26.jpg</b>	36.9803922	-1.2858147	<b>26.jpg</b>	43.95	-1.6433426
<b>18.jpg</b>	49.047619	1.36261223	<b>18.jpg</b>	47.9805825	-0.2472347
<b>30.jpg</b>	41.557377	-0.2812915	<b>30.jpg</b>	51	0.79862717
<b>31.jpg</b>	38.4318182	-0.9672663	<b>31.jpg</b>	48.1052632	-0.204048
<b>4.jpg</b>	43.1076923	0.05896042	<b>4.jpg</b>	50.3918919	0.58799148
<b>5.jpg</b>	42.5079365	-0.0726696	<b>5.jpg</b>	44.2985075	-1.522627
<b>7.jpg</b>	40.2531646	-0.5675305	<b>7.jpg</b>	48.2368421	-0.1584718
<b>6.jpg</b>	47.5606061	1.03625346	<b>6.jpg</b>	45.8488372	-0.9856258
<b>3.jpg</b>	42.8870968	0.01054572	<b>3.jpg</b>	45.4810127	-1.1130324
<b>1.jpg</b>	42.5192308	-0.0701908	<b>1.jpg</b>	50.3333333	0.56770804
16.jpg			17.jpg		
	42.8390465		1	48.6943525	1
	4.55637517			2.88701367	

標準化変量が-1~13に収まる個数

12 標準化変量が-1~14に収まる個数

13

18.jpg	類似度	標準化変量	26.jpg	類似度	標準化変量
8.jpg	50.2631579	1.33954778	8.jpg	42.5925926	0.62424303
9.jpg	50.5753425	1.45909116	9.jpg	48.1458333	2.48499585
15.jpg	43.212766	-1.3602259	15.jpg	37.5111111	-1.078435
17.jpg	47.9805825	0.46549183	17.jpg	43.95	1.07907648
16.jpg	49.047619	0.87408715	16.jpg	36.9803922	-1.2562657
12.jpg	46.7457627	-0.007352	12.jpg	39.8431373	-0.2970311
11.jpg	44.9245283	-0.7047488	11.jpg	39.4807692	-0.4184516
10.jpg	42.8809524	-1.4872858	10.jpg	36.0434783	-1.5702023
27.jpg	43.35	-1.3076755	27.jpg	38.7192982	-0.6736016
26.jpg	44.075	-1.0300547	18.jpg	44.075	1.12096087
30.jpg	48.3559322	0.60922273	30.jpg	40.25	-0.1607015
31.jpg	50.3333333	1.36641973	31.jpg	40.8571429	0.042737
4.jpg	46.6811594	-0.0320902	4.jpg	41.6909091	0.32211132
5.jpg	47.4246575	0.25261407	5.jpg	42.4705882	0.5833624
7.jpg	46.5352113	-0.0879774	7.jpg	36.3125	-1.4800598
6.jpg	50.3820225	1.38506403	6.jpg	42.6808511	0.65381625
3.jpg	44.164557	-0.995761	3.jpg	40.7291667	-0.0001446
1.jpg	44.8367347	-0.7383672	1.jpg	40.8	0.02358985

18.jpg	26.jpg
46.7649622	1
2.61147514	2.98440538

標準化変量が-1~15に収まる個数

10 標準化変量が-1~16に収まる個数

11

27.jpg	類似度	標準化変量	30.jpg	類似度	標準化変量
8.jpg	45.1818182	1.40647675	8.jpg	44.0454545	0.52567442
9.jpg	44.7924528	1.28248483	9.jpg	43.3269231	0.31042975
15.jpg	38.1785714	-0.8236805	15.jpg	40.8923077	-0.4188883
17.jpg	48.1904762	2.36457244	17.jpg	51	2.60899145
16.jpg	38.9152542	-0.5890867	16.jpg	41.557377	-0.2196589
12.jpg	41.44	0.21490898	12.jpg	43.4927536	0.36010626
11.jpg	37.3461538	-1.0887608	11.jpg	38.1044776	-1.2540161
10.jpg	38.1090909	-0.8458063	10.jpg	37.6896552	-1.3782811
26.jpg	38.7192982	-0.6514881	27.jpg	36.9833333	-1.5898682
18.jpg	43.35	0.82314121	26.jpg	40.25	-0.6112993
30.jpg	36.9833333	-1.2042996	18.jpg	48.3559322	1.81692941
31.jpg	37.4181818	-1.0658237	31.jpg	43.537037	0.37337189
4.jpg	42.0689655	0.41520066	4.jpg	41.15625	-0.3398213
5.jpg	42.46	0.5397241	5.jpg	41.6349206	-0.1964298
7.jpg	41.2153846	0.14338107	7.jpg	41.2985075	-0.2972063
6.jpg	42.7234043	0.62360418	6.jpg	44.2131148	0.57589903
3.jpg	37.8	-0.9442352	3.jpg	42.3387097	0.01439864
1.jpg	38.88	-0.6003133	1.jpg	41.3548387	-0.2803316

27.jpg	30.jpg	
40.7651325	1	42.290644
3.14024791		3.33820794

標準化変量が-1~17に収まる個数

12 標準化変量が-1~18に収まる個数

13

31.jpg	類似度	標準化変量
8.jpg	45.05	0.55351274
9.jpg	46.4	0.89863513
15.jpg	38.5	-1.12097
17.jpg	48.1052632	1.33457921
16.jpg	38.4318182	-1.1384004
12.jpg	44.9245283	0.52143637
11.jpg	43.2075472	0.08249664
10.jpg	35.2131148	-1.9612498
27.jpg	37.4181818	-1.3975327
26.jpg	40.8571429	-0.5183753
18.jpg	50.3333333	1.90417692
30.jpg	43.537037	0.16672948
4.jpg	44.0483871	0.29745419
5.jpg	44.3653846	0.37849341
7.jpg	42.6734694	-0.0540383
6.jpg	47.3793103	1.14899212
3.jpg	39	-0.9931469
1.jpg	42.4827586	-0.1027928
31.jpg	42.8848487	
	3.91165577	

標準化変量が-1~19に収まる個数

11